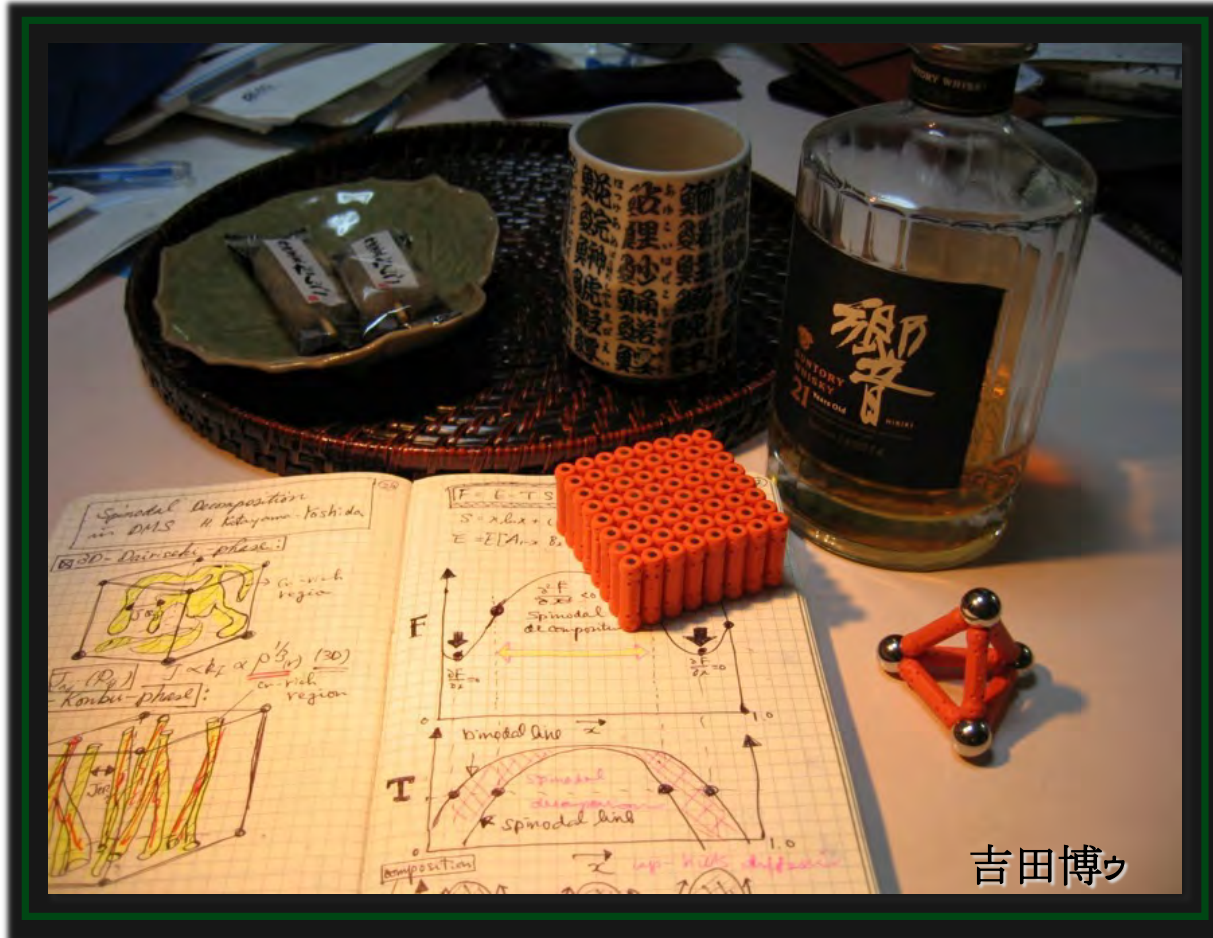
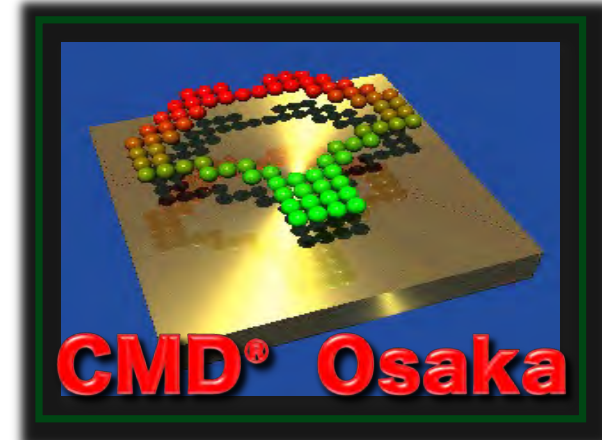


量子シミュレーションとデザイン

コース1【1A-1-B: ナノマテリアル・ナノデバイスデザイン学】



吉田博^ク



東京大学大学院工学系研究科
吉田 博

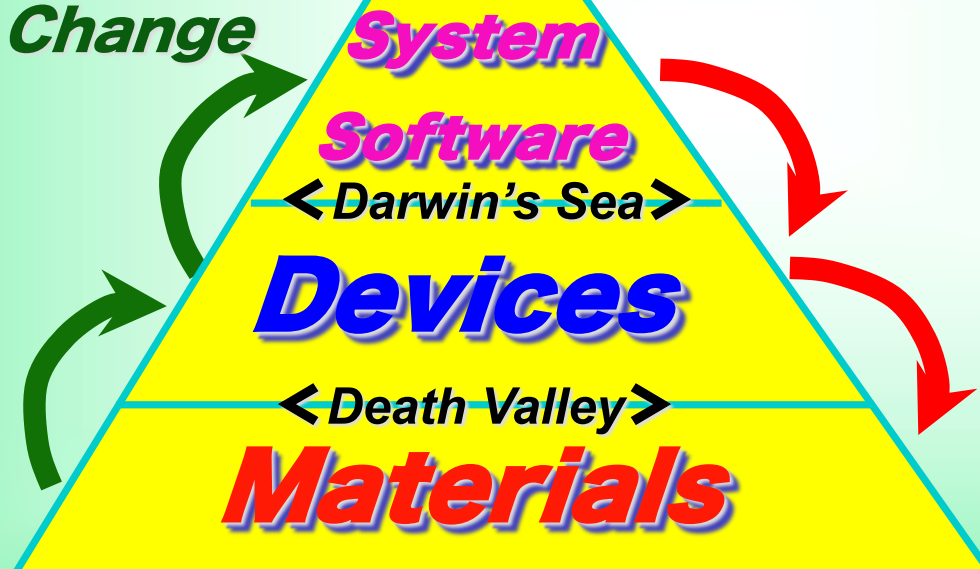
■Industrial-Structure Change

Industrial Society to Knowledge-based Society

Hierarchy of Industrial Structure

Progress

*Industrial
Structure
Change*

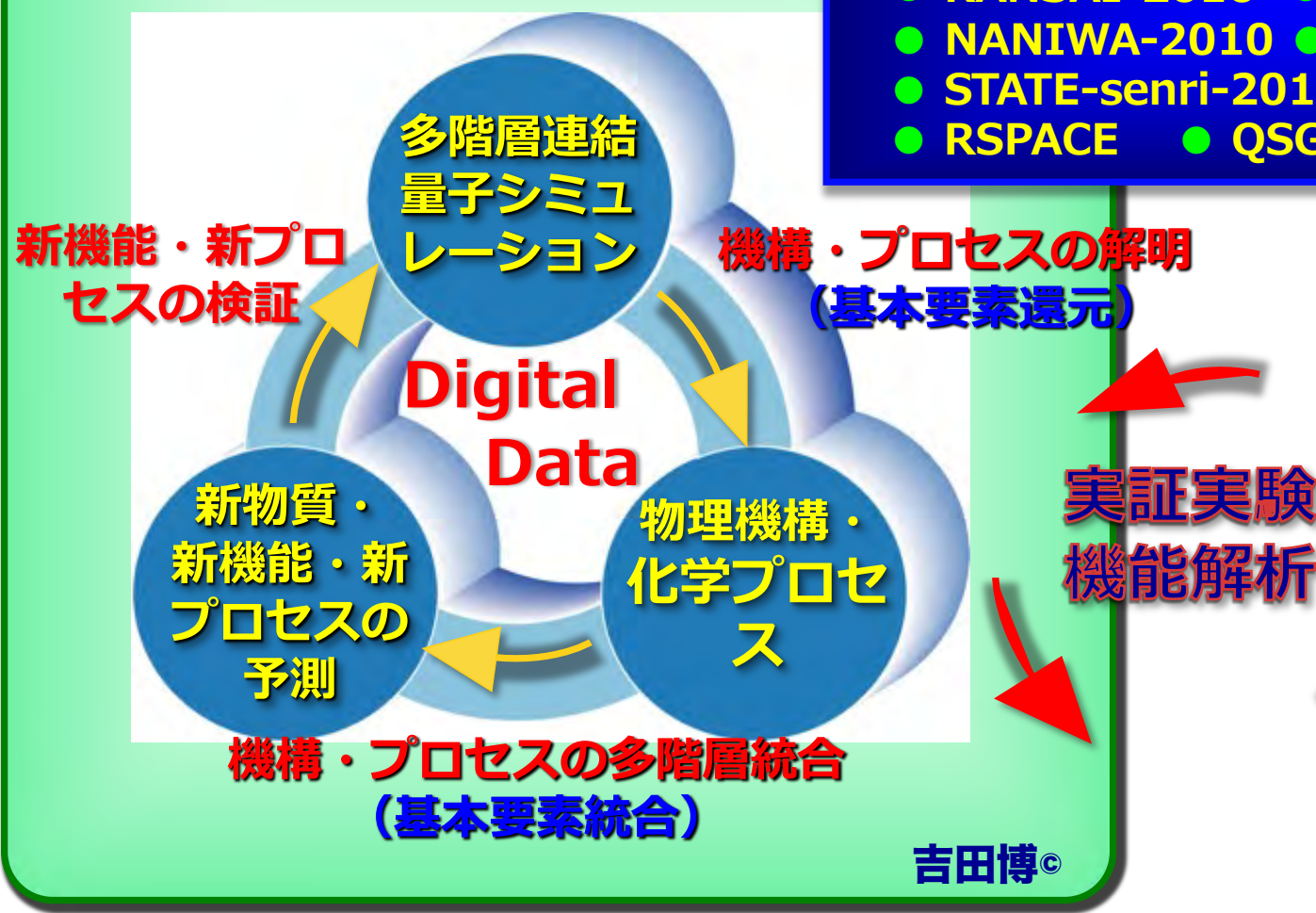


■ **Seamless Connection in the Hierarchy → Design-based Materials Fabrication**
'Originality' = 'Profitability'



吉田博©

ナノマテリアルデザイン エンジン (21世紀の賢者の石)



多階層連結シミュレーション・ソフト開発・
公開・登録・応用・普及活動・知財化

- OSAKA-2010 -nano
- MACHIKANEYAMA-2010
- KANSAI-2010 ● TSPACE ● ABCAP
- NANIWA-2010 ● HiLAPW-2010
- STATE-senri-2010 ● PSIC-Machi-2010
- RSPACE ● QSGW

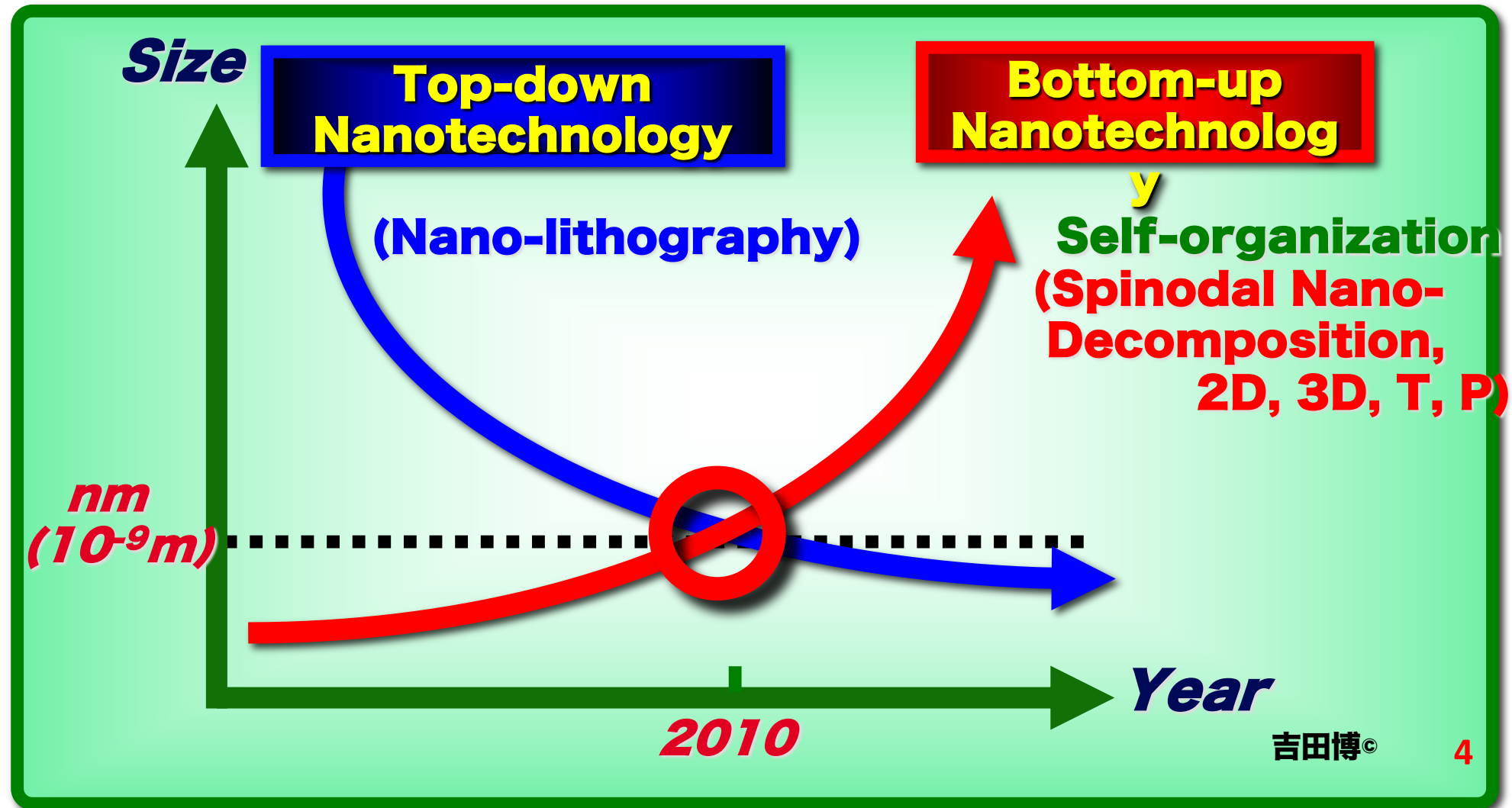
マテリアル
デバイス・システム
デザインの実証
と新機能解析



量子力学・量子化学に基づいた 21世紀の鍊金術

■ True Nanotechnology

*"There's Plenty of Room at the Bottom", R. P. Feynman
"Father of Nanotechnology", APS, 12/29/1959 at CALTECH*



■ Katayama-Yoshida et al., phys. stat solidi a, 204 (2007) 15.

■ Sato, Bergqvist et al., Rev. Mod. Phys. 82 (2010) 1633.

■ Dietl, Sato, Fukushima et al., Rev. Mod. Phys. 87, (2015) 1131.

吉田博[◎]

4

Part ①

半導体ナノスピントロニクス

■新しいクラスのボトムアップ

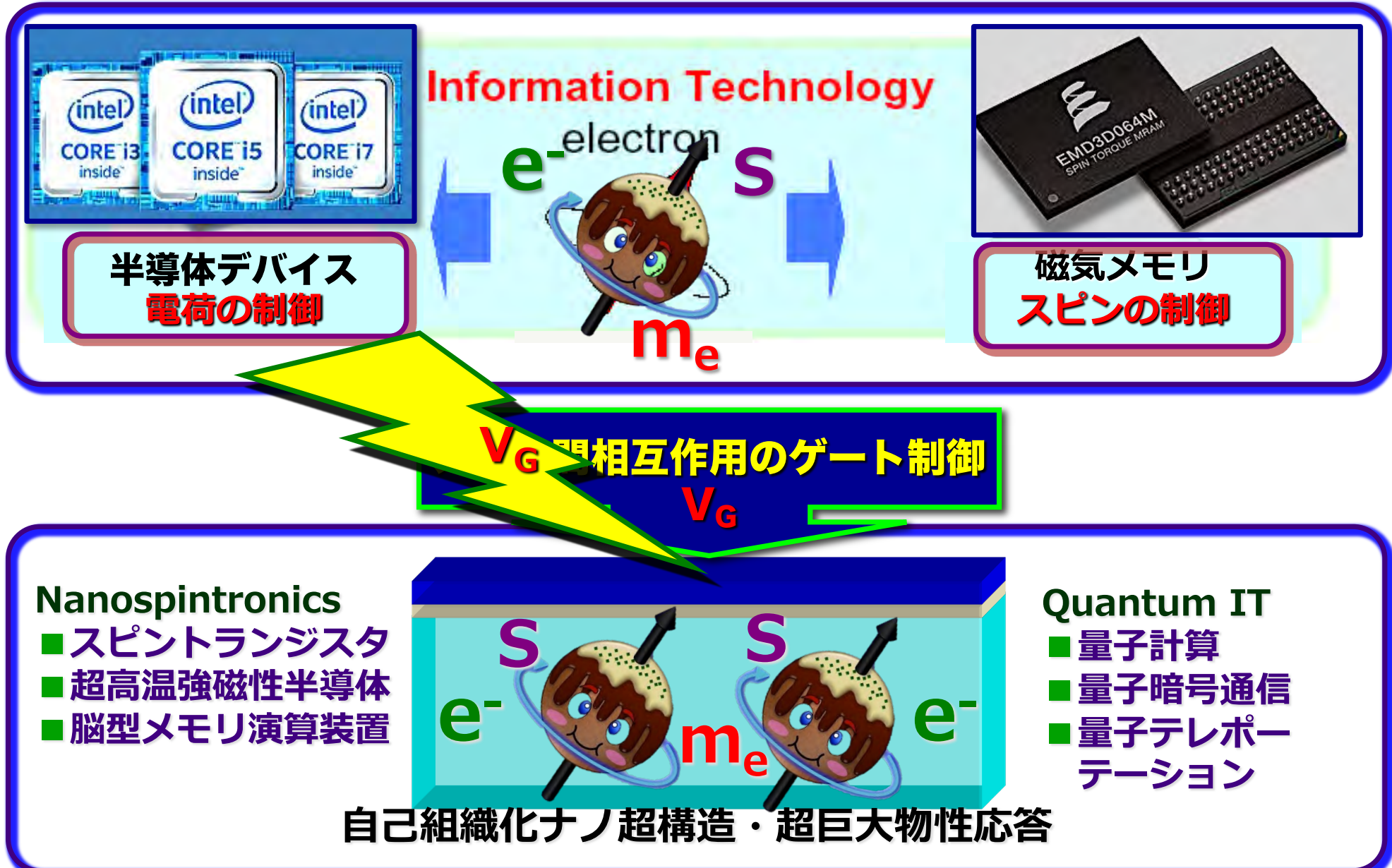
ナノテクノロジー

スピノーダル・

ナノテクノロジー



■半導体ナノスピントロニクス (超巨大物性応答のデザイン)



■高速 (THz)

■高密度 (Tbit/inch²)

■省エネルギー(不揮発性) 6

「スピントロニクス学術研究基盤と連携ネットワーク」拠点整備

【背景】 文部科学省「学術研究の大型プロジェクト一ロードマップ2014」に採択

【必要性】 世界をリードする日本のスピントロニクス研究の国際競争力強化
⇒イノベーションを通じ社会に貢献

スピントロニクス学術連携研究教育センター（中心拠点4大学）

大阪大学
スピントロニクス
材料デザイン・素子設計

九州大学
広島大学
京都大学
名古屋大学

北海道大学

JPARC
AIST
NIMS

東京工業大学
早稲田大学
理化学研究所

東北大学
スピントロニクス素子・
集積システム製造・評
価

慶應義塾大学
量子スピントロニクス
材料・素子製造・評価

東京大学
スピントロニクス
材料・素子製造・評価

【目的】

- ①連携機関との共同研究の促進
- ②異分野横断型科学技術の創造
- ③イノベーションの創出
- ④国際的若手人材の育成

【波及効果】

- ・情報通信技術の革新
- ・現産業の強化と新産業の創成
- ・省エネルギー・環境調和型社会の実現

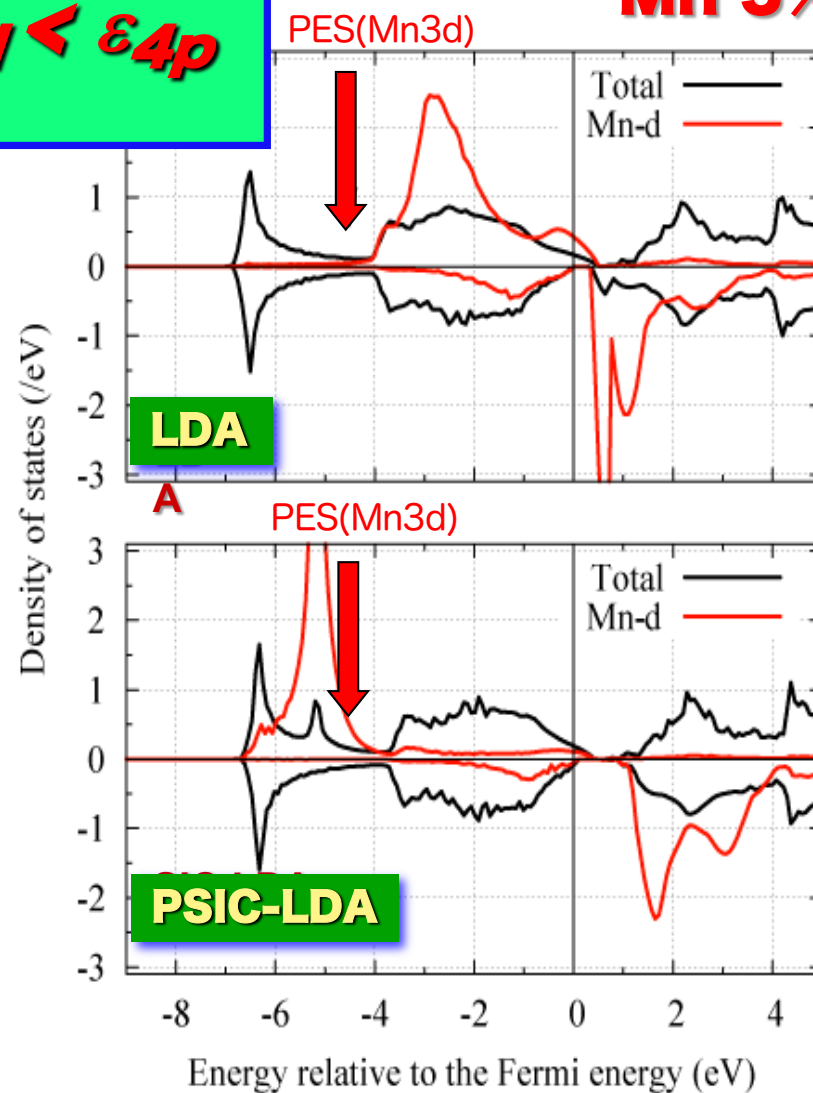
Ferromagnetic Mechanism, Electronic Structure and T_c in DMS



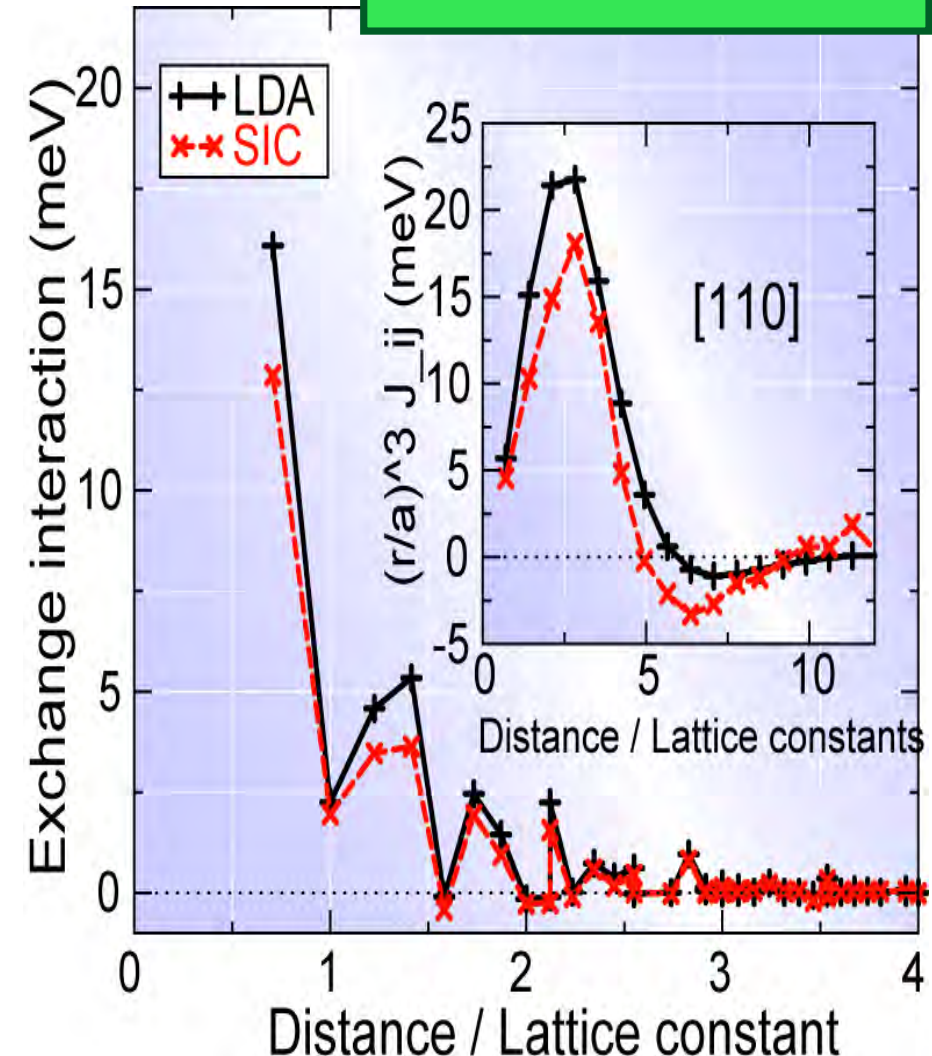
LDA vs. PSIC-LDA; (Ga,Mn)As

Zener's p-d exchange mechanism

$\epsilon_{3d} < \epsilon_{4p}$



$$\mathcal{H} = -\sum_{i \neq j} J_{ij} \mathbf{S}_i \cdot \mathbf{S}_j$$

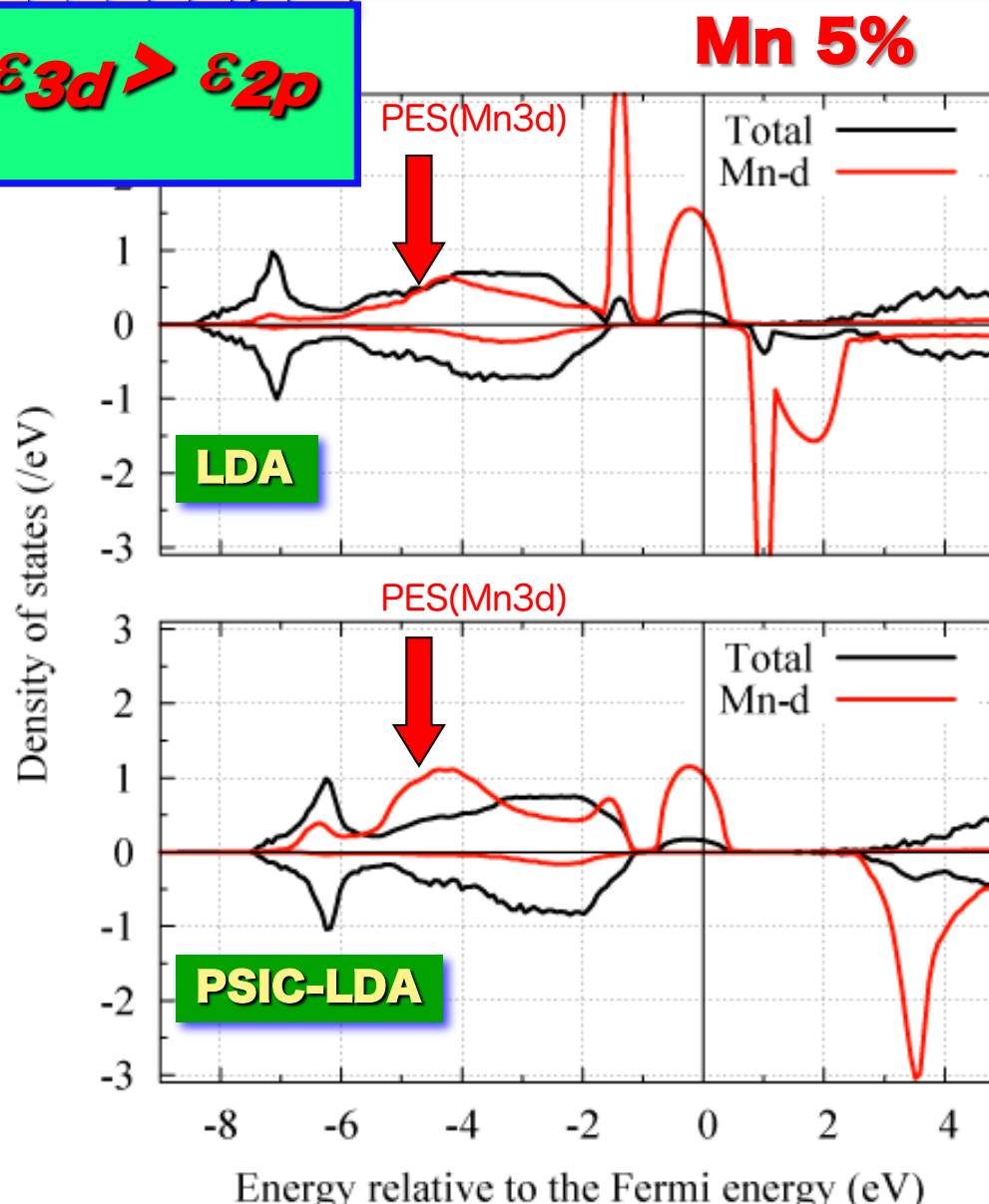


- M.Toyoda et al., Physica B, 376 (2006) 647.
- K. Sato et al., Rev. Mod. Phys. 82 (2010) 1633.

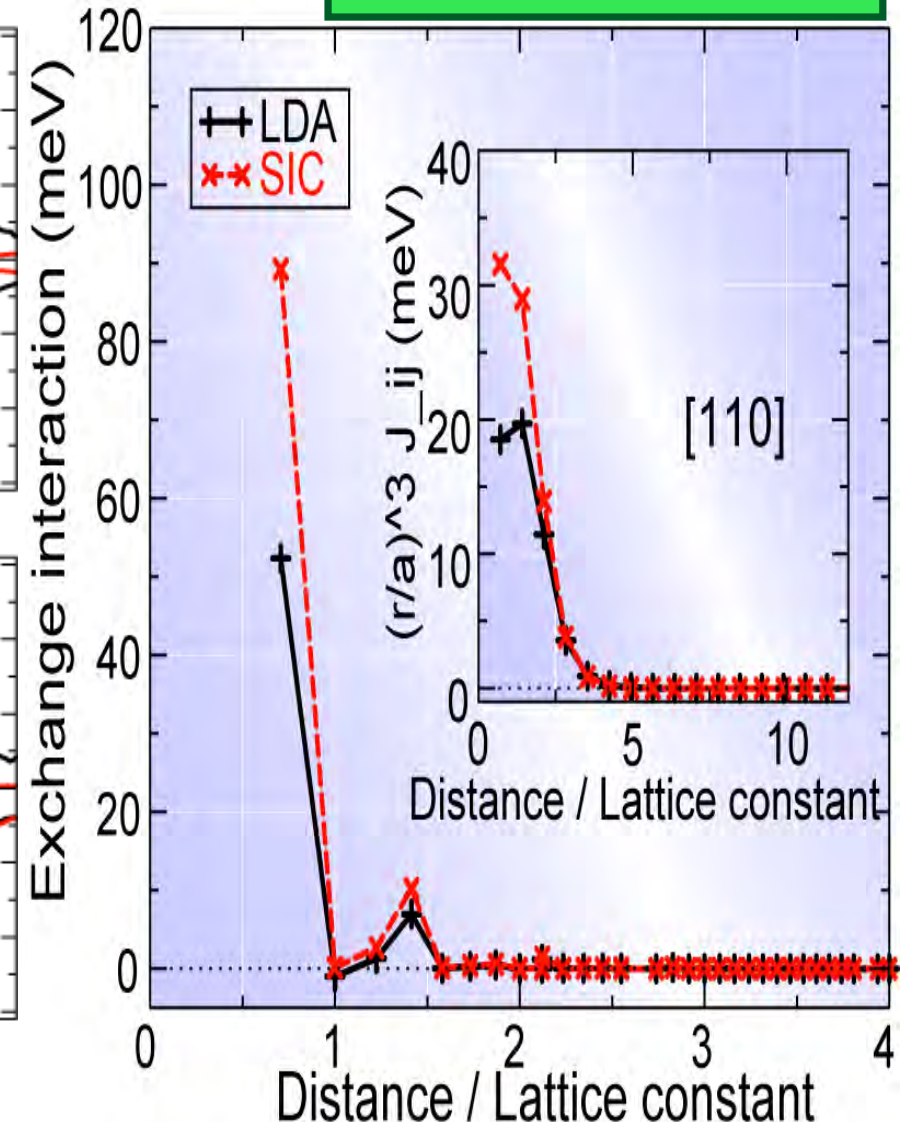
LDA vs. PSIC-LDA; (Ga,Mn)N

Zener's double exchange

$$\epsilon_{3d} > \epsilon_{2p}$$



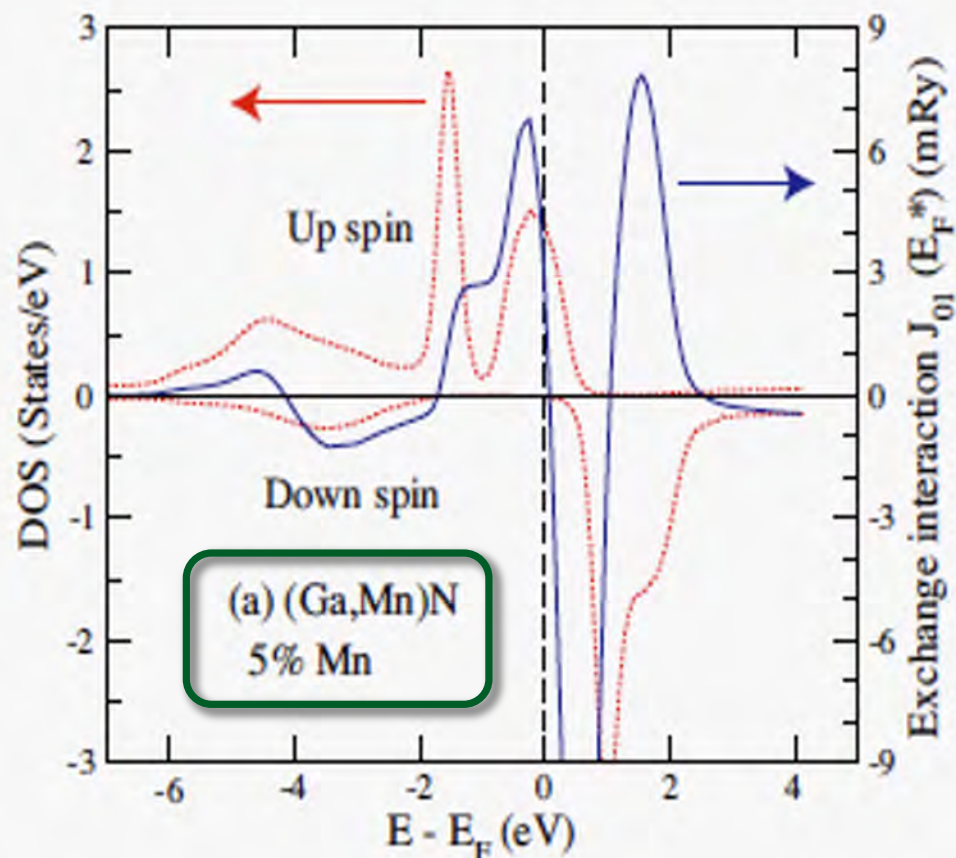
$$\mathcal{H} = \sum_{i \neq j} J_{ij} \mathbf{S}_i \cdot \mathbf{S}_j$$



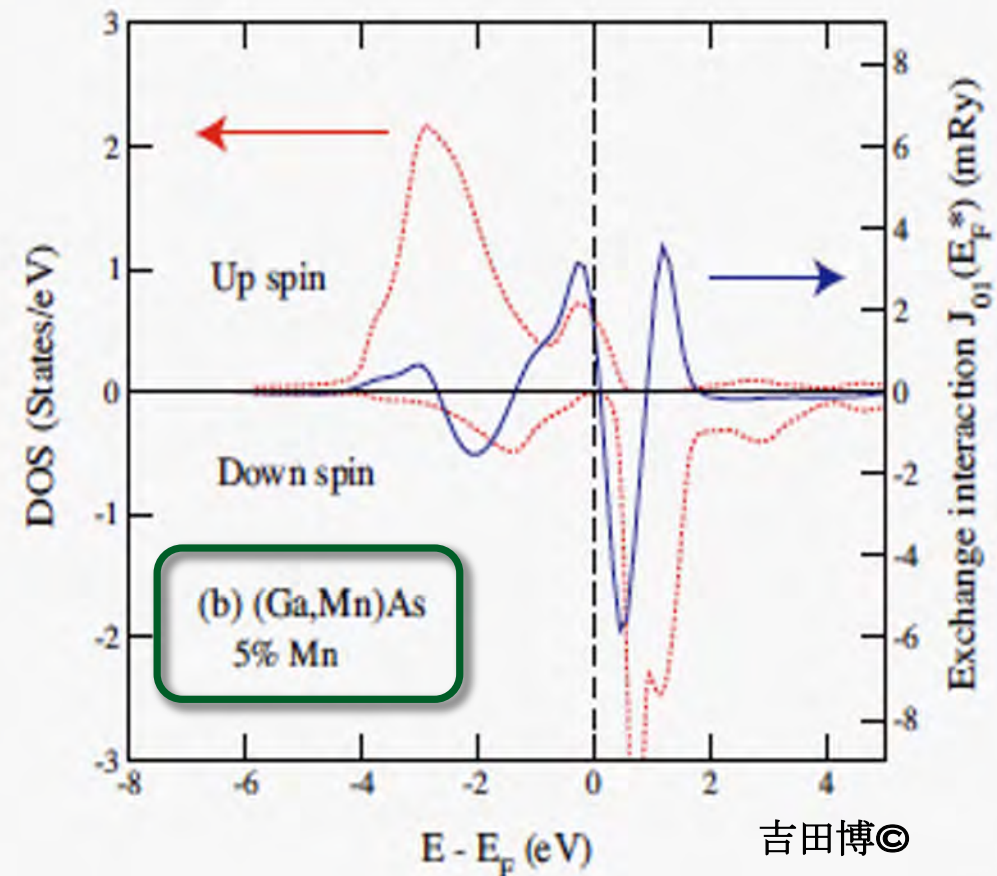
Universal Rule in Magnetism: $\mathcal{H} = -\sum_{i \neq j} J_{ij}(E) S_i \cdot S_j$

K. Sato et al., Rev. Mod. Phys., 82 (2010) 1633.

(a) Zener's double exchange mechanism (Ferromagnetism)

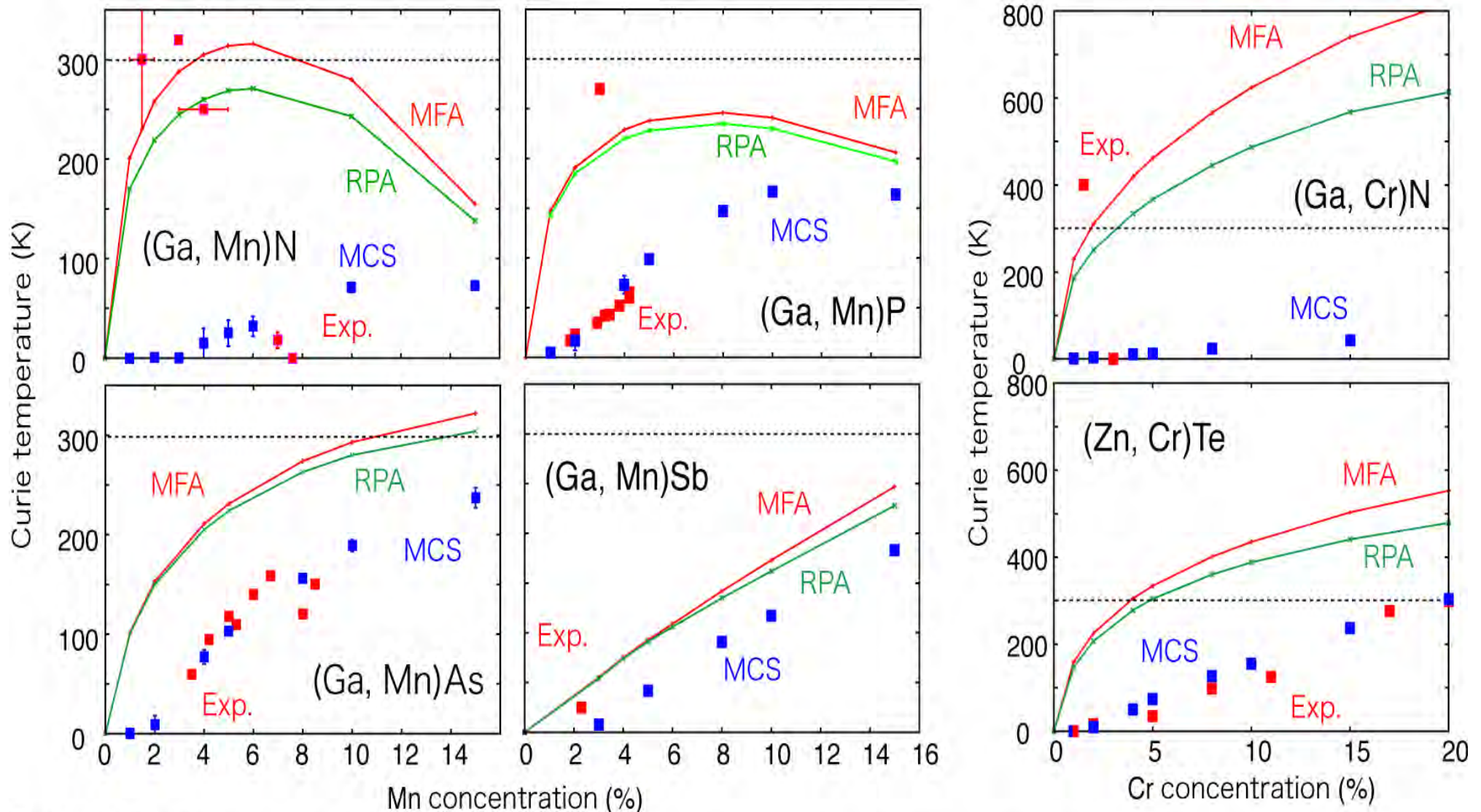


(b) Zener's p-d exchange mechanism (Ferromagnetism)



We can control $J_{ij}(E_F)$ by *p*-, *n*-doping or Gating.

**Calculation of T_c: K. Sato et al., Rev. Mod. Phys., 82 (2010) 1633.
K. Sato et al., Phys. Rev. B 70 (2004) 201202.**



- MFA overestimates T_c for low concentrations (Need MCS)
- For higher concentrations (>30%), MFA is OK.
- MCS is in good agreement with the experiments.

**2006 E-MRS Fall
Meeting, Symposium E
Warsaw, Poland
4-8 September, 2006**

■ ***Theory of Ferromagnetic
Semiconductors***

**“Spinodal Nanotechnology as a
New Class of Bottom-up
Nanotechnology”**

■ **H. Katayama-Yoshida,
K. Sato, T. Fukushima,
M. Toyoda, H. Kizaki,
An van Dinh, P.H. Dederichs**

■ **phys. stat. sol. (a), 204
(2007) 15-32.**

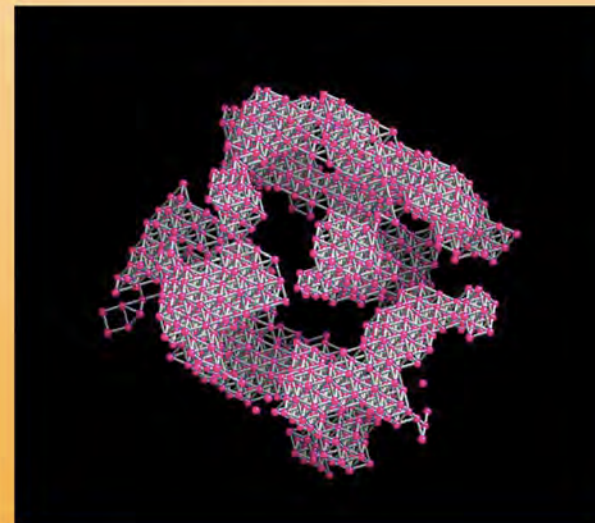


www.pss-a.com

applications and materials science

Dilute Magnetic Materials for Spintronic Applications

Guest Editor: Pierre Ruterana



Editor's Choice
Theory of
ferromagnetic
semiconductors
(H. Katayama-
Yoshida et al.,
p. 15)



With contributions from the
2006 E-MRS Fall Meeting, Symposium E
Warsaw, Poland, 4-8 September 2006



204 · 1
January 2007

WILEY-VCH

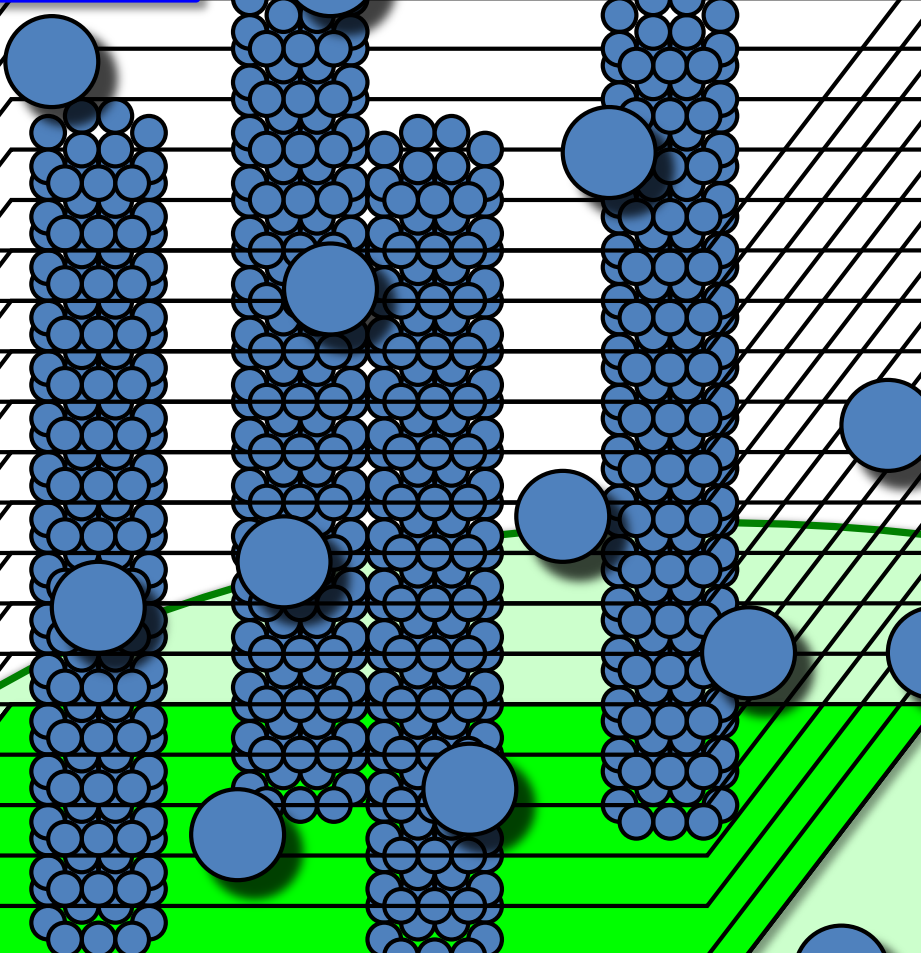
ISSN 0340-8965, 1862-6300, phys. stat. sol. (a)
204, No. 1, 1–308 (2007)

Discover papers in this journal online, ahead of the print issue, through EarlyView® at
WILEY InterScience®
DISCOVER SOMETHING GREAT
www.interscience.wiley.com

2次元スピノーグル・ナノ分解

- Sato, et al., Jpn. J. Appl. Phys. 44 (2005) L945
- Fukushima, et al., Jpn. J. Appl. Phys. 45 (2006) L416
- Katayama-Yoshida et al., phys. stat. soli. (a), 204 (2007) 15.
- Dietl, Sato, Fukushima et al., Rev. Mod. Phys. 87 (2015) 1131.

$A_{1-x}B_x$



Self-organized
Konbu-Phase
昆布相 (海帶相)¹⁴

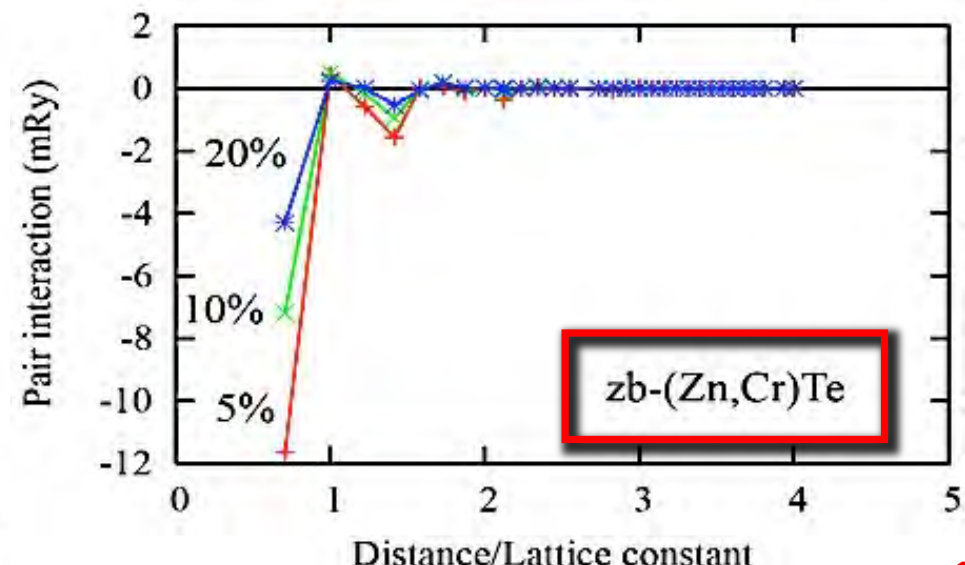
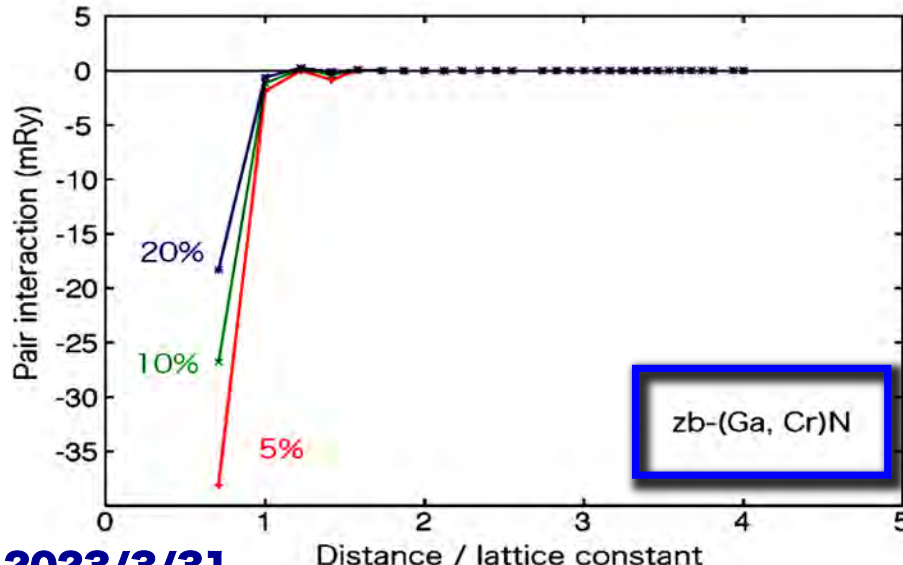
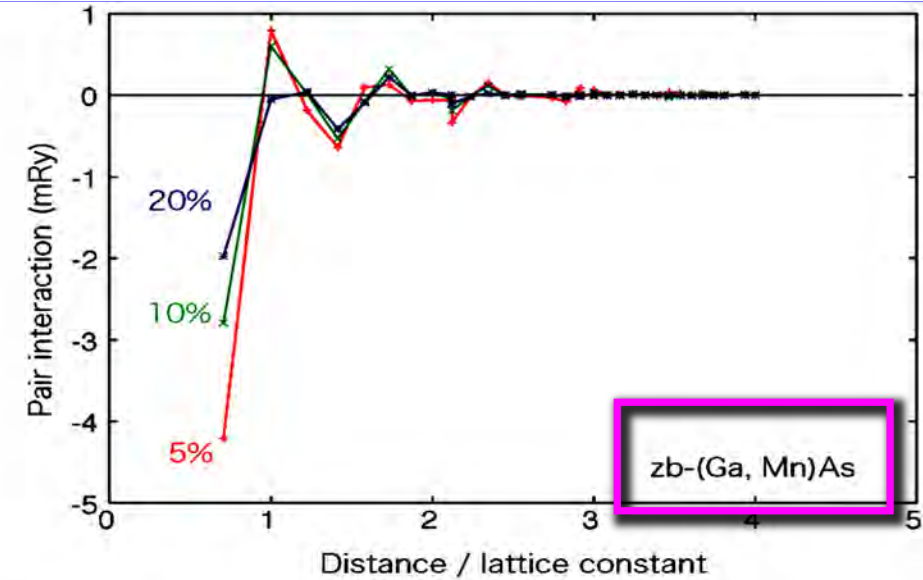
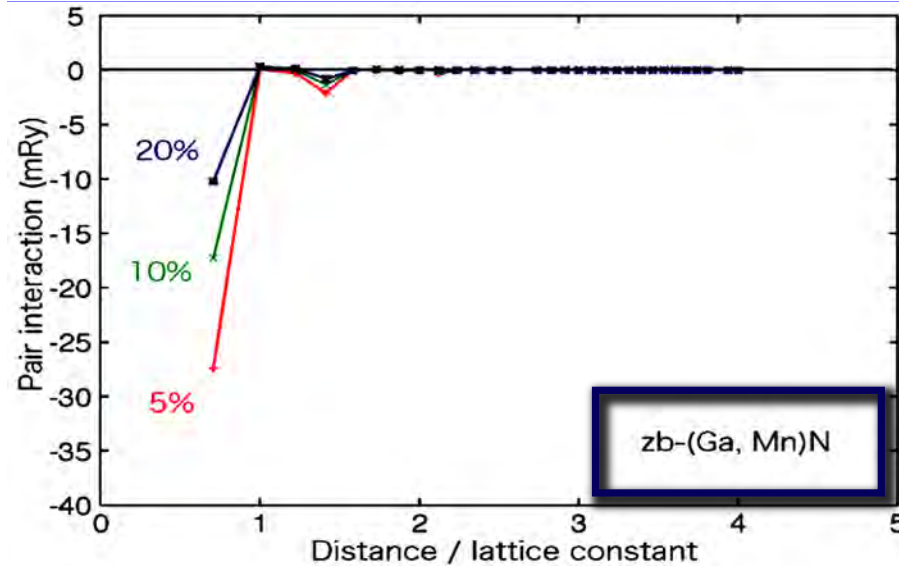
Inhomogeneous DMS Fabricated by Spinodal Nano-Decomposition



有效化学对相互作用

$$H = \sum_{i>j} V_{ij} \sigma_i \cdot \sigma_j \quad V_{ij} = V_{ij}^{\text{MnMn}} + V_{ij}^{\text{GaGa}} - 2V_{ij}^{\text{MnGa}}$$

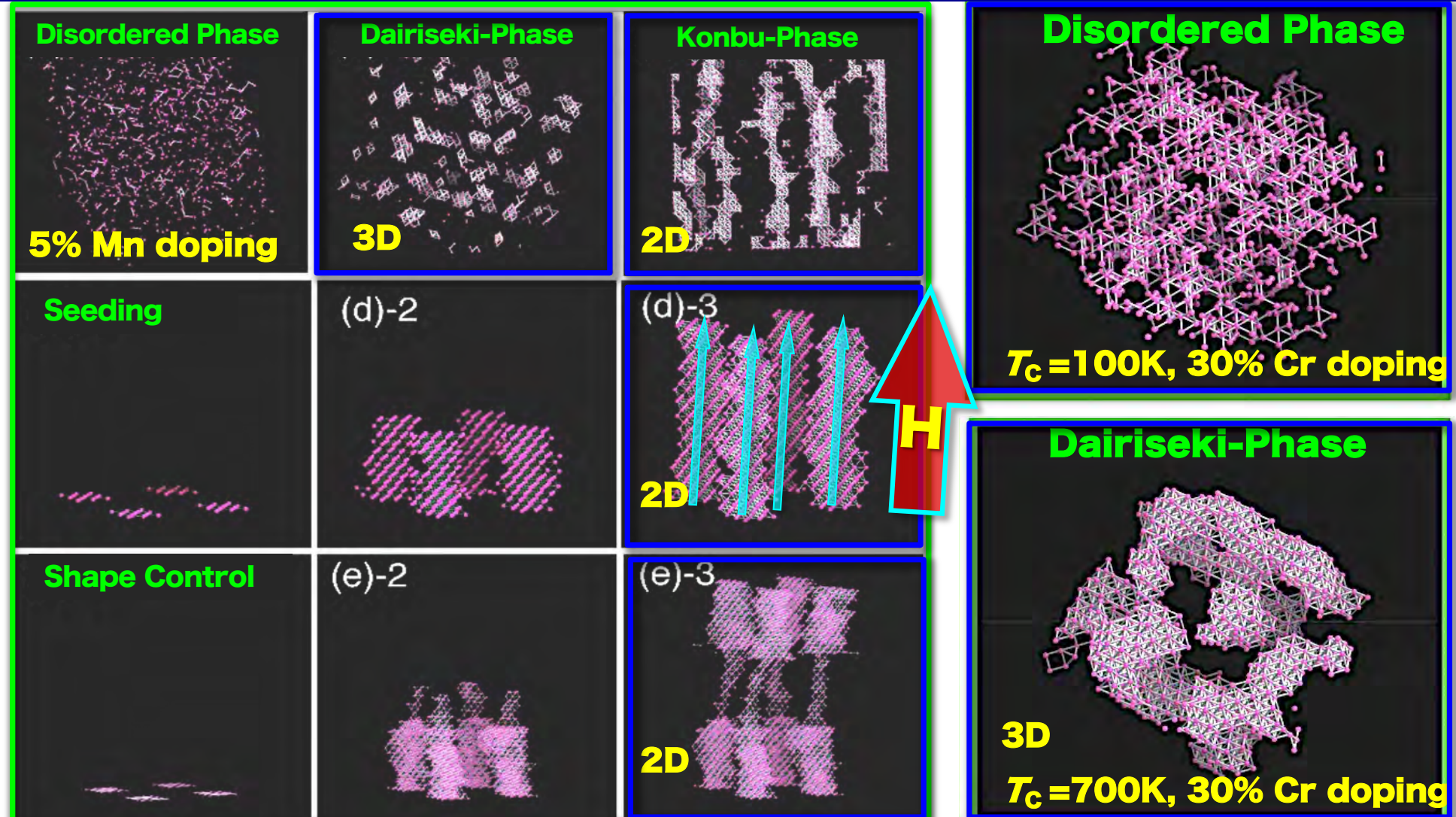
■ Sato, Katayama-Yoshida, Dederichs., JJAP, 44 (2005) L948



スピノーダル・ナノ分解: $(\text{Ga}_{1-x}\text{TM}_x)_N$

■ *K. Sato et al., JJAP, 44 (2005) L948.*

■ *T. Fukushima, et al., JJAP, 45 (2006) L416.*

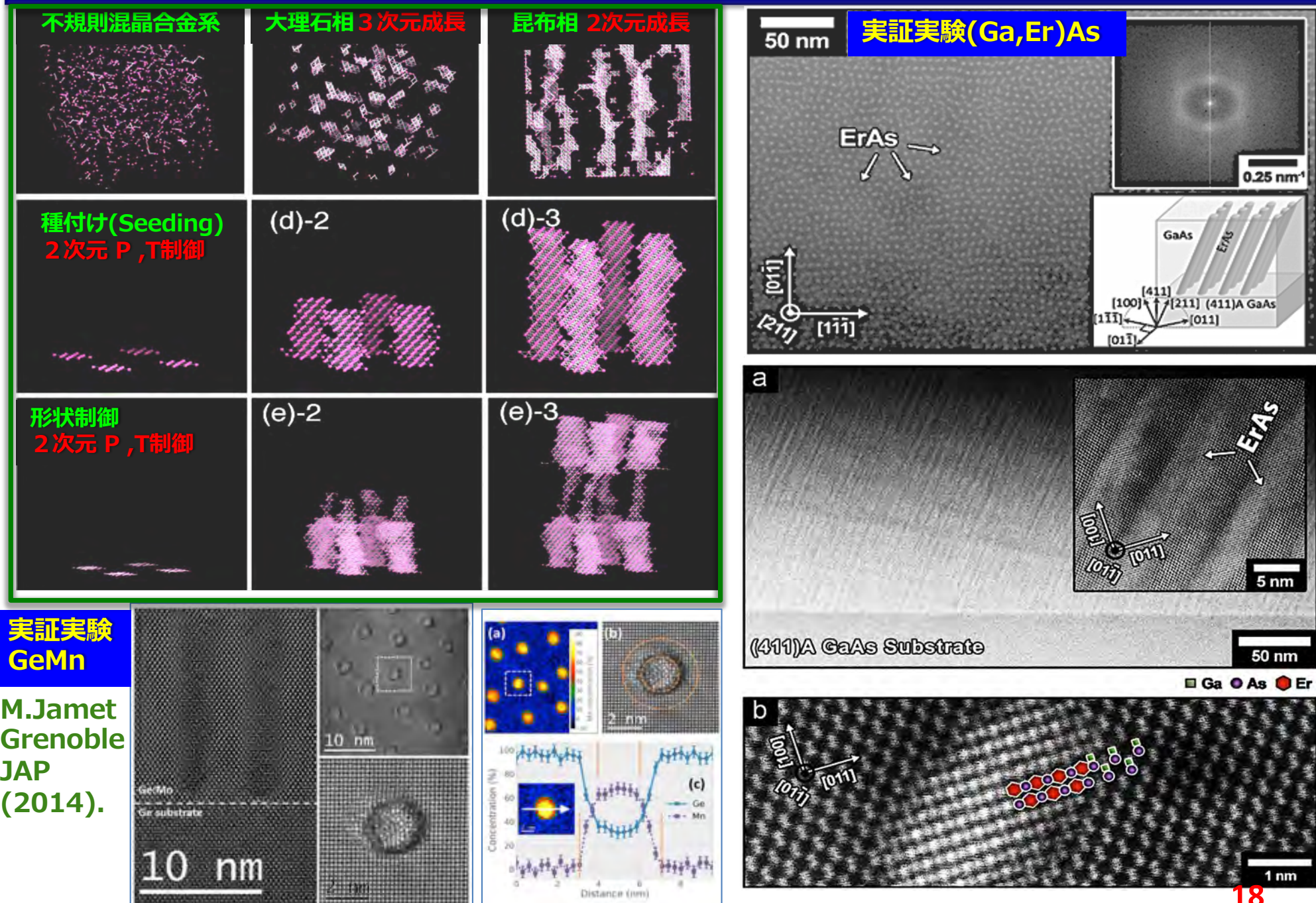


■ *K. Sato, L. Bergqvist et al., Rev. Mod. Phys. 82, (2010) 1633.*

■ *H. Katayama-Yoshida et al., phys. stat. soli. (a), 204 (2007) 15.*

スピノーダルナノ分解・自己組織化ナノ超構造：昆布相と大理石相

Fukushima, Sato, et al., JJAP, 45 (2006) L416.



実証実験
GeMn

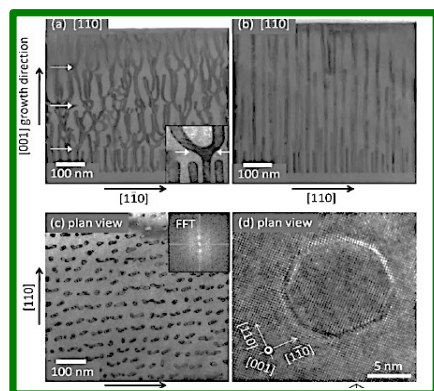
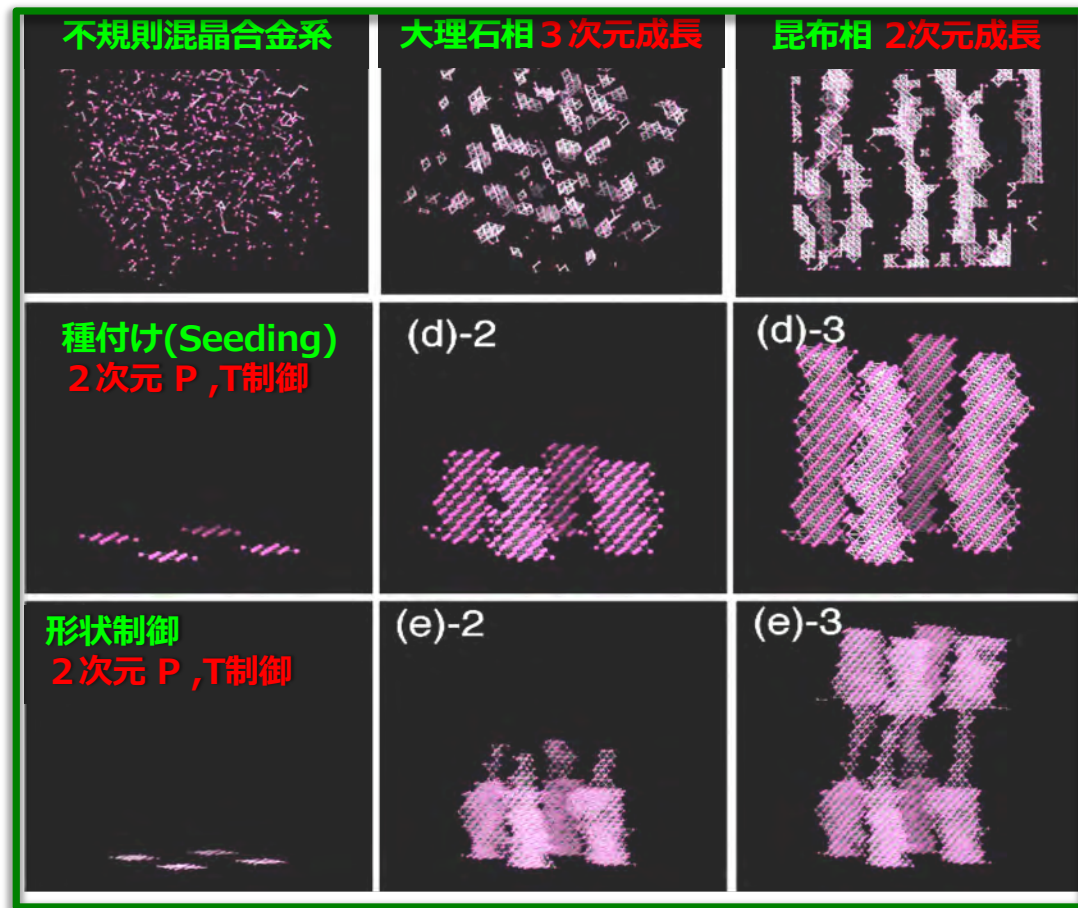
M.Jamet
Grenoble
JAP
(2014).

10 nm

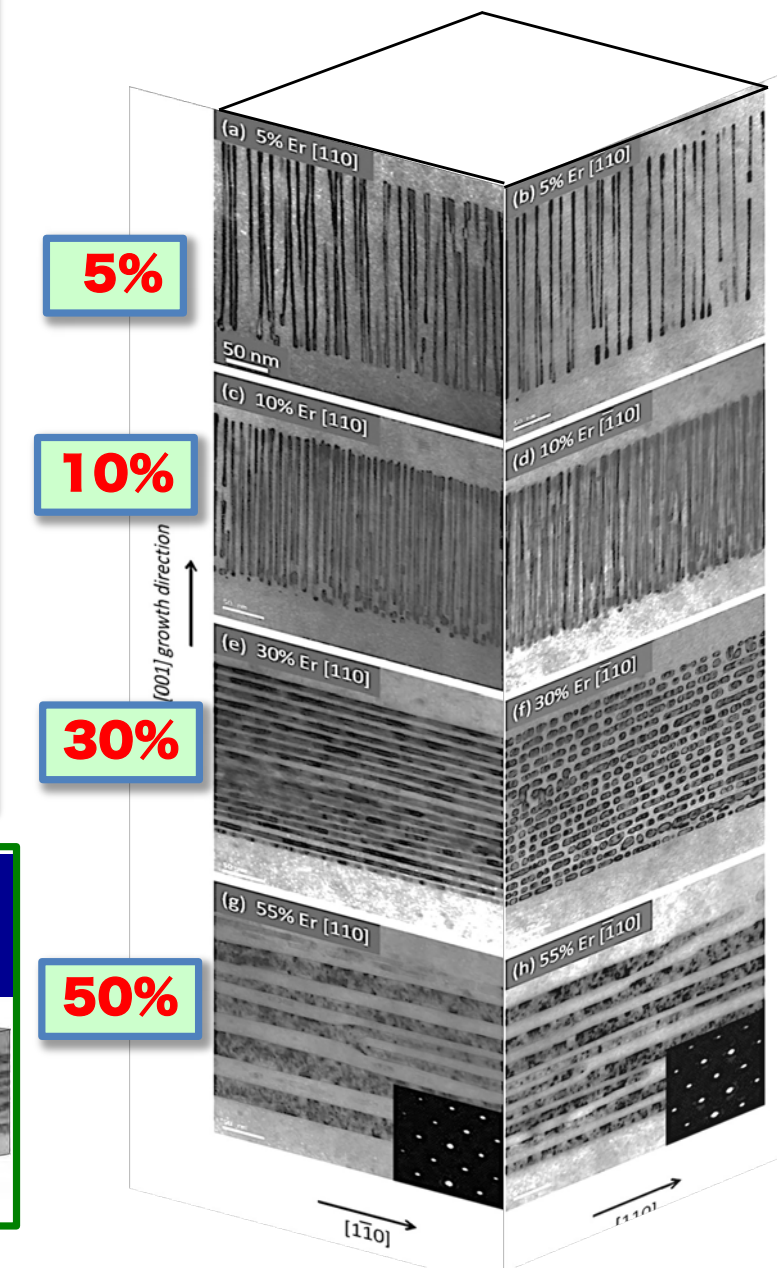
スピノーダル・ナノ分解による自己組織化ナノ超構造：大理石相と昆布相

Sato et al., JJAP, 44 (2005) L948.

Fukushima et al., JJAP, 45 (2006) L416.



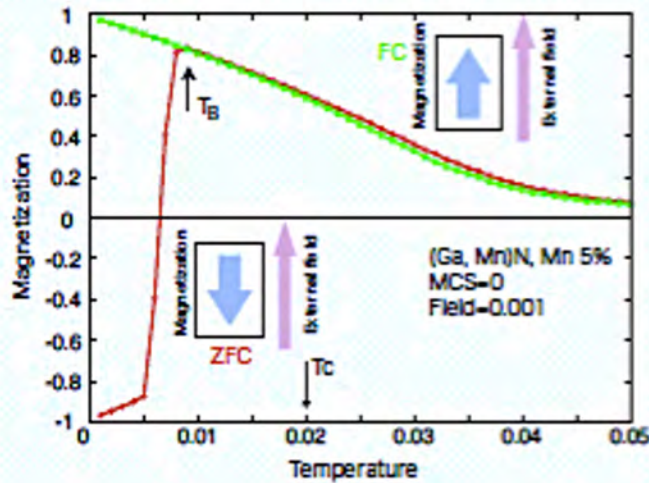
Christopher Palmstrom (UCSB), 2015



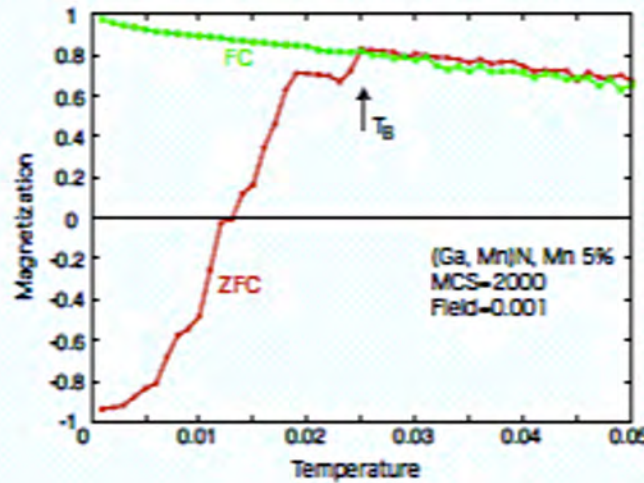
(Ga,Mn)N : スピノーダル・ナノ分解による 超常磁性体の高いブロッキング温度 T_B

■ K. Sato et al., JJAP, 46, (2007) L682.

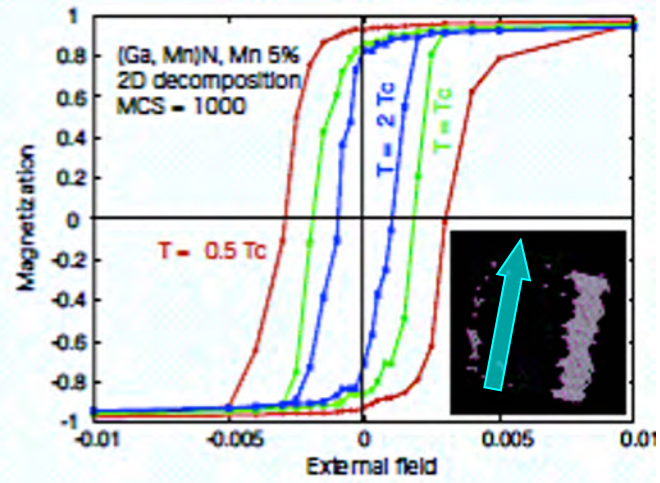
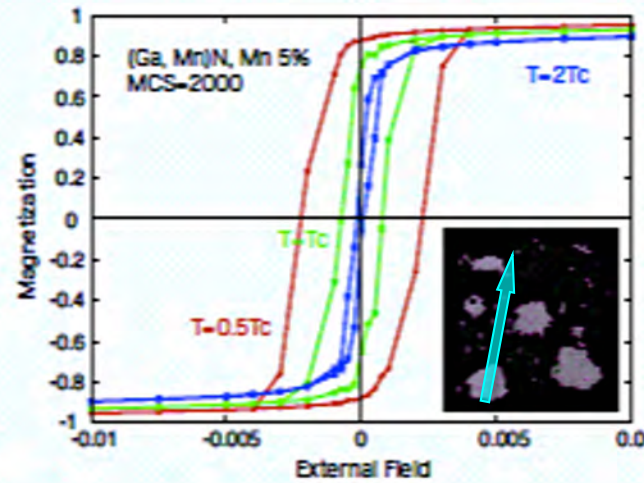
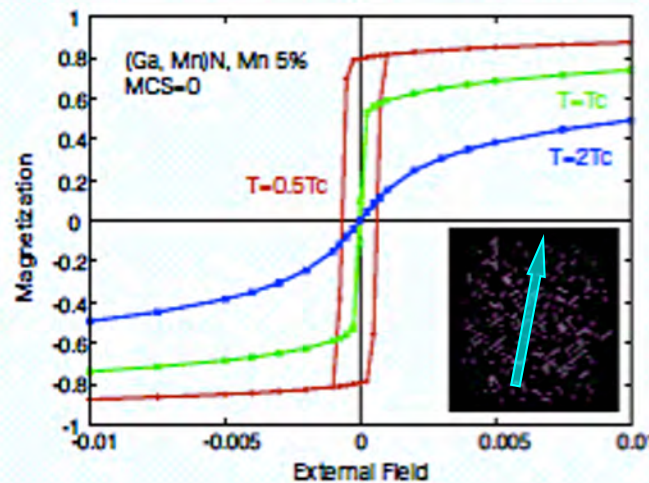
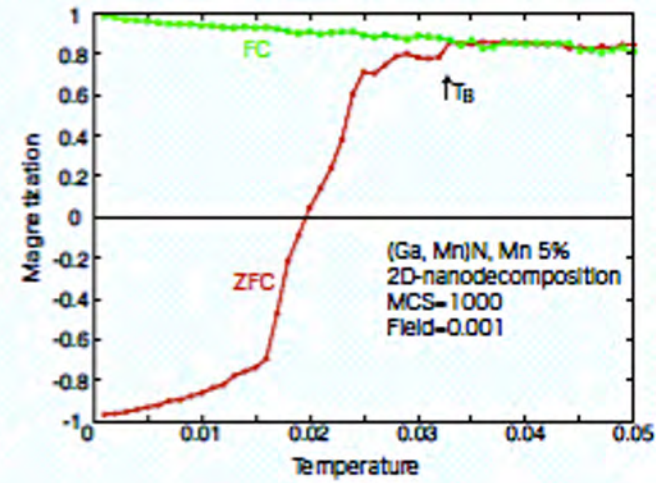
■ 無秩序相



■ 大理石相(3D)



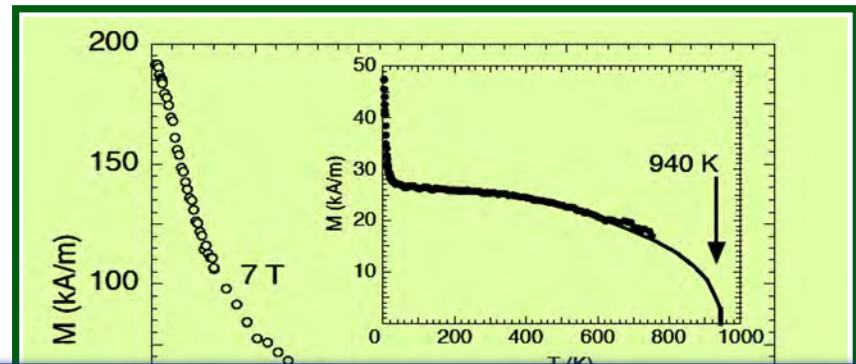
■ 昆布相(2D)



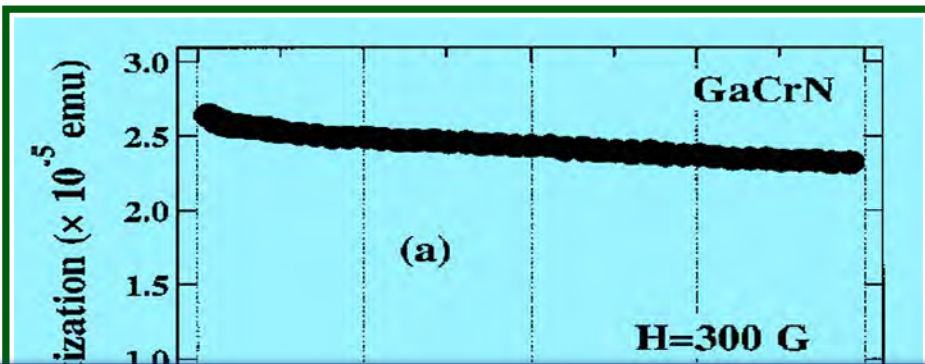
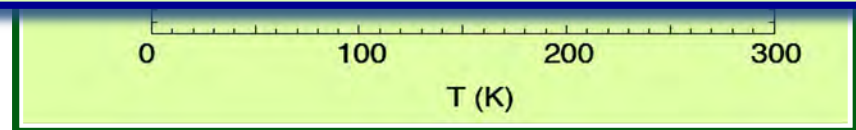
結晶磁気異方性と形状磁気異方性のナノ超構造による制御

20

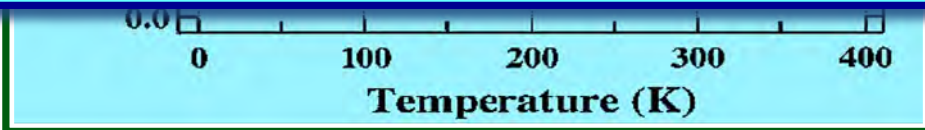
■昆布相・大理石相における高いブロッキング温度： T_B



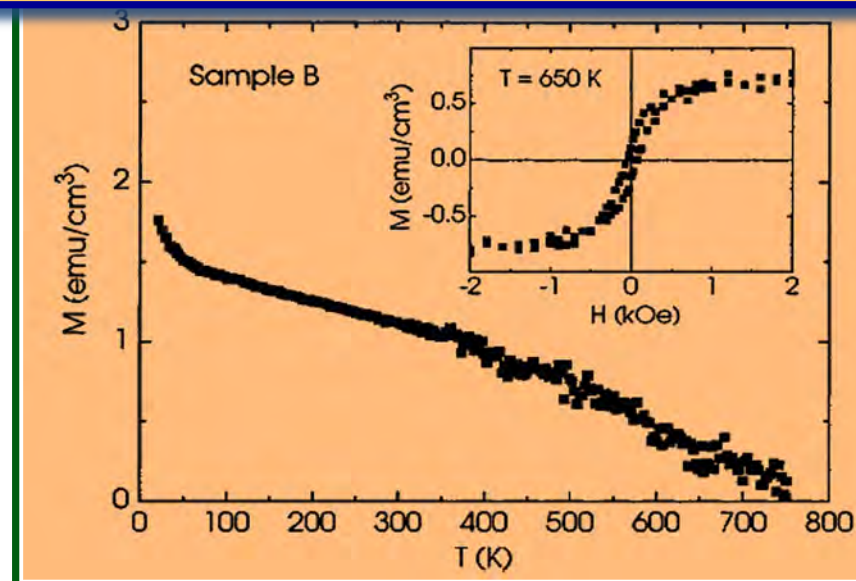
(Ga,Mn)N S. Sonoda, et al.,
Physica B324 (2002) 142.



(Ga,Cr)N Y.-K. Zou, et al.,
J. Supercond., 16 (2003) 37.



(Ga,Mn)N S. Dhar et al.,
APL 82 (2003) 2077.



(Ga,Cr)N N. Newman et al.,
 $(T_B) T_C = 1,050$ K (Arizona)

■ 基本特許(EU, USA, Japan)
H.Katayama-Yoshida, K. Sato
■ EP-1219731B1,
■ USP-0112278A1,
■ EP-1367151A1
■ JP2001-059195, 0593030

Alchemist's Materials Design for New Class of DMS without 3d Transition Metal



Materials Design for New Class of DMS without 3d Transition Metal : 2004

Japanese Journal of Applied Physics
Vol. 43, No. 7A, 2004, pp. L934-L936
©2004 The Japan Society of Applied Physics

Express Letter

New Class of Diluted Ferromagnetic Semiconductors based on CaO without Transition Metal Elements

Kazuhide KENMOCHI*, Masayoshi SEIKE, Kazunori SATO, Akira YANASE and Hiroshi KATAYAMA-YOSHIDA

The Institute of Scientific and Industrial Research, Osaka University, 8-1 Mihogaoka, Ibaraki, Osaka 567-0047, Japan

(Received April 26, 2004; accepted May 25, 2004; published June 18, 2004)

Journal of the Physical Society of Japan
Vol. 73, No. 11, November, 2004, pp. 2952-2954
©2004 The Physical Society of Japan

LETTERS

Materials Design of Transparent and Half-Metallic Ferromagnets of MgO, SrO and BaO without Magnetic Elements

Kazuhide KENMOCHI*, Van Ann DINH, Kazunori SATO,
Akira YANASE and Hiroshi KATAYAMA-YOSHIDA

*The Institute of Scientific and Industrial Research, Osaka University,
8-1 Mihogaoka, Ibaraki, Osaka 567-0047*

(Received June 23, 2004)

N, C-doped alkaline-earth-metal-oxides were theoretically proposed as candidates of transparent ferromagnets without magnetic elements. (Jpn Patent : 2004-055017) 23

Materials Design for New Class of DMS without 3d Transition Metal : 2004

Japanese
Vol. 43,
©2004

New
witho

Kazuh
The Insti
(Receive

Journal
Vol. 73,
©2004

Journal of the Physical Society of Japan
Vol. 75, No. 9, September, 2006, 093705
©2006 The Physical Society of Japan

LETTERS

Letter

LETTERS

Exchange Interaction and T_c in Alkaline-Earth-Metal-Oxide-Based DMS without Magnetic Impurities: First Principle Pseudo-SIC and Monte Carlo Calculation

Van An DINH^{1,2*}, Masayuki TOYODA²,
Kazunori SATO² and Hiroshi KATAYAMA-YOSHIDA^{1,2}

¹Department of Condensed Matter Physics, Osaka University, 8-1 Mihogaoka, Ibaraki, Osaka 567-0047

²Department of Computational Nanomaterials Design, Nanoscience and Nanotechnology Center,
The Institute of Scientific and Industrial Research, Osaka University,
8-1 Mihogaoka, Ibaraki, Osaka 567-0047

(Received June 24, 2006; accepted July 31, 2006; published September 11, 2006)

The prospects of half-metallic ferromagnetism being induced by the incorporation of C atoms into alkaline-earth-metal-oxides are investigated by the first principle calculation. The origin of the ferromagnetism is discussed through the calculation of the electronic structure and exchange coupling constant by using the pseudo-potential-like self-interaction-corrected local spin density method. The Curie temperature (T_c) is also predicted by employing the Monte Carlo simulation. It is shown that by taking the electron self-interaction into account, the half-metallic ferromagnetism induced by C in the host materials is more stabilized in comparison with the standard local density approximation (LDA) case, and the C's 2p electron states in the bandgap become more localized resulting in the predominance of the short-ranged exchange interaction. While the ferromagnetism in $MgO_{1-x}C_x$ is stabilized due to the exchange interaction of the first-nearest neighbor pairs and might be suppressed by the anti-ferromagnetic super-exchange interaction at higher x , the ferromagnetism in $CaO_{1-x}C_x$, $SrO_{1-x}C_x$, and $BaO_{1-x}C_x$ is stabilized by both the first- and second-nearest neighbor pairs, and T_c monotonously increases with the C concentration.

KEYWORDS: *ab initio* calculation, pseudo-SIC, Monte Carlo simulation, dilute magnetic semiconductor, spintronics, alkaline earth metal oxide

DOI: 10.1143/JPSJ.75.093705

N, C-doped alkaline-earth-metal-oxides were theoretically proposed as candidates of transparent ferromagnets without magnetic elements. (Jpn Patent : 2004-055017) ²⁴

Experimental Verification : 2007, 2009

Abstract Submitted
for the MAR09 Meeting of
The American Physical Society

Sorting Category: 06.14.6 (E)

Ferromagnetism in MgO by Nitrogen Doping CHENG-HAN YANG, MAHESH SAMANT, STUART PARKIN, IBM Almaden Research Center — The new group, dilute ferromagnetic oxide and nitride, provides a promising technology potential to combine the magnetic and electronic properties. Studies in creating ferromagnetism in

PRL 98, 137202 (2007)

PHYSICAL REVIEW LETTERS

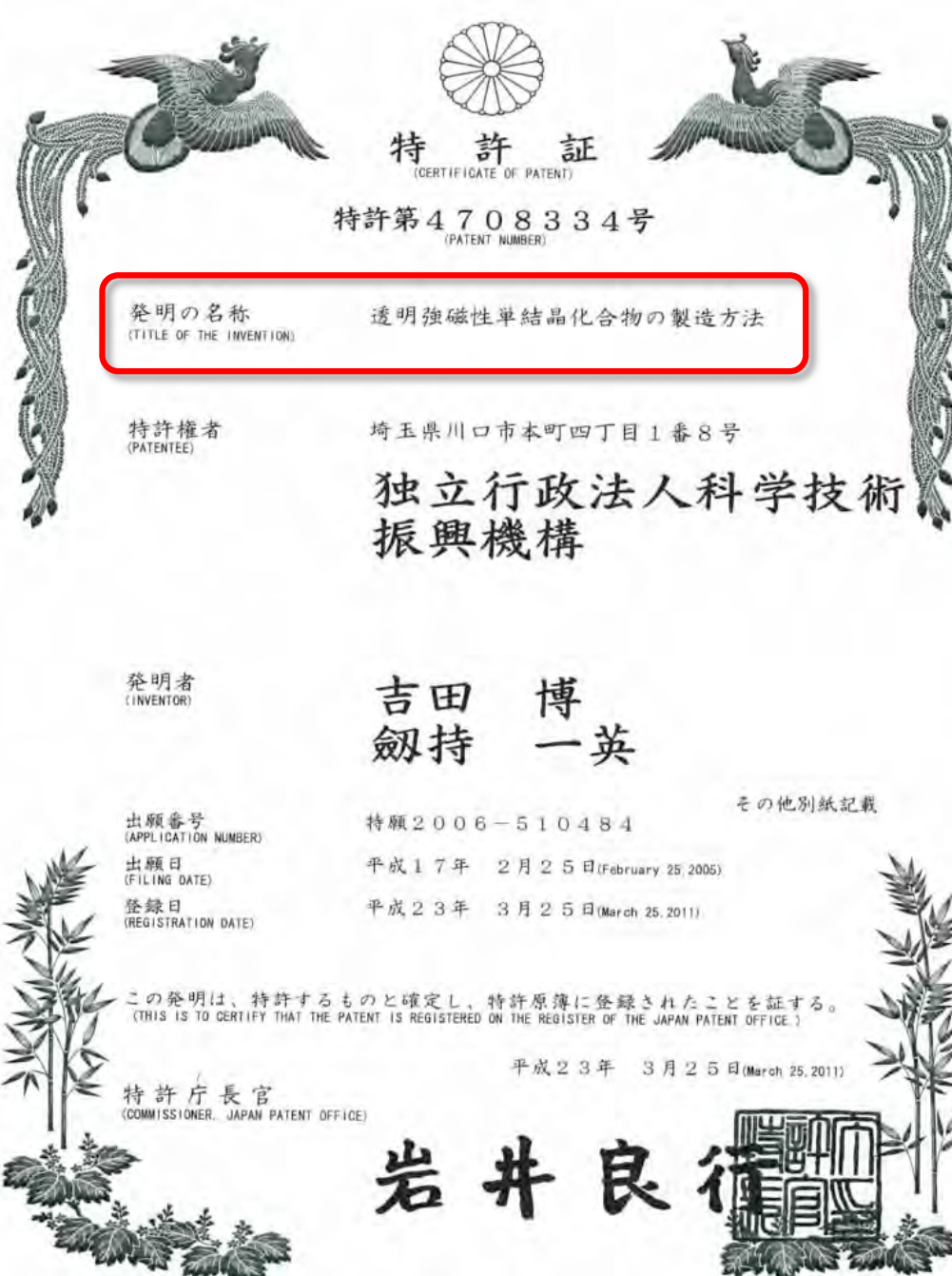
week ending
30 MARCH 2007

Magnetizing Oxides by Substituting Nitrogen for Oxygen

I. S. Elfimov,¹ A. Rusydi,² S. I. Csiszar,³ Z. Hu,⁴ H. H. Hsieh,⁵ H.-J. Lin,⁵ C. T. Chen,⁵ R. Liang,¹ and G. A. Sawatzky¹

It was experimentally reported that local magnetic moments were formed in N-doped MgO (max 13 at.%) and SrO (max 25 at.%).

Approved & Registered Patent : 2011



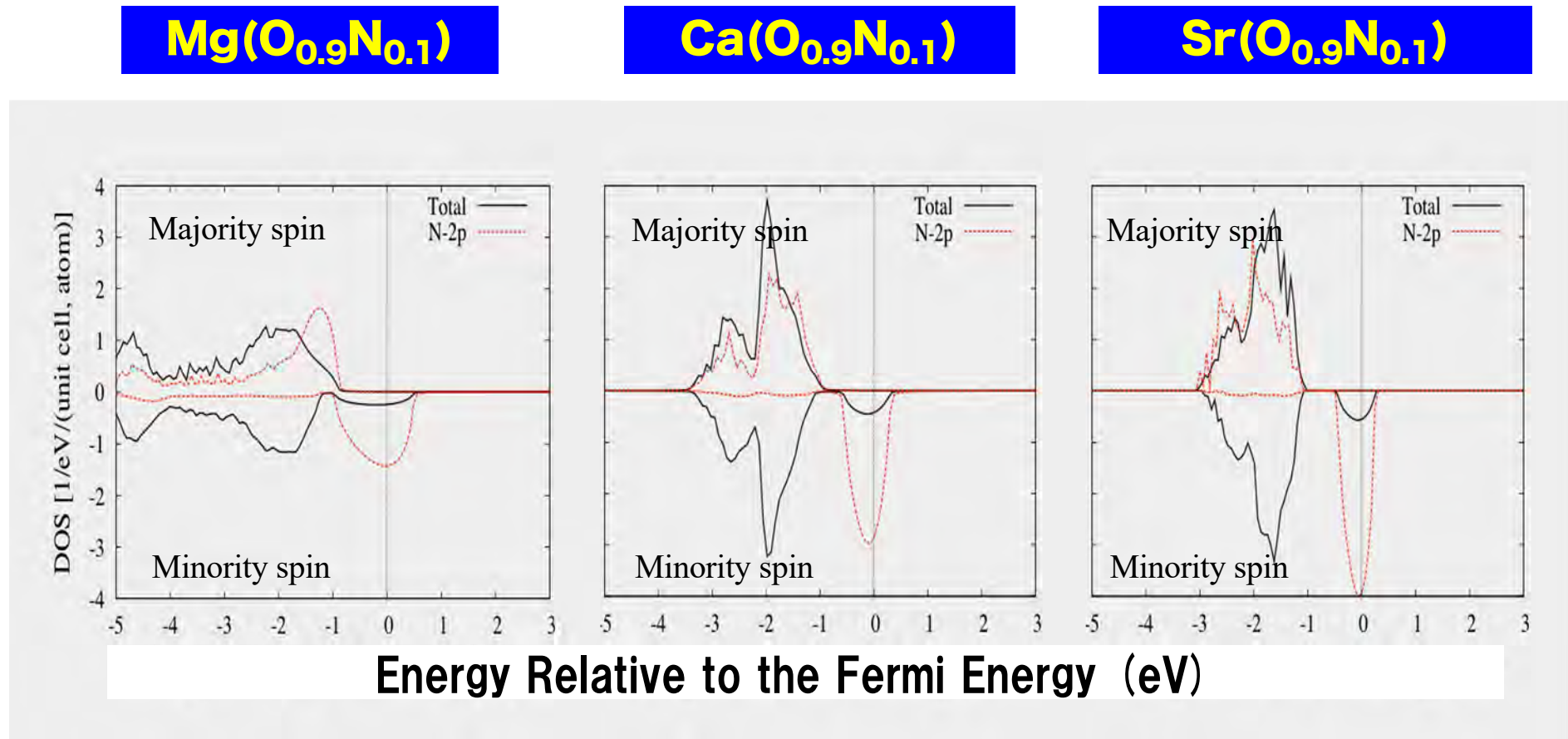
(19) 日本国特許庁(JP)	(12) 特許公報(B2)	(11) 特許番号 特許第4708334号 (P4708334)
(45) 発行日 平成23年6月22日 (2011.6.22)	(24) 登録日 平成23年3月25日 (2011.3.25)	
(51) Int.Cl. C30B 29/46 (2006.01) H01F 1/00 (2006.01)	F 1 C30B 29/46 H01F 1/00	Z
請求項の数 3 (全 14 頁)		
<p>(21) 出願番号 特願2006-510484 (P2006-510484) (22) 出願日 平成17年2月25日 (2005. 2. 25) (26) 国際出願番号 PCT/JP2005/003196 (27) 国際公開番号 WO2005/083161 (28) 国際公開日 平成17年9月9日 (2005. 9. 9) (29) 審査請求日 平成18年11月24日 (2006. 11. 24) (31) 優先権主張番号 特願2004-55017 (P2004-55017) (32) 優先日 平成16年2月27日 (2004. 2. 27) (33) 優先権主張国 日本国 (JP)</p> <p>(73) 特許権者 503360115 独立行政法人科学技術振興機構 埼玉県川口市本町四丁目1番8号 (74) 代理人 100108671 弁理士 西 義之 (72) 発明者 吉田 博 兵庫県川西市大和東2-82-4 劍持 一英 静岡県静岡市北146番地 (72) 発明者 清家 聖嘉 兵庫県明石市魚住町錦ヶ丘4丁目2-18 (72) 発明者 佐藤 和則 大阪府箕面市小野原東4丁目16-3-2 O 1</p>		
最終頁に続く		
(54) 【発明の名称】 透明強磁性単結晶化合物の製造方法		

(57) 【特許請求の範囲】
 【請求項 1】
 透明強磁性単結晶化合物を製造する方法において、
 該化合物として、
 アルカリ土類・カルコゲン化合物、アルカリ・カルコゲン化合物から選ばれる光を透過するワイドバンドギャップ化合物を用いること、
 該化合物を基板上に成膜する方法として、MBE法を用いること、
 該化合物の成膜時に、B,C,N,O,F,Si,Geから選ばれる最外殻に不完全なp電子殻をもつ少なくとも1種の元素を原子状に蒸発させて、成長した該化合物に1at%~25at%固溶させることの組み合わせ
 によって完全スピン分極した、強磁性転移温度が300度K以上である単結晶化合物を成膜することを特徴とする透明強磁性単結晶化合物の製造方法。
 10
 【請求項 2】
 固溶させる元素の濃度の調整により強磁性特性を調整することを特徴とする請求項1記載の透明強磁性単結晶化合物の製造方法。
 【請求項 3】
 成膜時にさらにn型ドーパント又はp型ドーパントの少なくとも一方を原子状に蒸発させて前記化合物に添加することによって強磁性特性を調整することを特徴とする請求項1記載の透明強磁性単結晶化合物の製造方法。
 【発明の詳細な説明】

10

26

Zener's double exchange mechanism in Partially Occupied Deep Impurity Band : $U > W$ (PSIC-LDA)

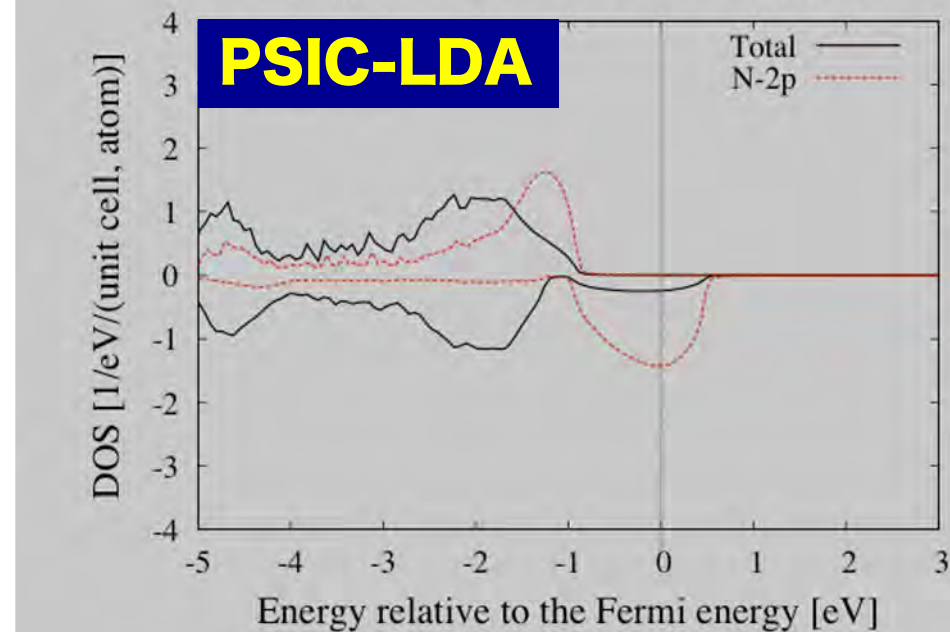
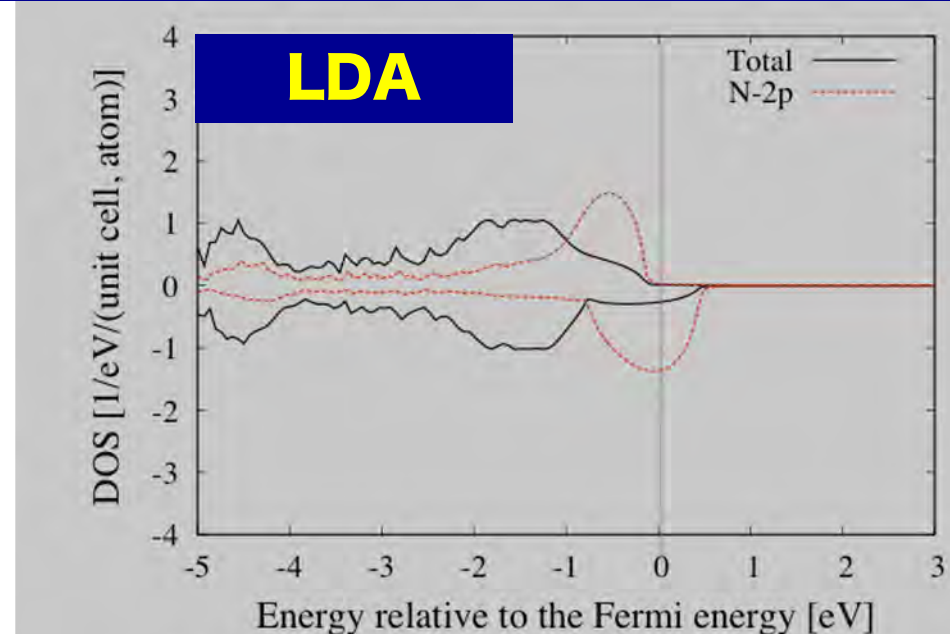


LDA vs. PSIC-LDA : U>W

Zener's Double Exchange Mechanism

Mg(O_{0.9}N_{0.1})

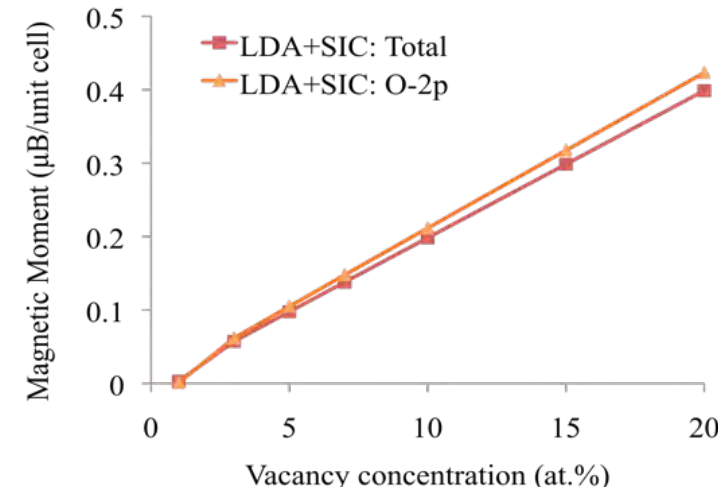
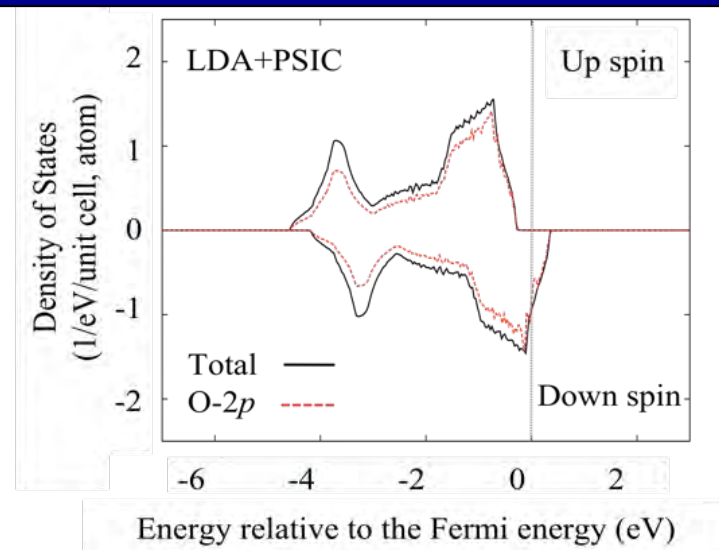
■ M. Seike, An Van Dinh,
K. Sato, H. Katayama-
Yoshida



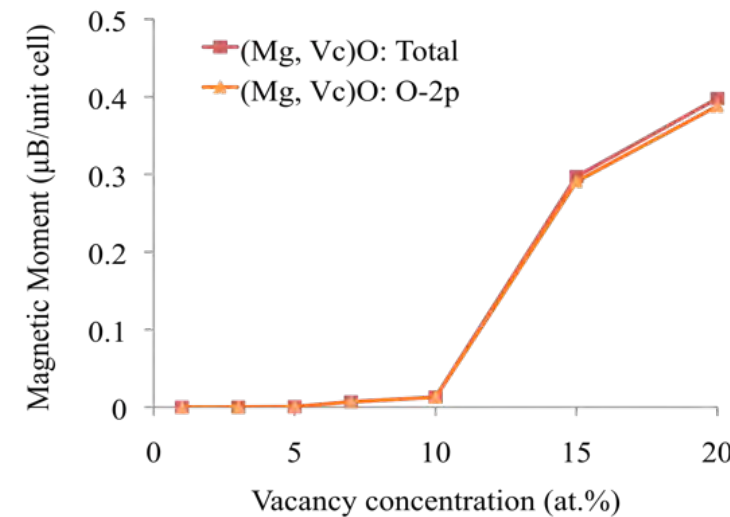
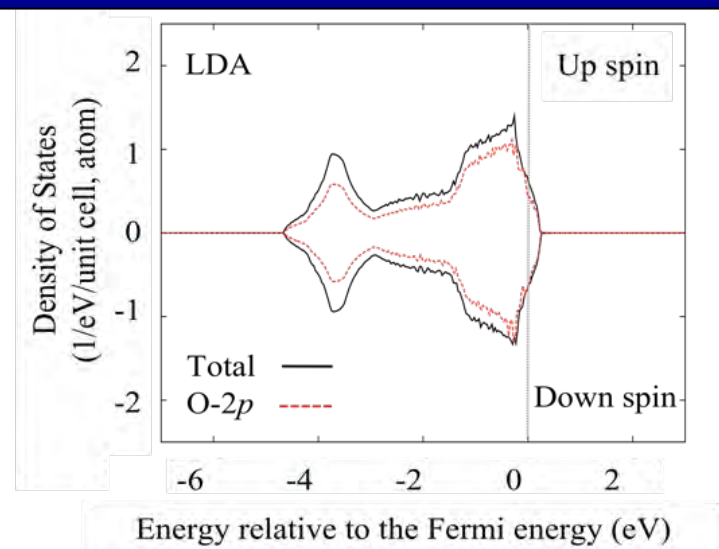
Narrow O_{2p} Band in (Mg,V_{Mg})O : U>W

■ M. Seike, K. Sato, H. Katayama-Yoshida (2011)

(Mg_{0.9},V_{Mg0.1})O : PSIC-LDA

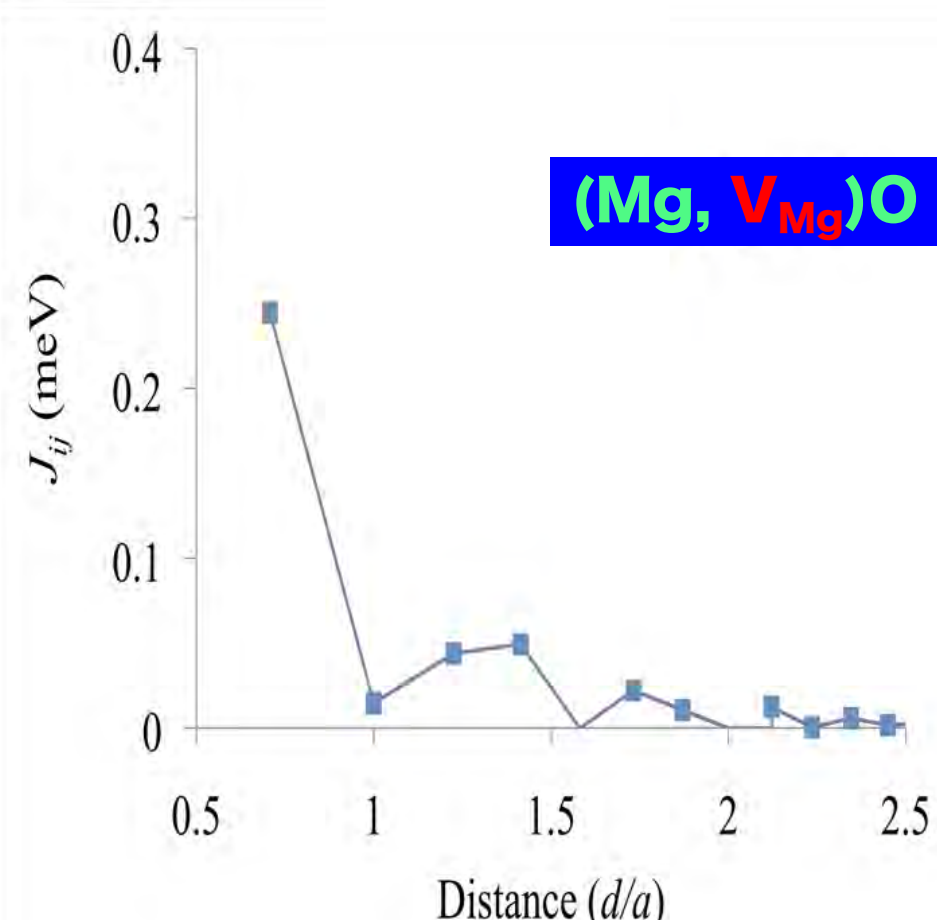


(Mg_{0.9},V_{Mg0.1})O : LDA

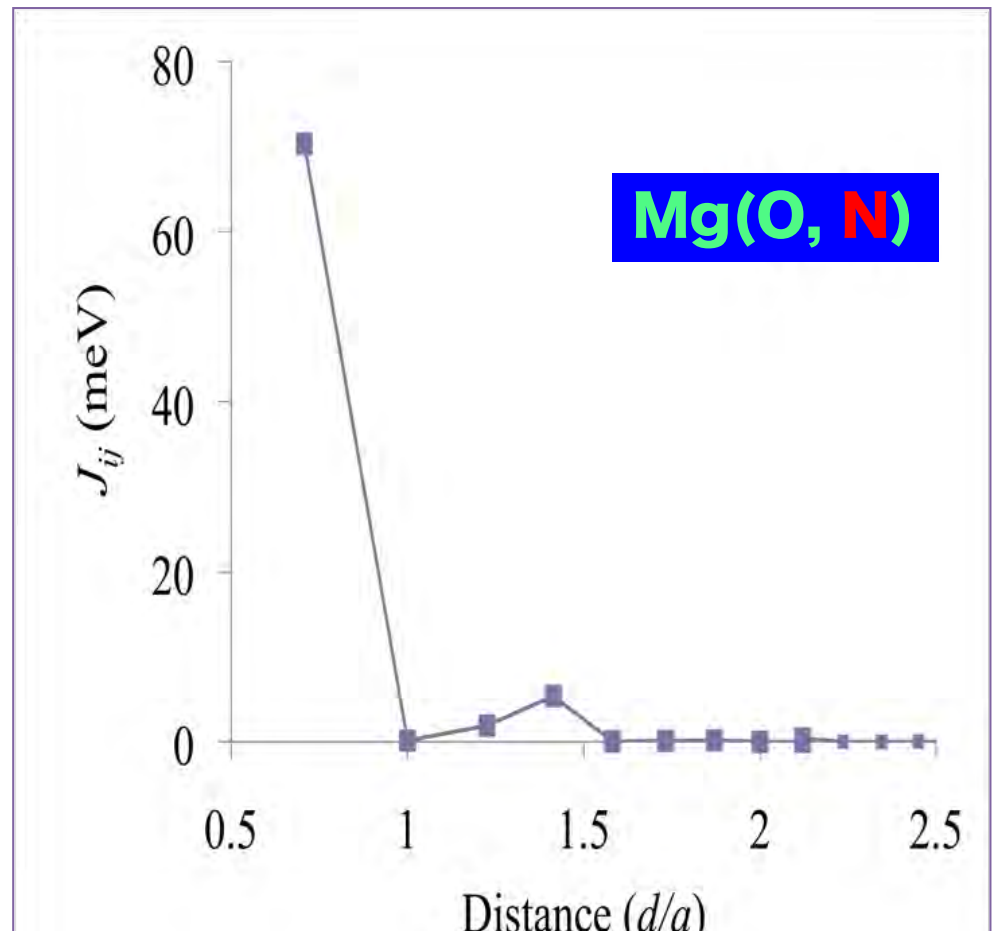


$$H = -\frac{1}{2} \sum_{i \neq j} J_{ij} \mathbf{e}_i \cdot \mathbf{e}_j$$

Exchange Coupling Constants between V_{Mg} in $(Mg, V_{Mg})O$

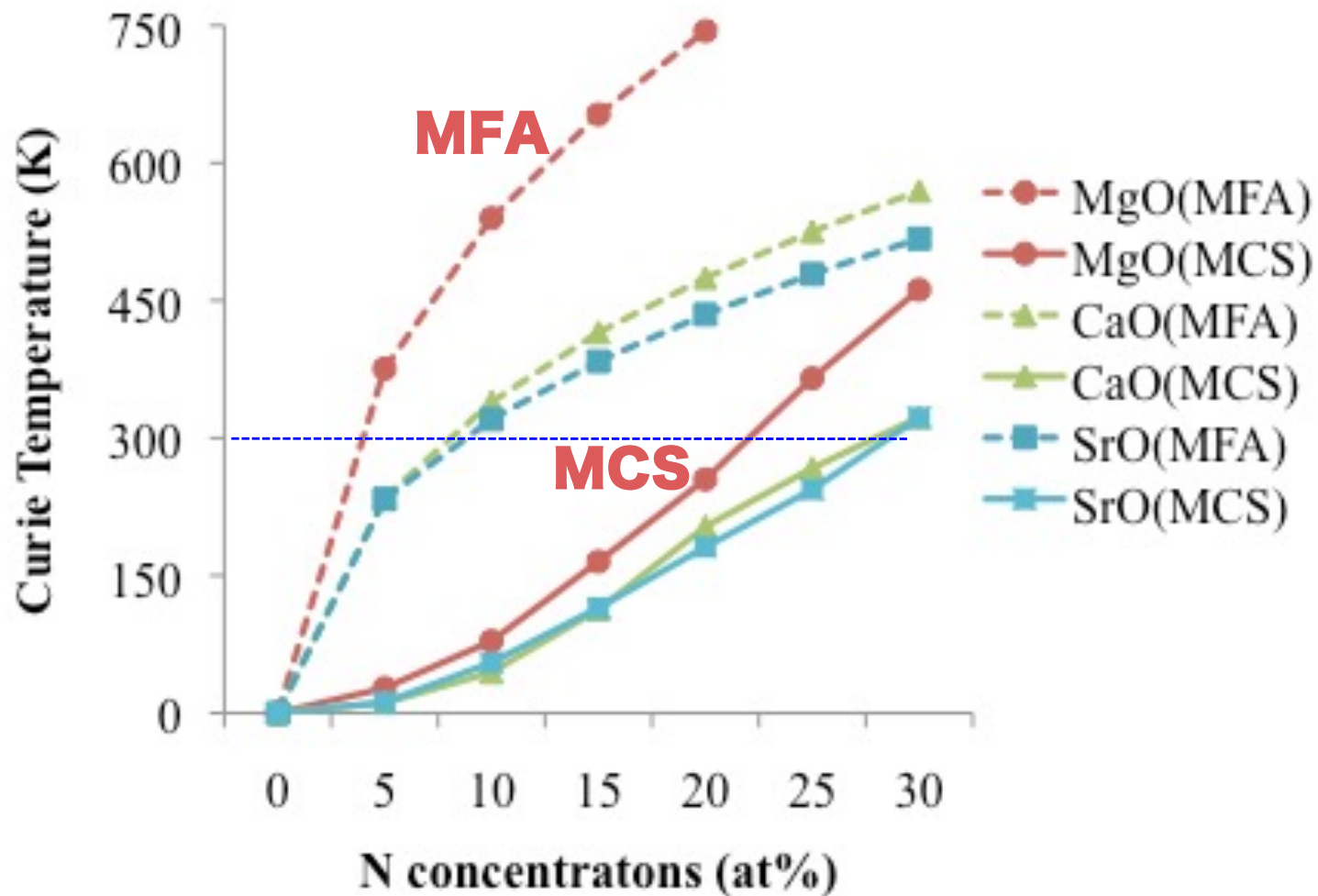


Exchange Coupling Constants between N in Mg(O, N)



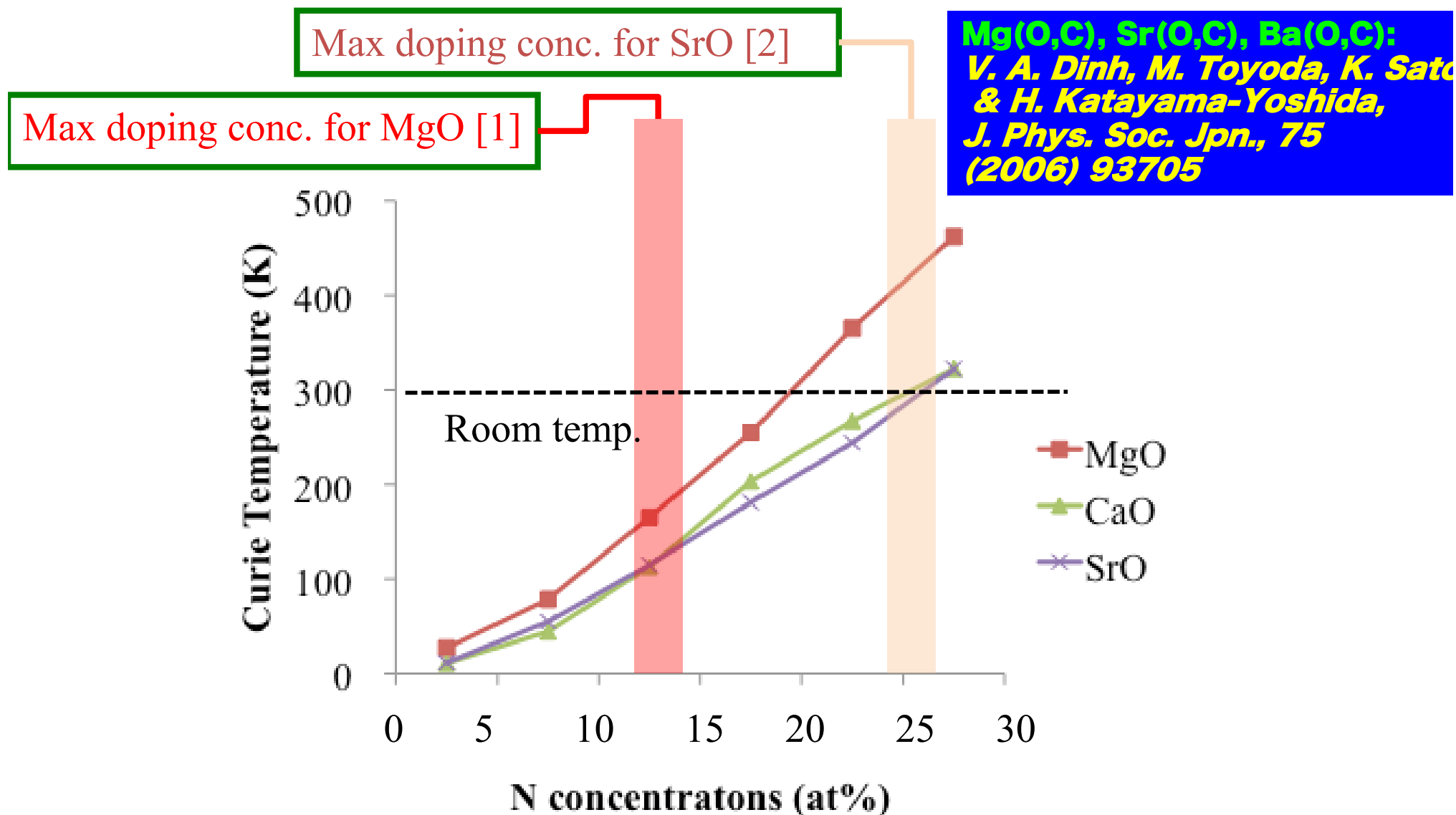
MFA vs. MCS: Curie Temperature (T_c)

M. Seike, An Van Dinh, K. Sato, H. Katayama-Yoshida



Curie Temperature (T_C) by MCS: PSIC-

M. Seike, An Van Dinh, K. Sato, H. Katayama-Yoshida



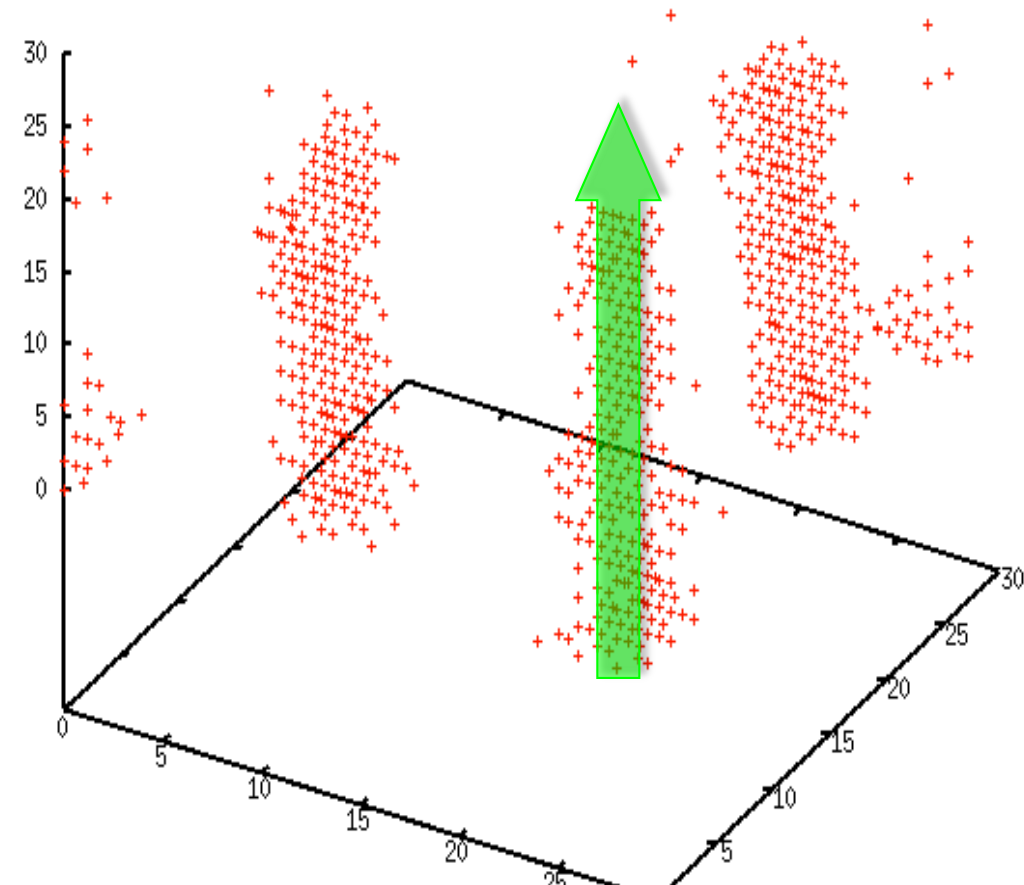
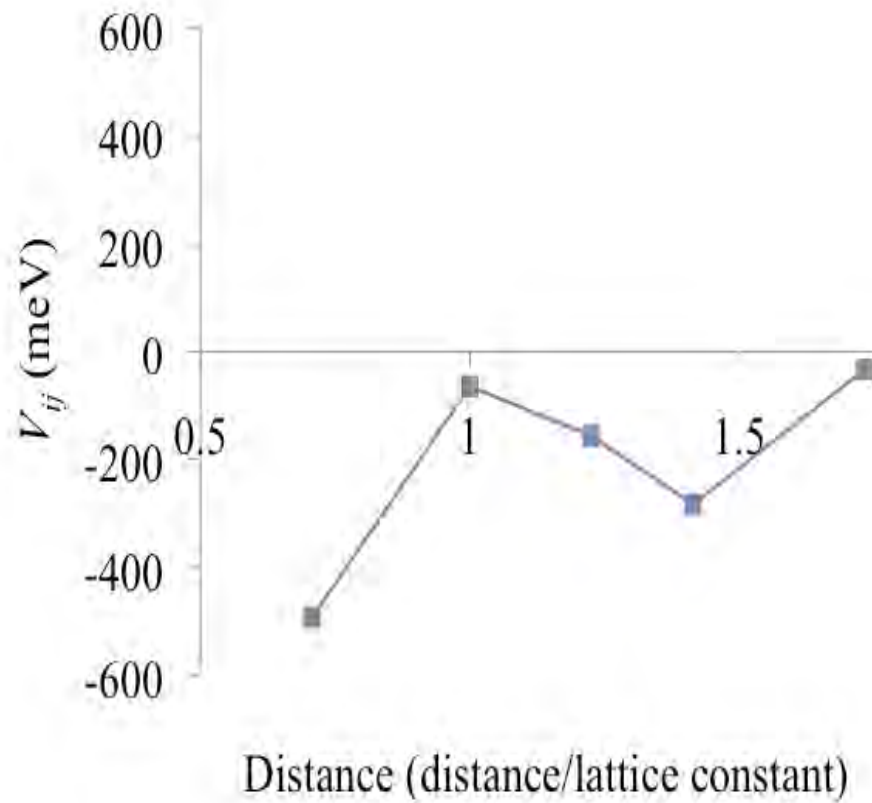
[1] C. H. Yang et al., 2009 APS March Meeting, (2009).

[2] I. S. Elfimov et al., Phys. Rev. Lett. 98 (2007) 137202. 32

Konbu-Phase: 2D Spinodal Nano-Decomposition in Mg(O,N)

Effective Chemical Pair Interactions
between N in MgO
 $V_{ij} = V_{ij}^{N-N} + V_{ij}^{O-O} - 2V_{ij}^{N-O}$

$$\mathcal{H} = \sum_{i>j} V_{ij} \sigma_i \cdot \sigma_j$$

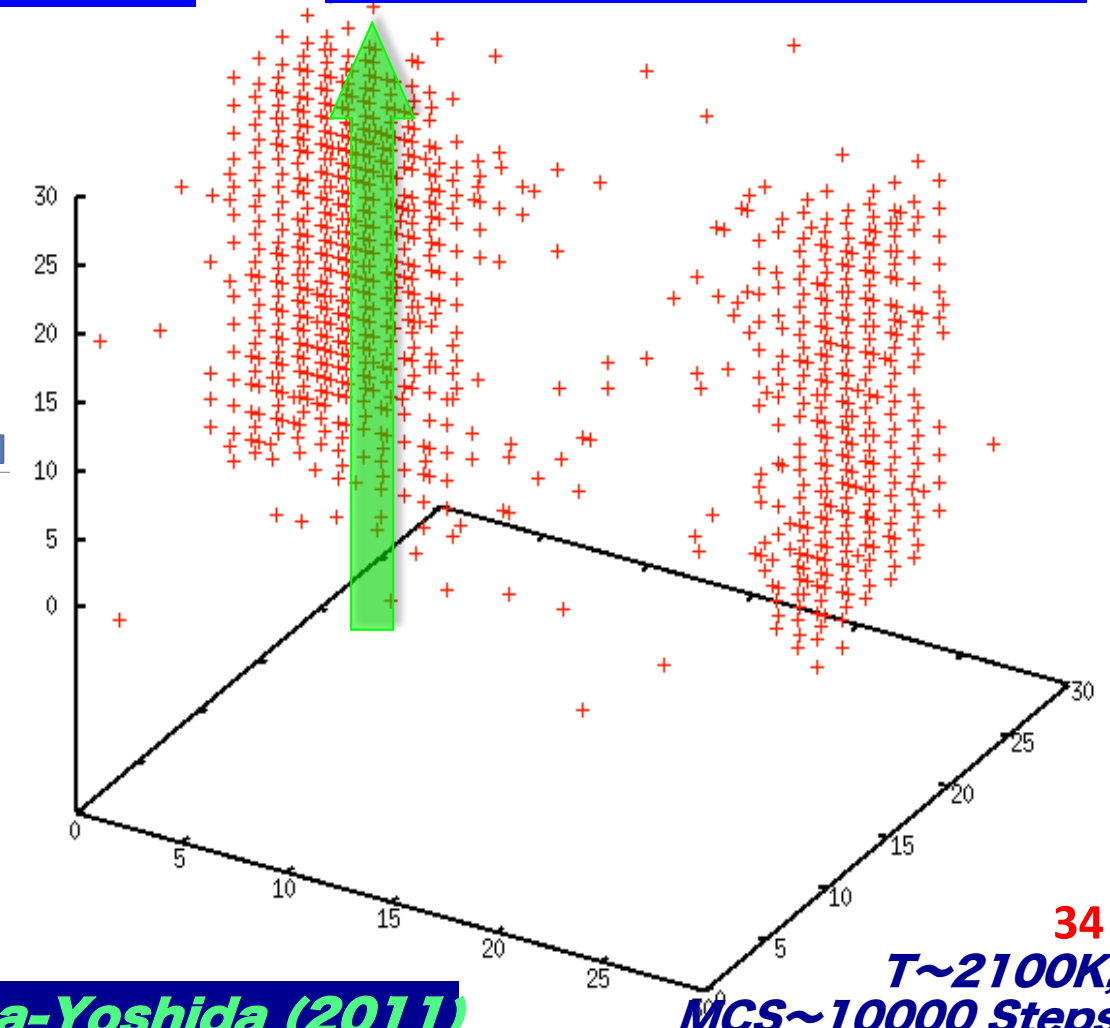
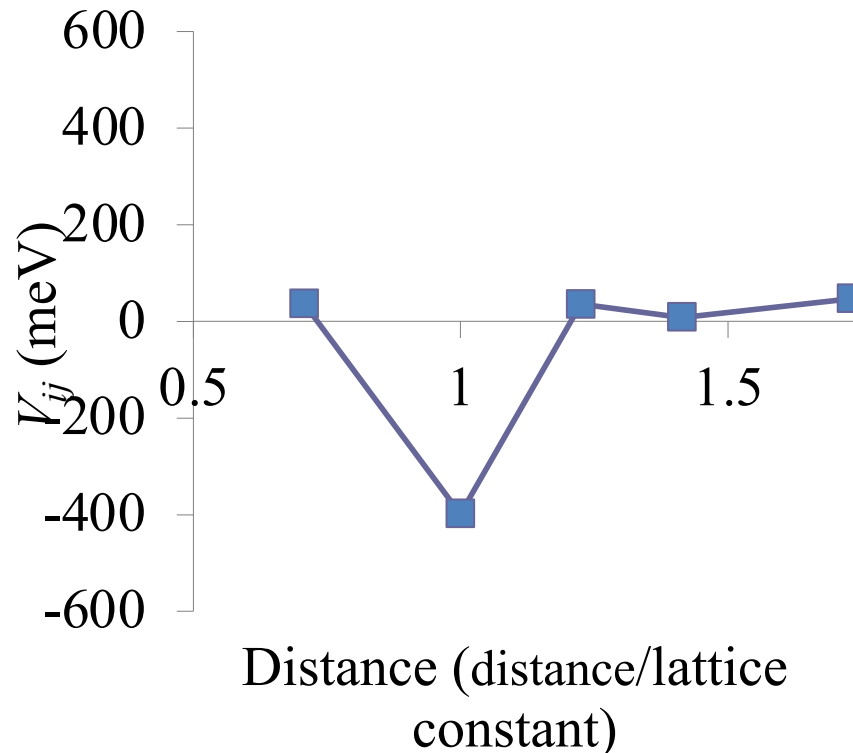


■ M. Seike, K. Sato, H. Katayama-Yoshida (2011)
6.25at%, T~2700K,
1000 Steps 33

Konbu-Phase: 2D Spinodal Nano-Decomposition in $(\text{Mg}, \text{V}_{\text{Mg}})\text{O}$

Effective Chemical Pair Interactions
between Mg Vacancies in MgO
 $V_{ij} = V_{ij}^{\text{Mg-Mg}} + V_{ij}^{\text{V-V}} - 2V_{ij}^{\text{V-Mg}}$

$$\mathcal{H} = \sum_{i>j} V_{ij} \sigma_i \cdot \sigma_j$$



Experimental Verification : 2010

PHYSICAL REVIEW B 82, 024405 (2010)

Ferromagnetism in transparent thin films of MgO

C. Martínez-Boubeta,¹ J. I. Beltrán,² Ll. Balcells,³ Z. Konstantinović,³ S. Valencia,⁴ D. Schmitz,⁴ J. Arbiol,^{3,5} S. Estrade,¹ J. Cornil,² and B. Martínez^{3,*}

¹*IN2UB and Departament d'Electrònica, Universitat de Barcelona, 08028 Barcelona, Spain*

²*Laboratory for Chemistry of Novel Materials, Université de Mons-Hainaut, 7000 Mons, Belgium*

³*Instituto de Ciencia de Materiales de Barcelona (ICMAB), CSIC, Campus UAB, 08193 Bellaterra, Spain*

APPLIED PHYSICS LETTERS 96, 232505 (2010)

Room temperature ferromagnetism in pristine MgO thin films

C. Moyses Araujo,^{1,2} Mukes Kapilashrami,¹ Xu Jun,^{1,3} O. D. Jayakumar,^{1,4} Sandeep Nagar,¹ Yan Wu,¹ Cecilia Århammar,^{2,5} Börje Johansson,^{2,5} Lyubov Belova,¹ Rajeev Ahuja,^{2,5} Gillian A. Gehring,⁶ and K. V. Rao^{1,a)}

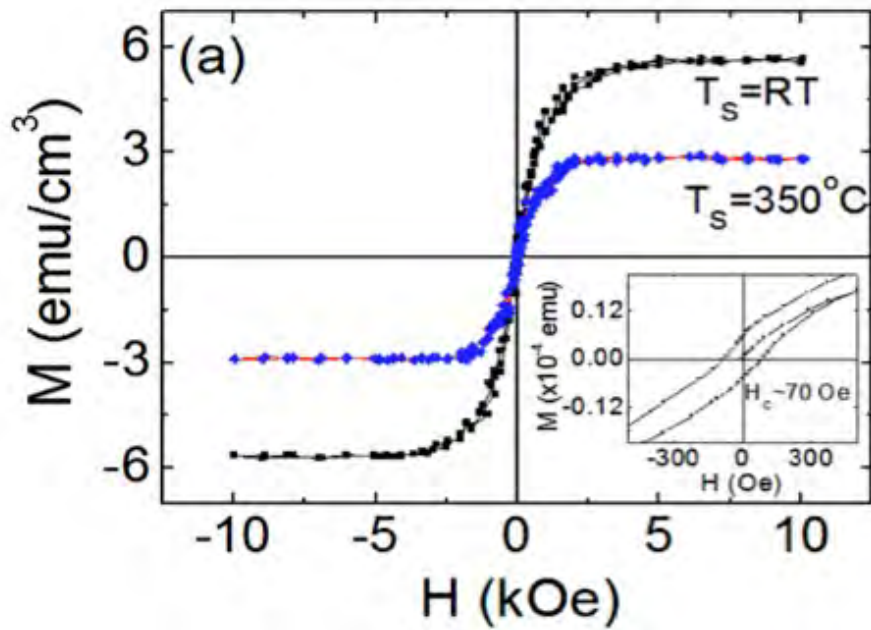
¹*Department of Materials Science, Tmfy-MSE, Royal Institute of Technology, SE100 44 Stockholm, Sweden*

²*Department of Physics and Astronomy, Condensed Matter Theory Group, Uppsala University, Box 516, S-751 20 Uppsala, Sweden*

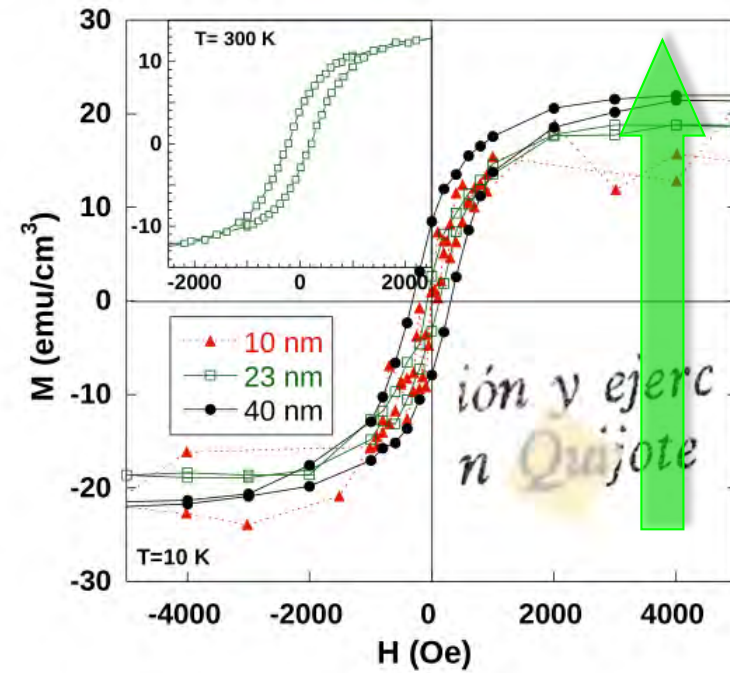
The existence of ferromagnetism has been experimentally reported in undoped (pristine) MgO with no magnetic elements.

Transparent & Super-paramagnetic pristine $(\text{Mg}, \text{V}_{\text{Mg}})\text{O}$ thin films : 2010

1 at.% V_{Mg} ($T_s = \text{RT}$)



4 at.% V_{Mg}



A New Class of Bottom-up Nanotechnology

Spinodal Nanotechnology

X Semiconductor Nano-Spintronics

□ Semiconductor Nano-Spincaloritronics

□ Spinodal Thermoelectric-Power Materials

□ High-efficient Nano-Spinodal LED & LASER

□ Nanocatalyst for Automotive Gas-Emission

□ Nano-Spinodal Photovoltaic Solar Cells

□ Hydrogen Photosynthesis Nanocatalyst

□ Semiconductor-DMS Hydrogen Storage

□ High- T_c Nano-Superconductors

□ Nanocatalyst for Fuel Cells

□ Multi-ferroic Nanocomposites

□ Spinodal Nano-Quantronics

□ Spinodal Nano-Moltronics

□ Spinodal Nano-Water-Splitting

Part 【2】

■ 超高効率エネルギー変換スピノーダル・ナノテクノロジー

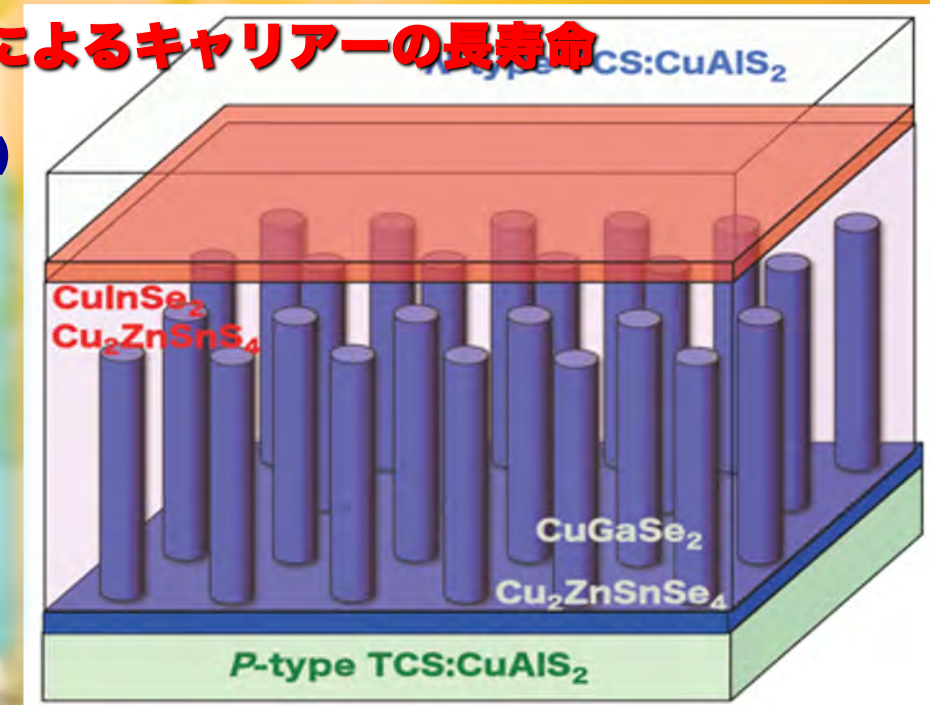
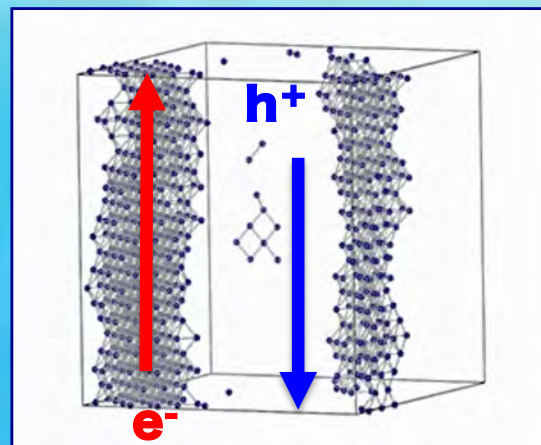
＜超低成本・超高効率太陽電池＞

(1) 自己修復機構をビルト・インした不老不死の太陽電池

(2) スピノーダル・ナノ分解による自己組織化ナノ超構造

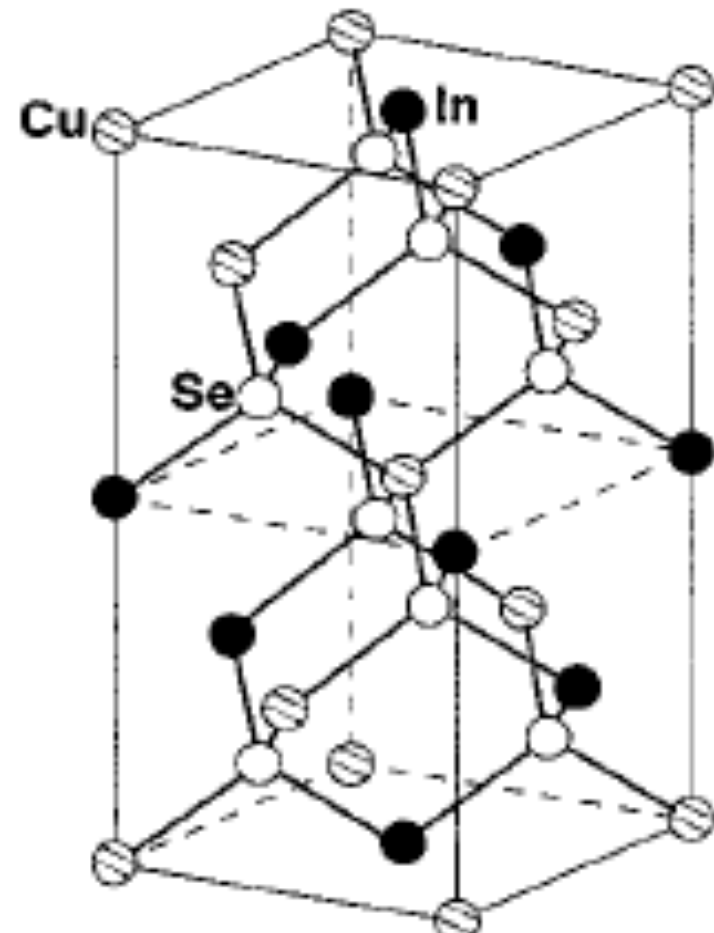
(3) 電子・正孔の超高速分離によるキャリアーの長寿命化

自己組織化ナノ超構造（昆布相）

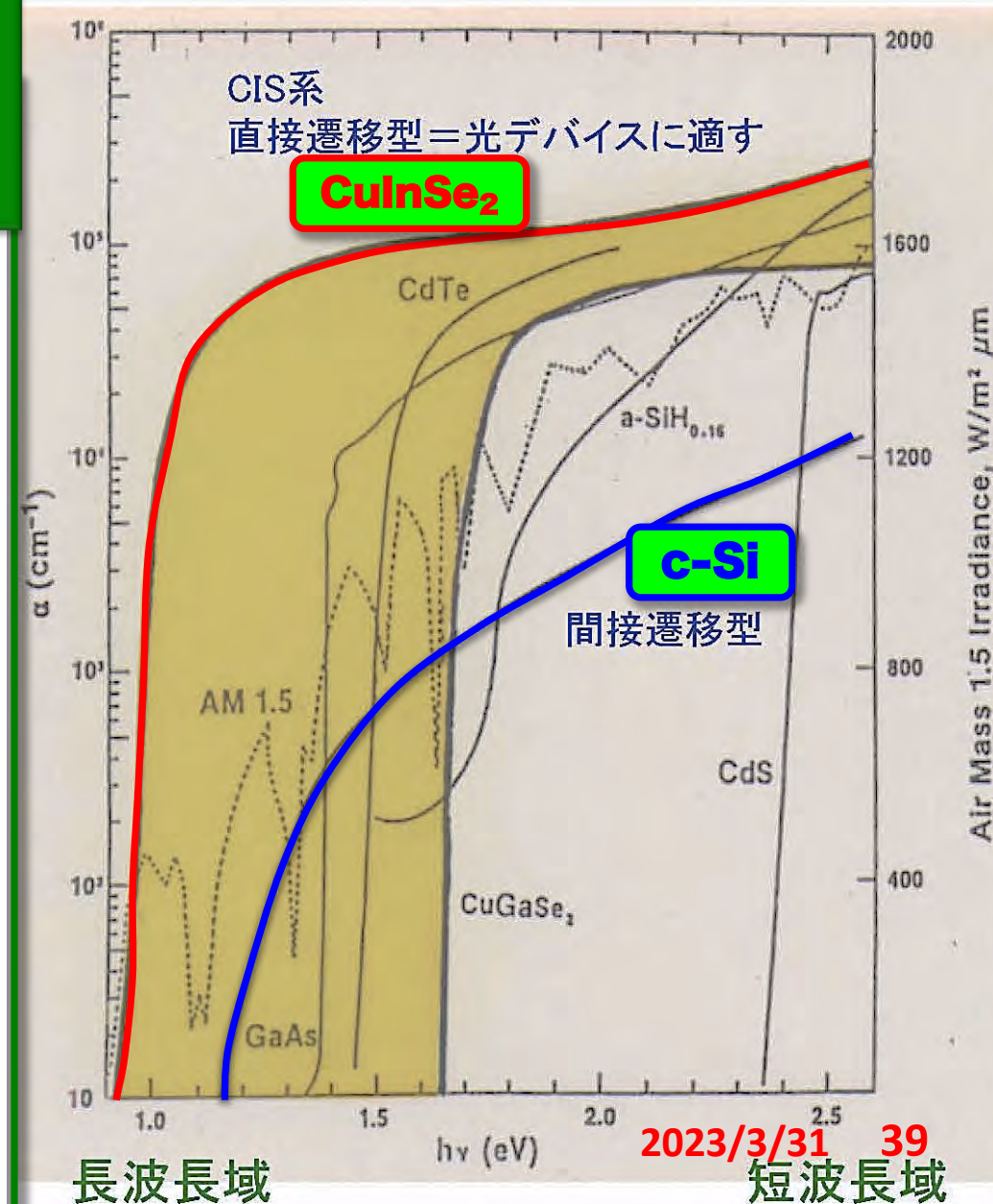


ダイヤモンド・ミューテーション：Chalcopyrite CuInSe₂

Diamond Mutation
 $Zn_2Se_2 \rightarrow CuInSe_2$
($2Zn^{2+} \rightarrow Cu^+ + In^{3+}$)

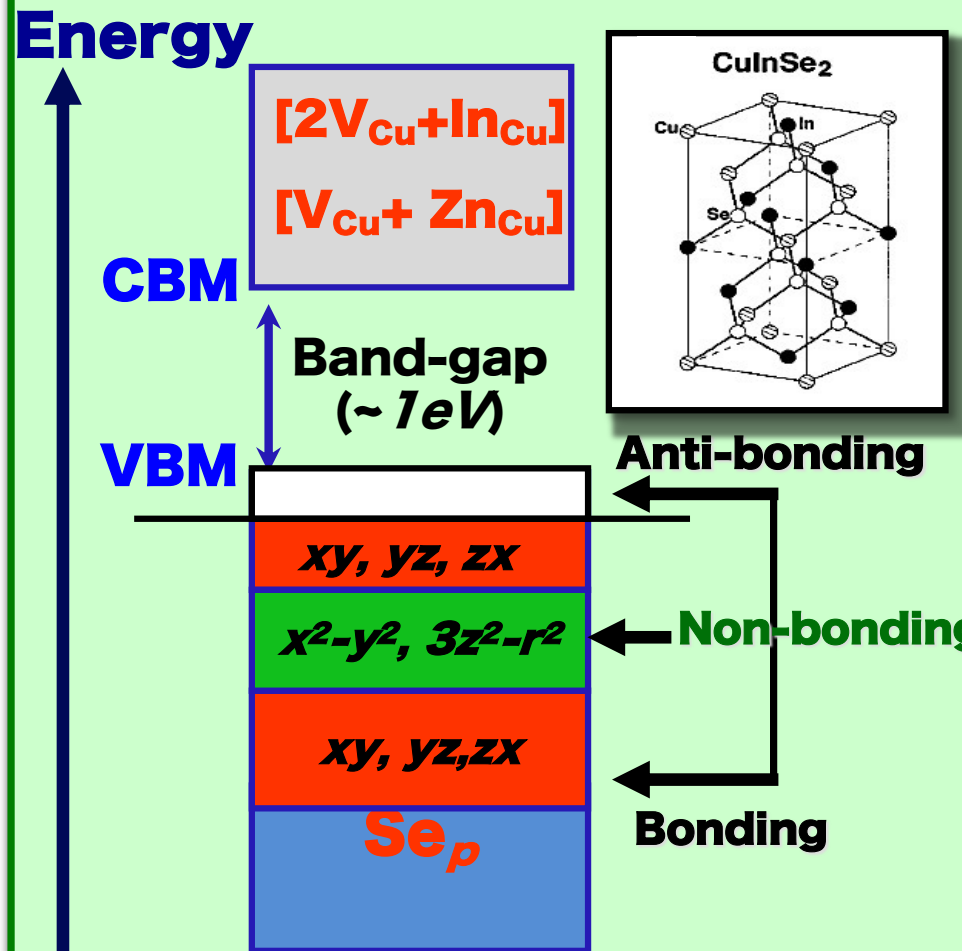


2023/3/31

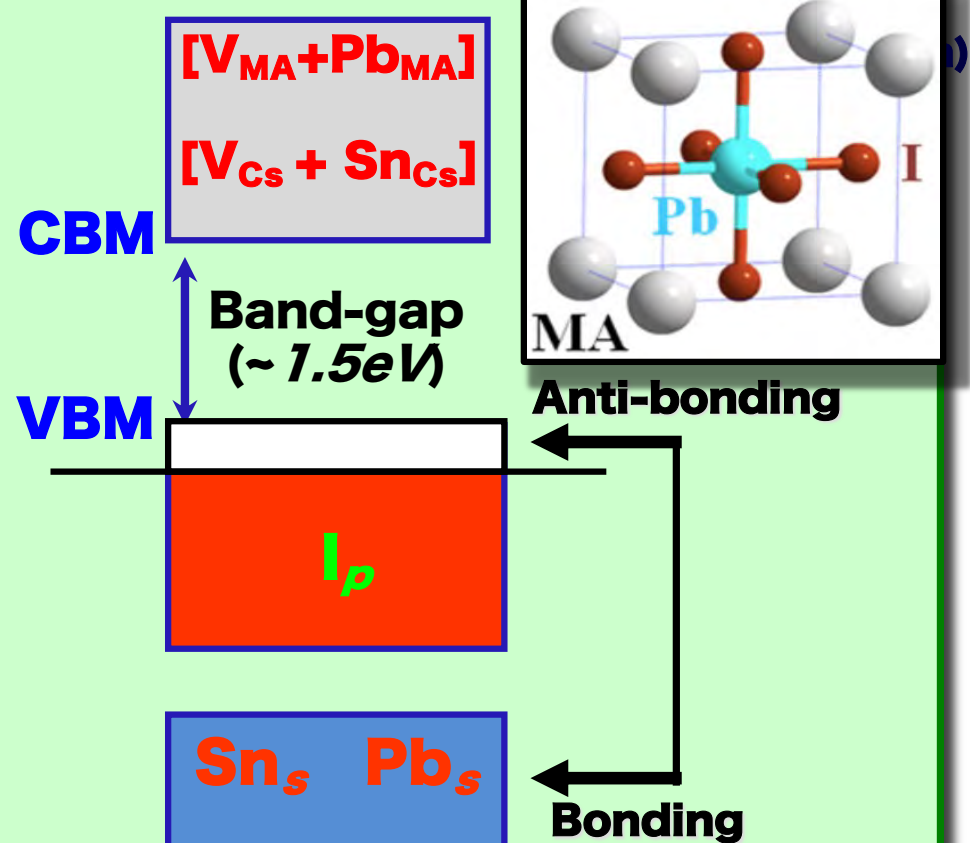


自己修復機構(Codoping)：反結合状態が電子で占有 チャルコパイライト, ケステライト, ペロブスカイト共通の電子状態

チャルコパイライト : CuInSe_2
ケステライト : $\text{Cu}_2\text{ZnSnSe}_4$



ペロブスカイト : CsSnI_3 ,
 $(\text{CH}_3\text{NH}_3)\text{PbI}_3$,
 $\text{CH}(\text{NH}_2)_2\text{PbI}_3$

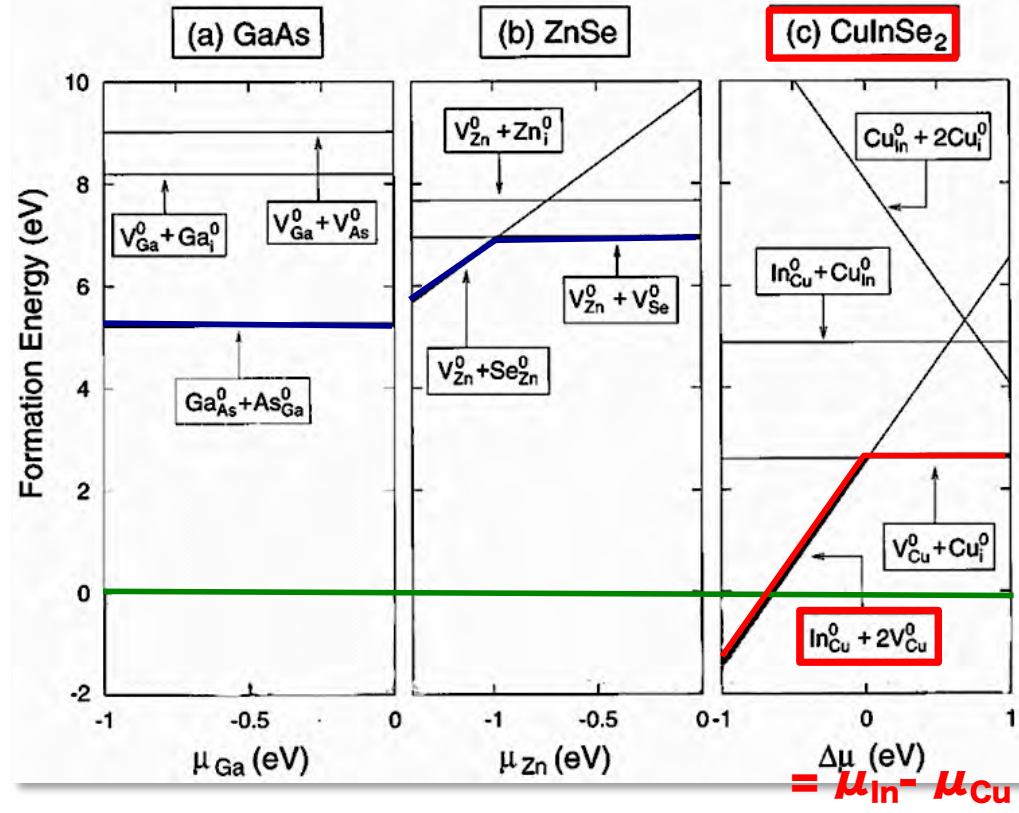


■ Yamamoto, Katayama-Yoshida, *JJAP*, 38 (1999) L166. [ISI: 362]
■ Zhang, Wei, Zunger, Katayama-Yoshida, *Phys. Rev. B* 57 (1998) 9642. [ISI: 653]

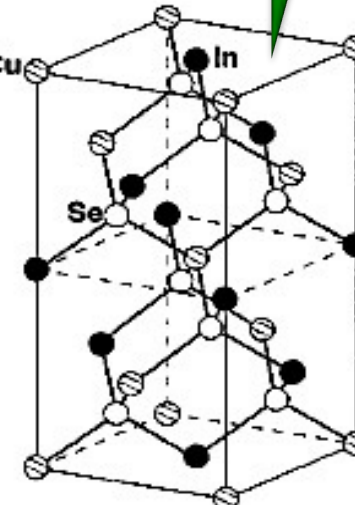
■CuInSe₂における自己修復機構[2V_{Cu} + In_{Cu}]のための 結晶成長条件 (Cu-poor & In-rich)

自己修復による低コスト化と高効率化のデザイン

$\eta = 22.3\% \quad (12/8/2015)$

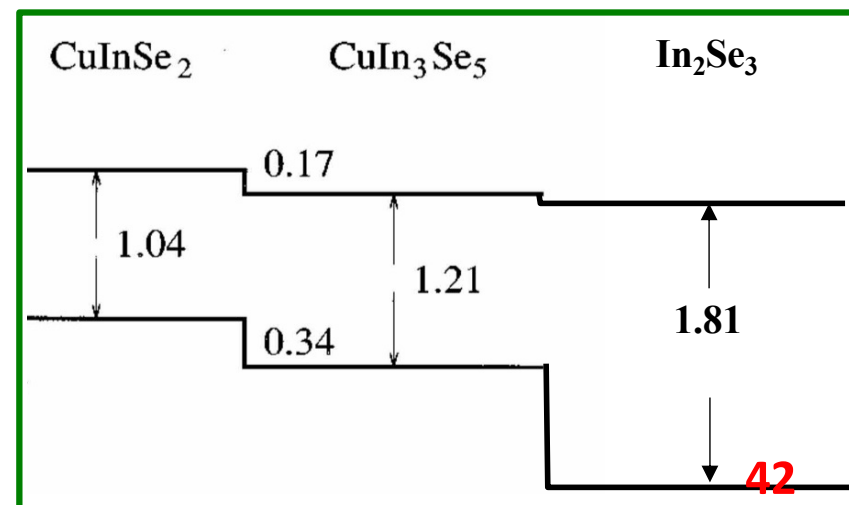
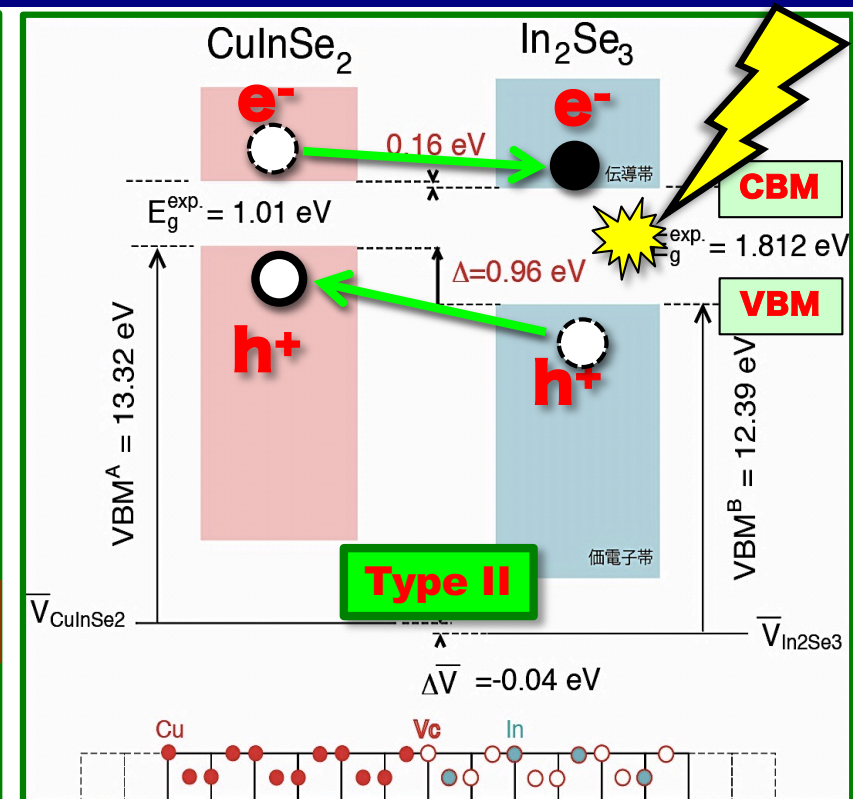
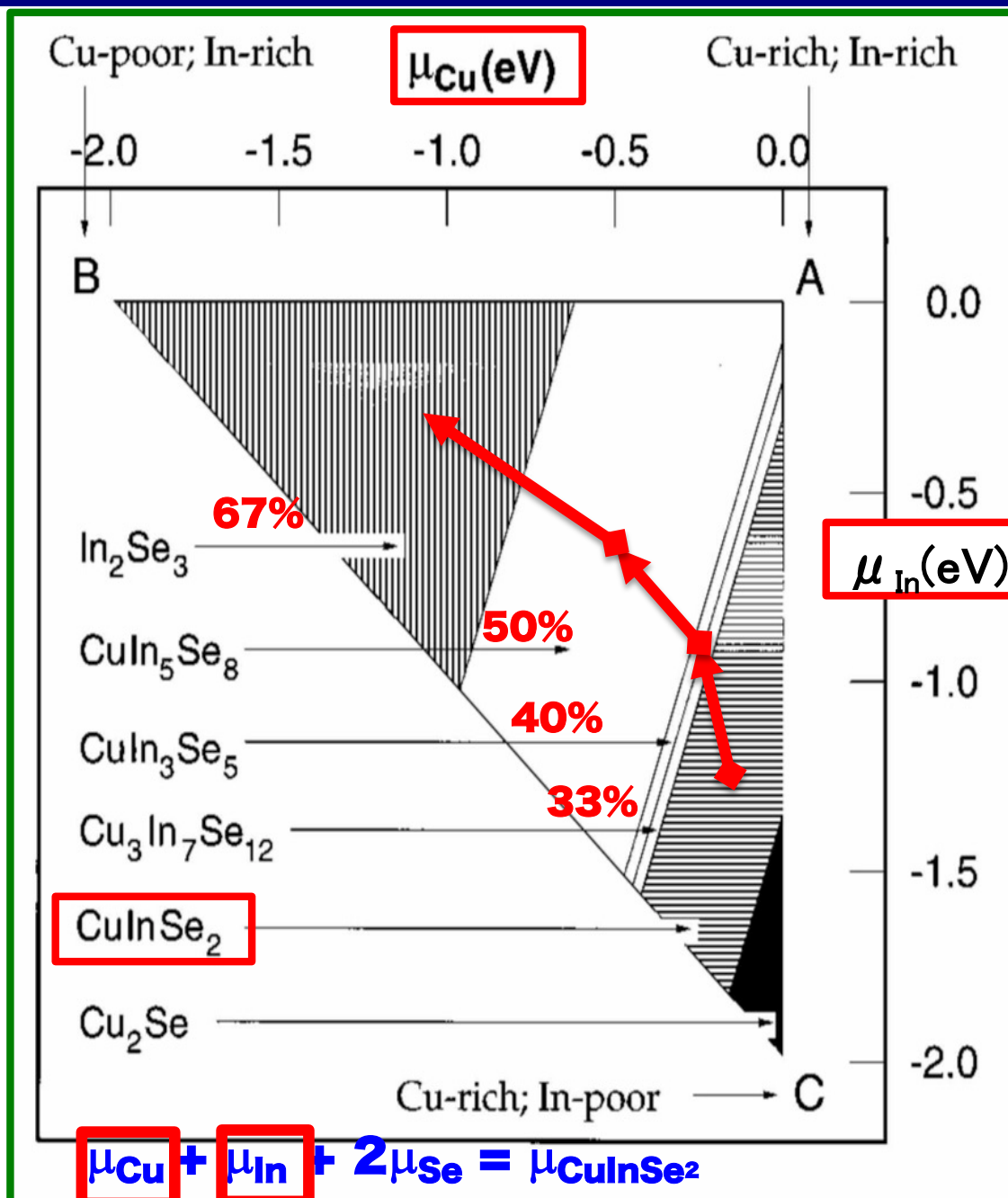


2007年
Honda Soltec
&
Solar
Frontier
CuInSe₂

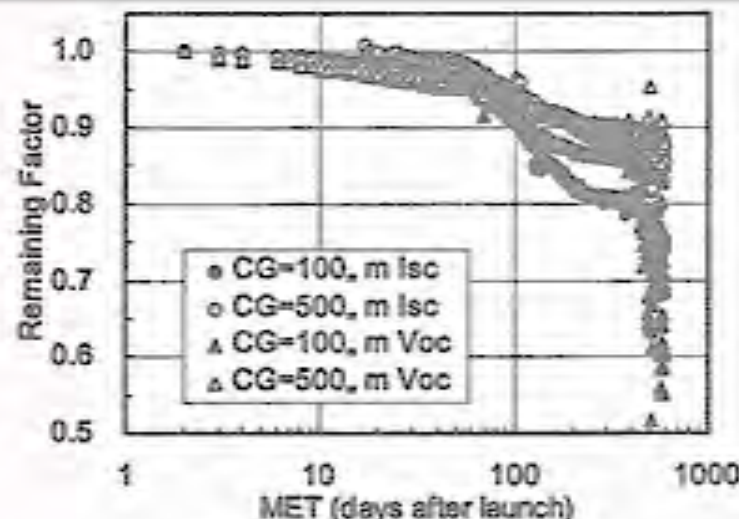


- Zhang, Wei, Zunger, Katayama-Yoshida, Phys. Rev. B 57 (1998) 9642. [ISI: 731]
- Yamamoto, Katayama-Yoshida, J. Crystal Growth, 214 (2000) 552. [ISI: 88]
- Yamamoto, Katayama-Yoshida, JJAP, 38 (1999) L166. [ISI: 376]
- Yamamoto, Katayama-Yoshida, PHYSICA B, 302 (2001) 115. [ISI: 129]

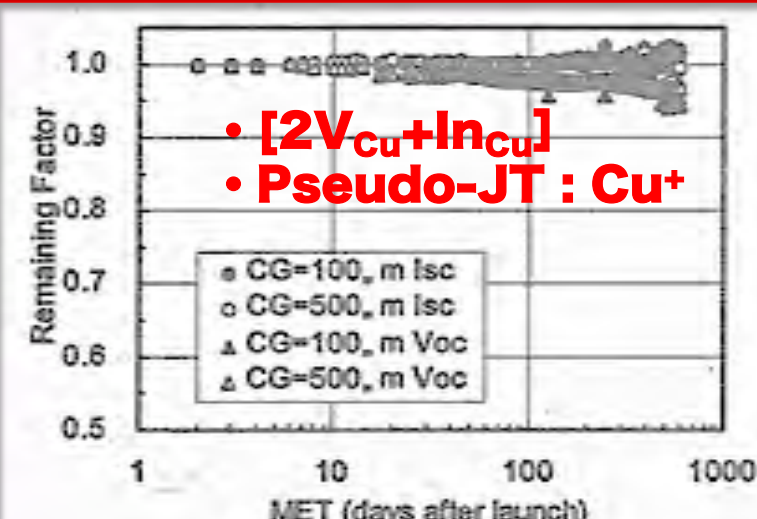
■自己修復機構 : $[2V_{Cu} + In_{Cu}]$
CuInSe₂, Cu₃In₇Se₁₂, CuIn₃Se₅, CuIn₅Se₈ & In₂Se₃



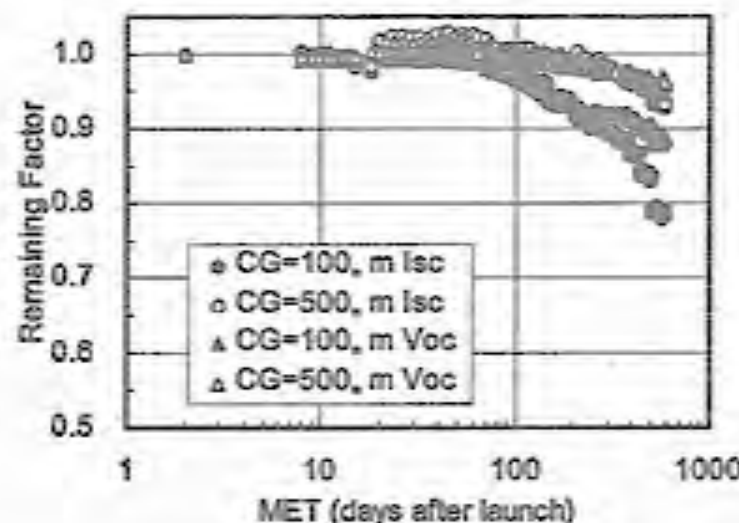
バン・アレン帯宇宙線放射損傷下での自己修復機構の実証実験 JAXA・「つばさ」： Cu(In,Ga)Se₂



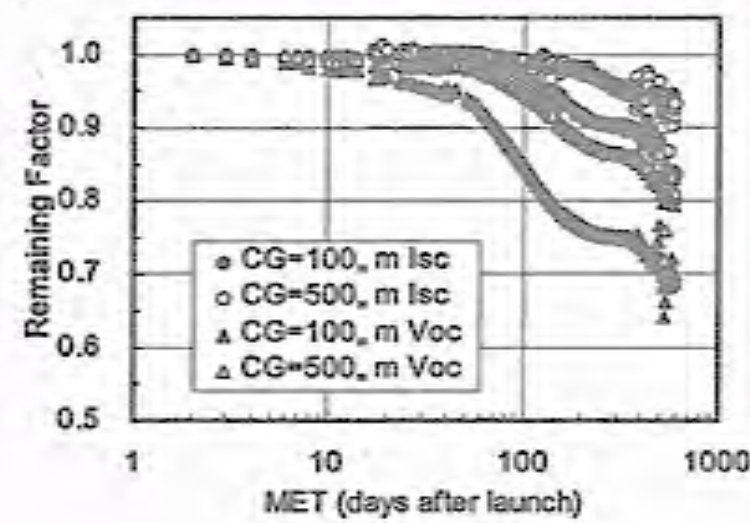
(b) バルク多結晶 Si 太陽電池



(e) 大面積 Cu(InGa)Se₂ 太陽電池



(d) InGaP/GaAs タンデム 2 接合太陽電池



(g) 宇宙用単結晶 Si 太陽電池 (10 Ω cm)

My Parent's Country House (岡山吉備中央町・下加)



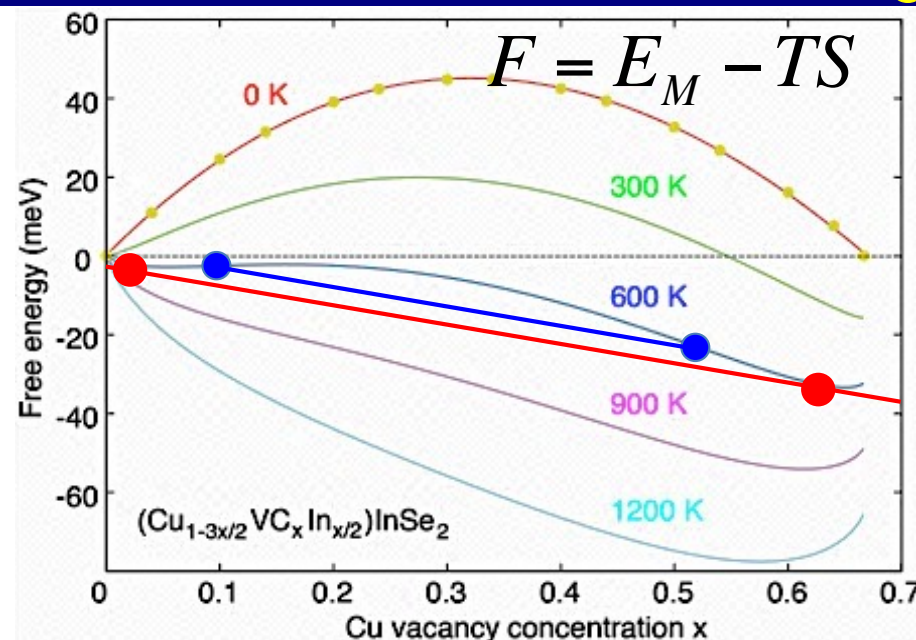
Buy : 7 Yen/kW・h
Sell : 42 Yen/kW・h



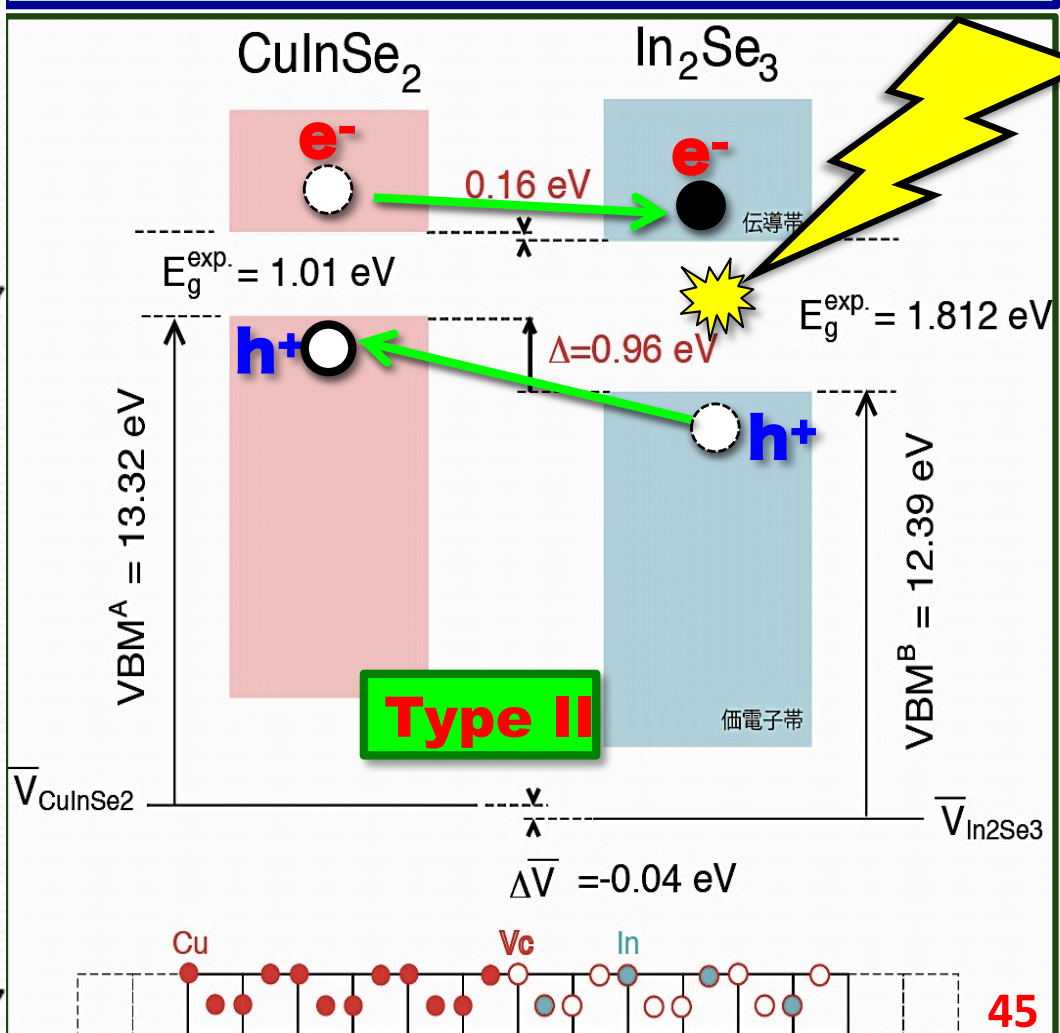
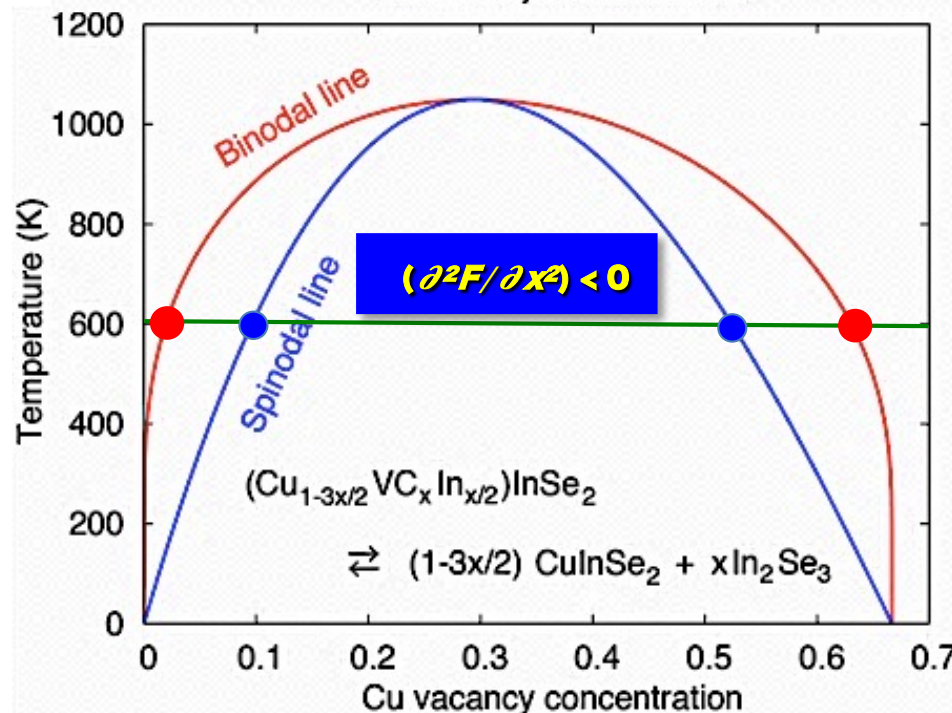
2023/3/31

44

CuInSe₂の自己修復とスピノーダル・ナノ分解の同時発現： [2V_{Cu} + In_{Cu}]



$$E_M = E[Cu_{1-\frac{3}{2}x} Vc_x In_x InSe_2] - \left(1 - \frac{3x}{2}\right) E[CuInSe_2] - \frac{3x}{2} E[In_2Se_3]$$



スピノーダル・ナノ分解: Tani et al.,(2010) : Cu(In,Ga)S₂ & Cu₂ZnSn(S,Se)₄

Mixing Energy : ΔE

$$\Delta E [\text{CIGS}] = E[\text{Cu}(\text{In}_{1-x}\text{Ga}_x)\text{Se}_2]$$

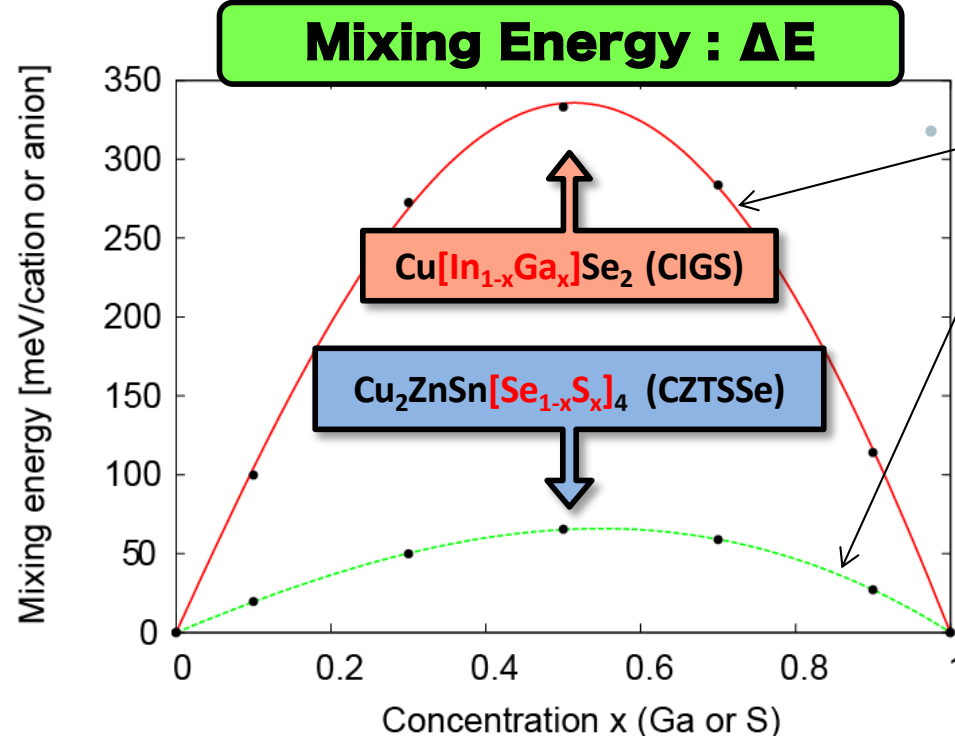
$$\Delta E [\text{CZTSSe}] = E[\text{Cu}_2\text{ZnSn}(\text{Se}_{1-x}\text{S}_x)_4]$$

Mixed States

$$(1-x) E[\text{CuInSe}_2] + x E[\text{CuGaSe}_2]$$

$$(1-x) E[\text{Cu}_2\text{ZnSnS}_4] + x E[\text{Cu}_2\text{ZnSnSe}_4]$$

Phase Separated States



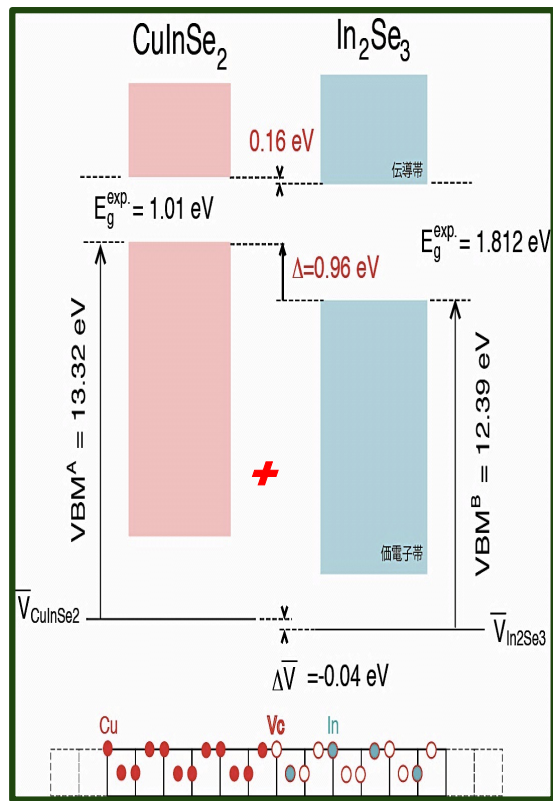
Positive and Convex upward ΔE

Spinodal Nano-decomposition.

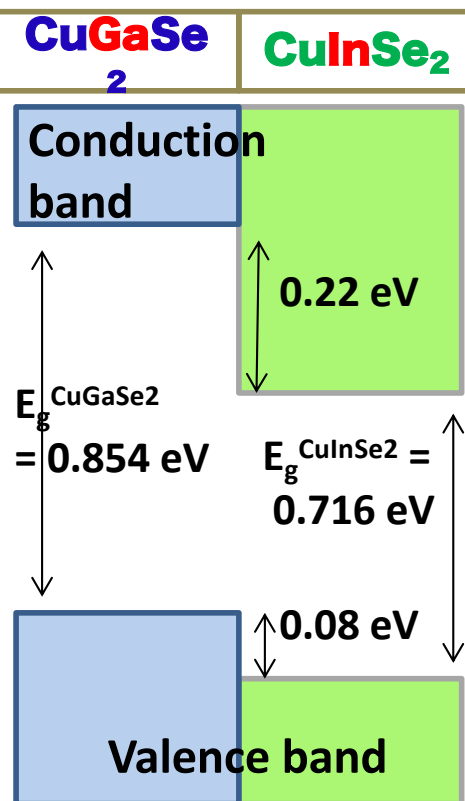


自己組織化ナノ超構造によるType II バンド構造： キャリアーの超高速分離と長寿命化

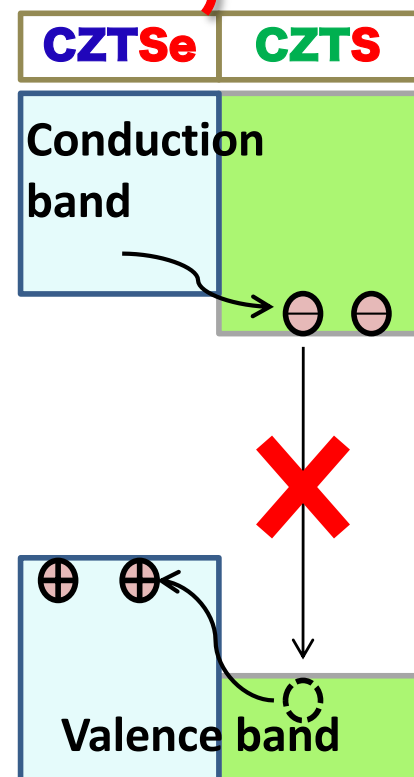
**Chalcopyrite:
(Cu,V_{Cu})**



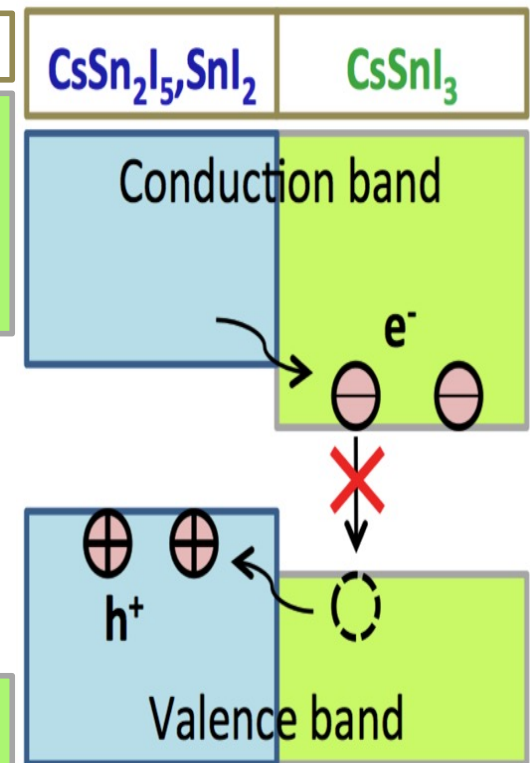
**Chalcopyrite:
(Ga,In)**



**Kesterite:
(Zn,V_{Cu}),(S,Se)**



**Perovskite:
(Cs,V_{Cs}), (Pb,V_{MA})**

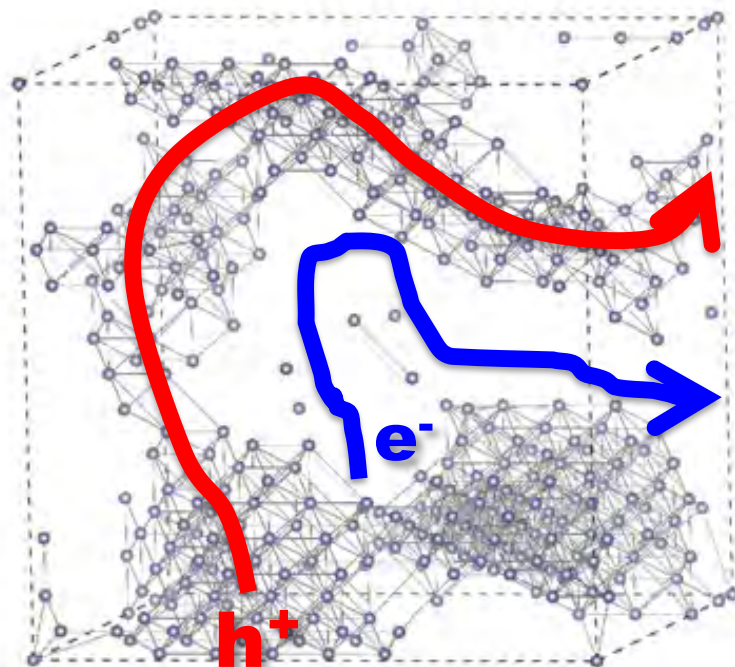


■非平衡状態の結晶成長: → スピノーダル・ナノ分解 (e⁻と h⁺ の高速分離)

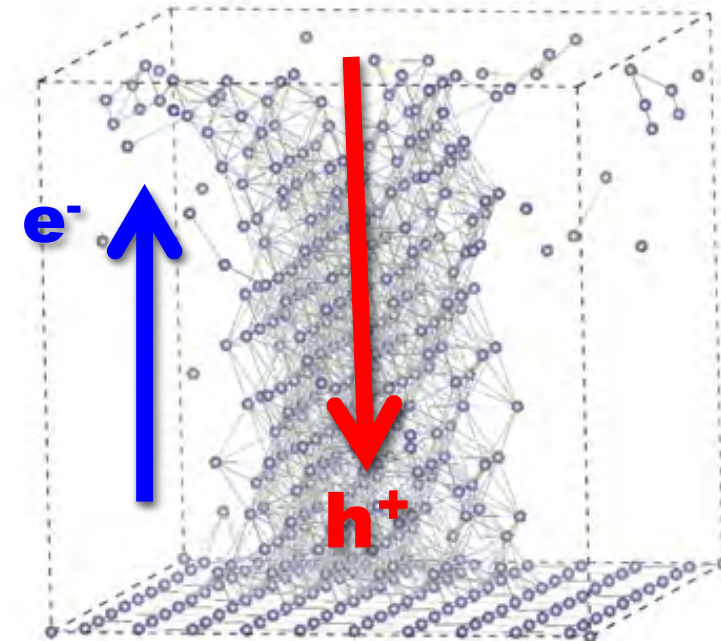
■熱平衡状態: → 核形成を伴う相分離 (バイノーダル分解)

スピノーダル・ナノ分解 : $\text{Cu}(\text{In}_{1-x}\text{Ga}_x)\text{Se}_2$ $X_{\text{Ga}}=15\%$
Tani, Sato et al., APEX, (2012)

ナノスケール・サイズでのType II半導体による e^- と h^+ の超高速分離



3次元結晶成長
大理石相



2次元結晶成長
昆布相

- *Sato, Katayama-Yoshida, Dederichs, JJAP, 44 (2005) L948.*
- *Fukushima, Sato, et al., JJAP, 44 (2005) L948.*
- *Sato, Bergqvist et al., Rev. Mod. Phys. 82 (2010) 1633.*
- *Dietl, Sato, Fukushima et al., Rev. of Mod. Phys. 87 (2015).*

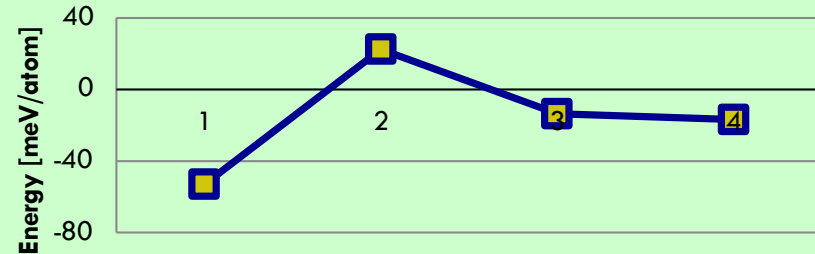
自己修復[V_{Cu}+Zn_{Cu}]とスピノーダル・ナノ分解：Cu₂ZnSn(Se,S)₄

Cu₂ZnSn(Se_{1-x}S_x)₄ X_S=0.15

化学的対相互作用：

$$V_{ij} = V_{ij}^{S-S} + V_{ij}^{Se-Se} - 2V_{ij}^{S-}$$

Se



イジング・モデル

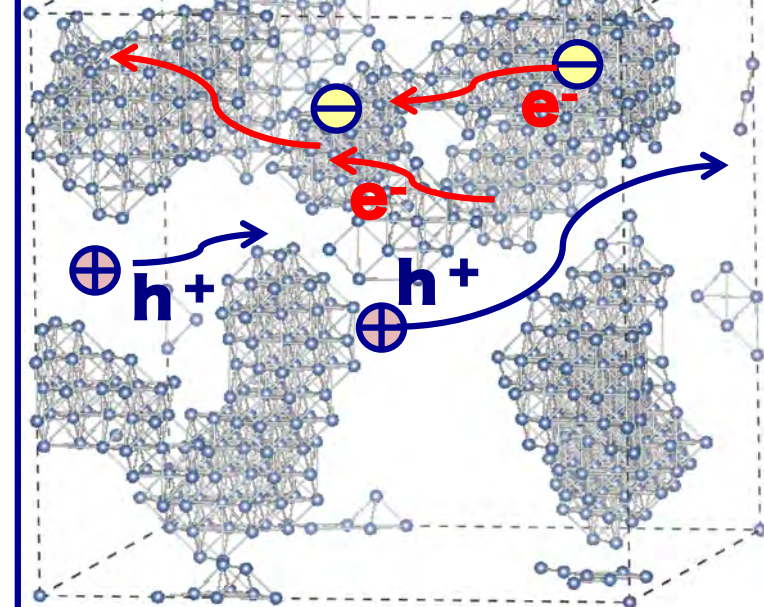
$$H = -\frac{1}{2} \sum_{i \neq j} V_{ij} \sigma_i \sigma_j$$

V_{ij} : pair interaction

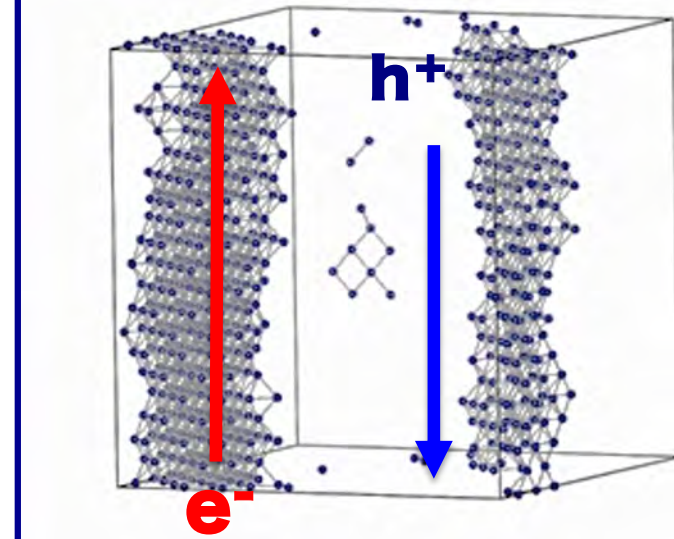
σ_i : occupation number

Y. Tani et al., J. Non-crystal. Solid. 2012.
Y. Tani et al., JJAP, 51 (2012) 050202.

3次元結晶成長（大理石相）



2次元結晶成長（昆布相）

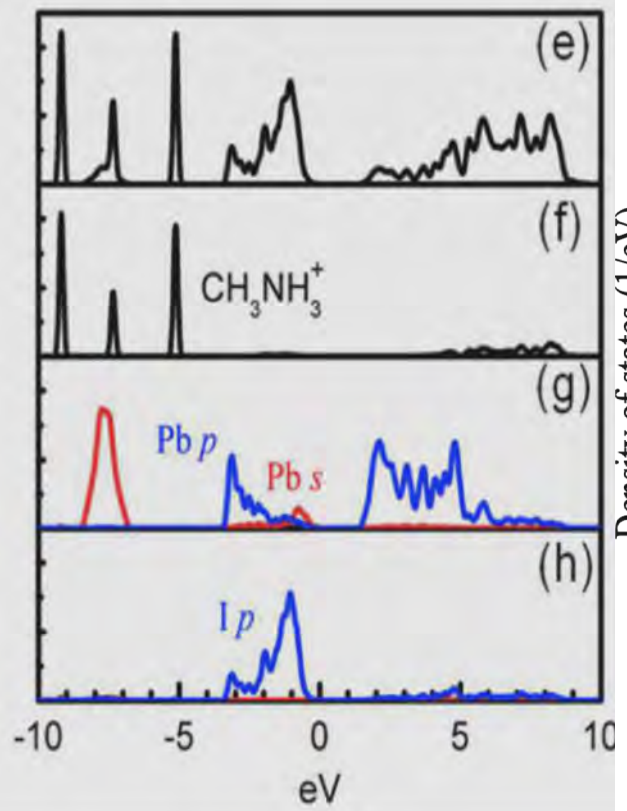


CsSnI₃, (MA)PbI₃の自己修復機構とスピノーダル・ナノ分解

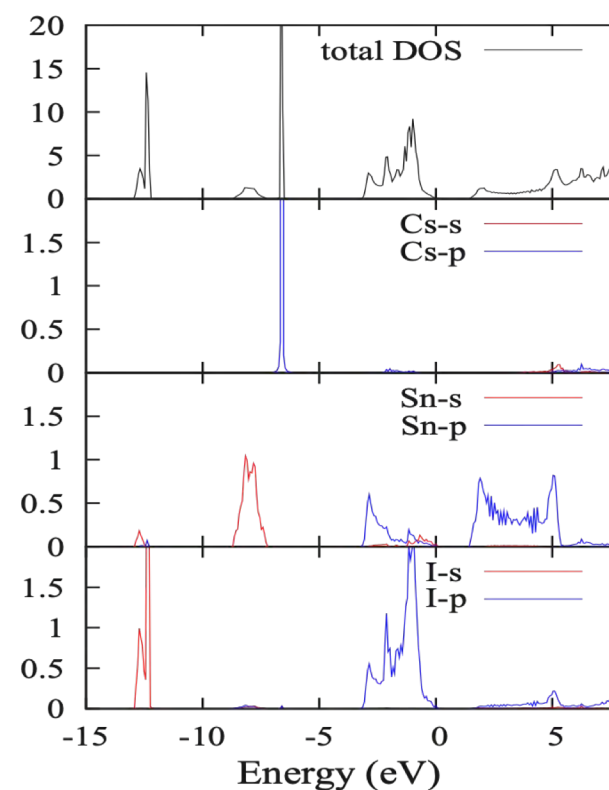
T. Kishida, T. Fukushima, K. Sato, H. Katayama-Yoshida, 2015.

Perovskite : (CH₃NH₃)⁺Pb²⁺(I,Cl)₃ $\eta = 20.1\% \ (\sim 24\%)$
Pb²⁺ → Sn²⁺, (CH₃NH₃)⁺ → Cs⁺

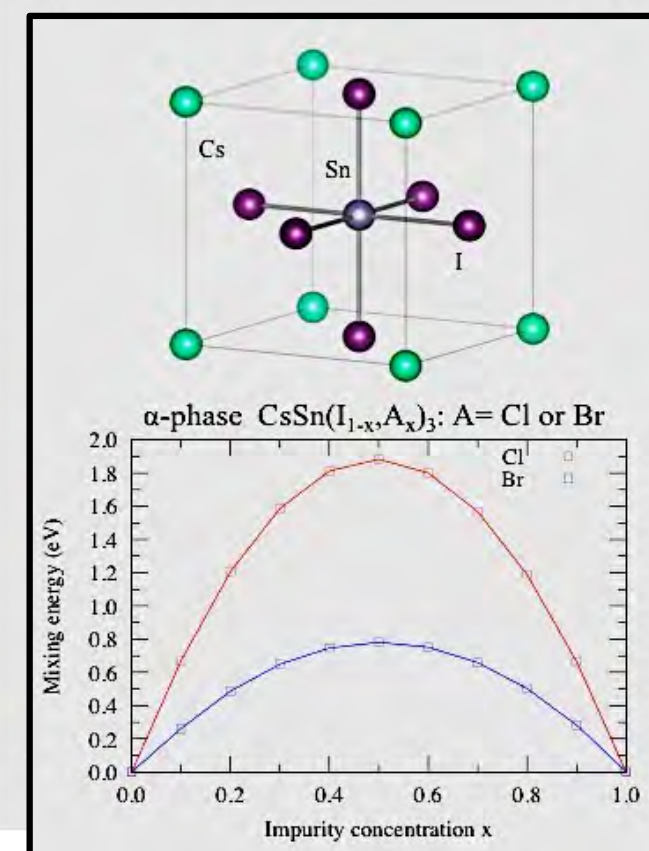
(CH₃NH₃)PbI₃ = MAPbI



CsSnI₃ = CTI



CsSn(I,Cl)₃, CsSn(I,Br)₃



Wan-Jian Yin et al. Appl. Phys. Lett. 104, 063903 (2014).

電子に占有された反結合状態 I_p 価電子帯
 → 自己修復機構 (V_{Cs}+Sn_{Cs}, V_{MA}+Pb_{MA})

Part 【3】自己再生する不老不死の排気ガス触媒



■自己再生する不老不死の自動車排気ガス三方触媒

■自動車排気ガスの清浄化

- $\text{CO} + \text{O}_2 \rightarrow \text{CO}_2$ (酸化雰囲気)
- $\text{NO}_x + \text{CO} \rightarrow \text{CO}_2 + \text{N}_2$ (還元雰囲気)
- $\text{HC} + \text{O}_2 \rightarrow \text{CO}_2 + \text{H}_2\text{O}$ (酸化雰囲気)

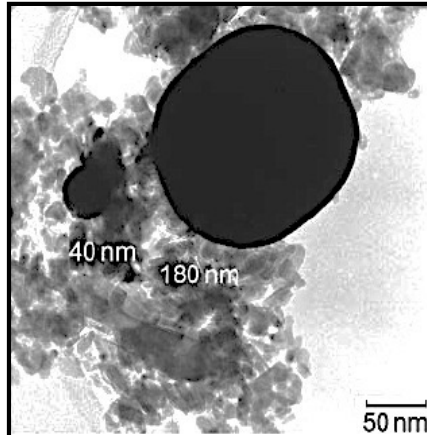
■Pt, Pd, Rh: 地域的に偏在

Pt : 南アフリカ 74%, ロシア 14%

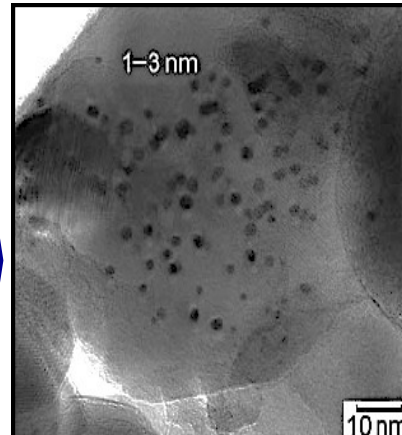
Pd : 南アフリカ 25%, ロシア 70%

Rh : 南アフリカ 67%, ロシア 17%

■焼結による触媒機能劣化の問題

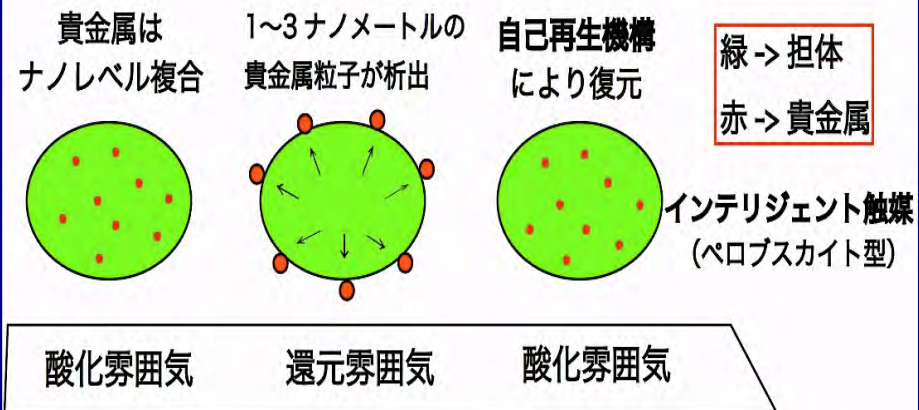


Al_2O_3 坦持では焼結のため、触媒機能が消失



$\text{CaTi}_{0.95}\text{Pt}_{0.05}\text{O}_3$

自己再生機構: インテリジェント触媒

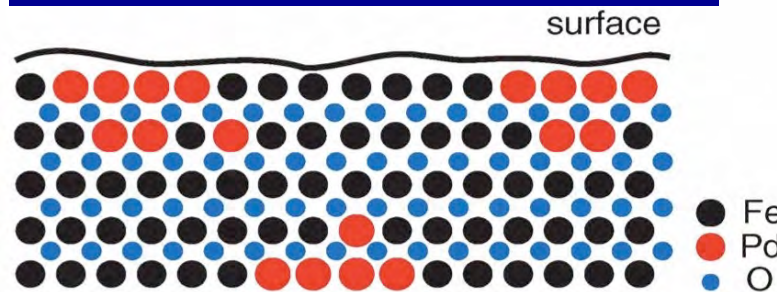


■ Y. Nishihara et al., *Nature*, 418 (2002) 164.

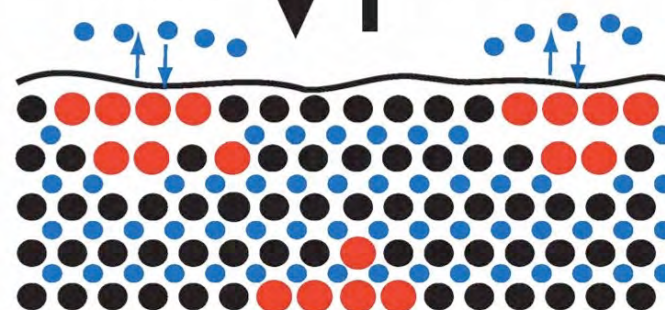
■ H. Tanaka et al., *Angew. Chem. Int. Ed.* 45 (2006) 5998 .

スピノーダル・ナノ分解による自己再生する不老不死の触媒

ペロブスカイト中の貴金属原子の固溶度は小→スピノーダル・ナノ分解



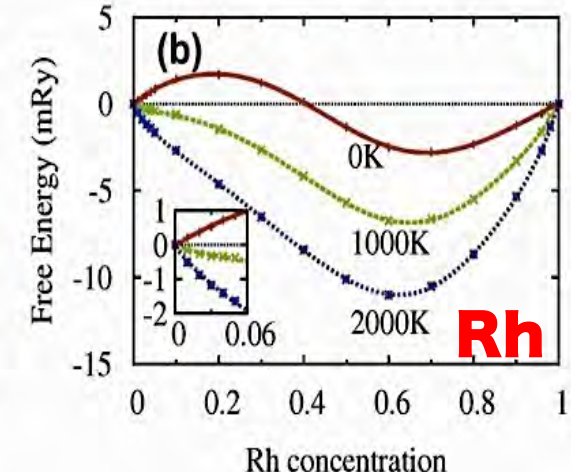
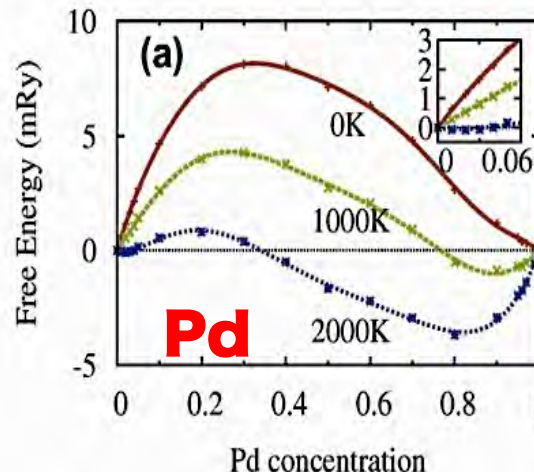
reduction condition oxydation condition



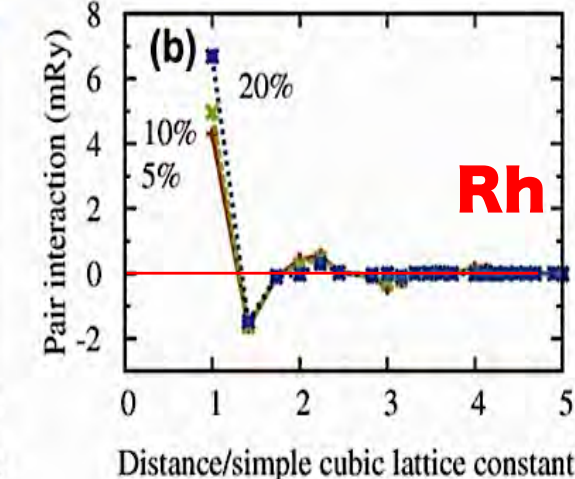
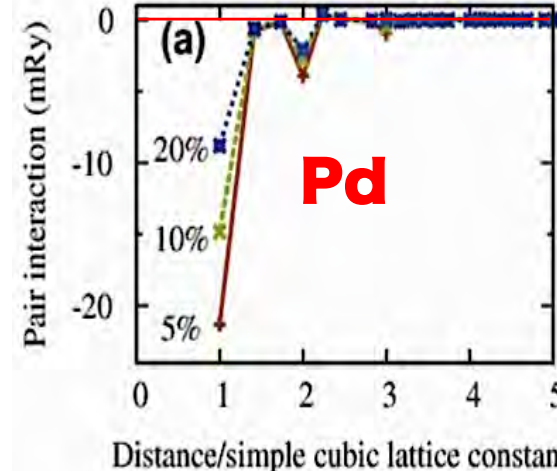
$$V_{ij} = V_{ij}^{Pd-Pd} + V_{ij}^{Fe-Fe} - 2 V_{ij}^{Pd-Fe}$$

$$V_{ij} = V_{ij}^{Rh-Rh} + V_{ij}^{Fe-Fe} - 2 V_{ij}^{Rh-Fe}$$

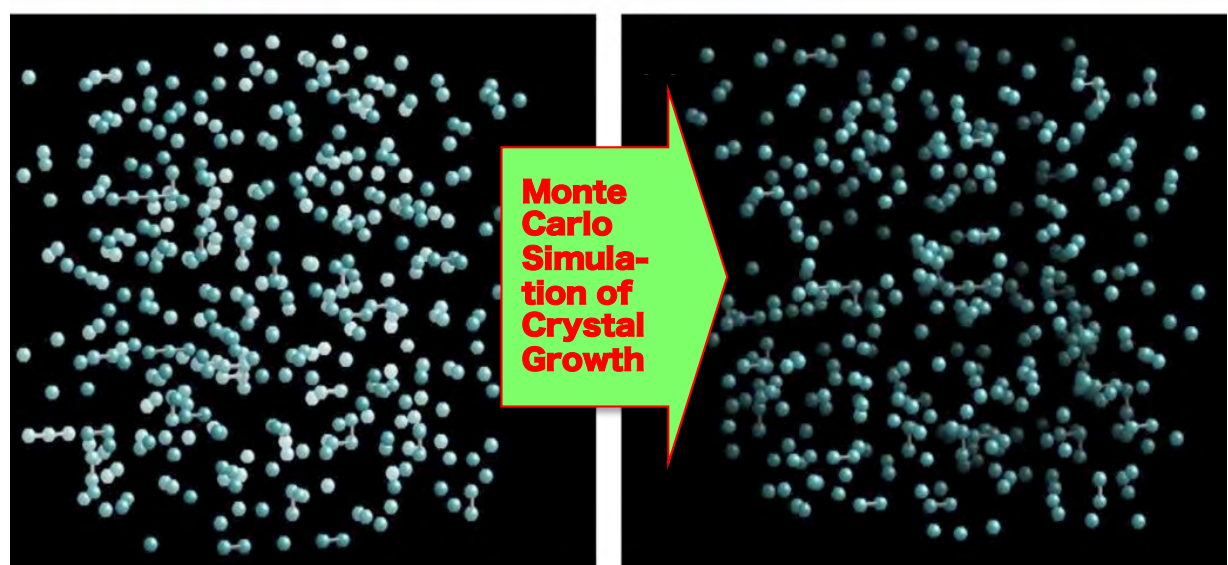
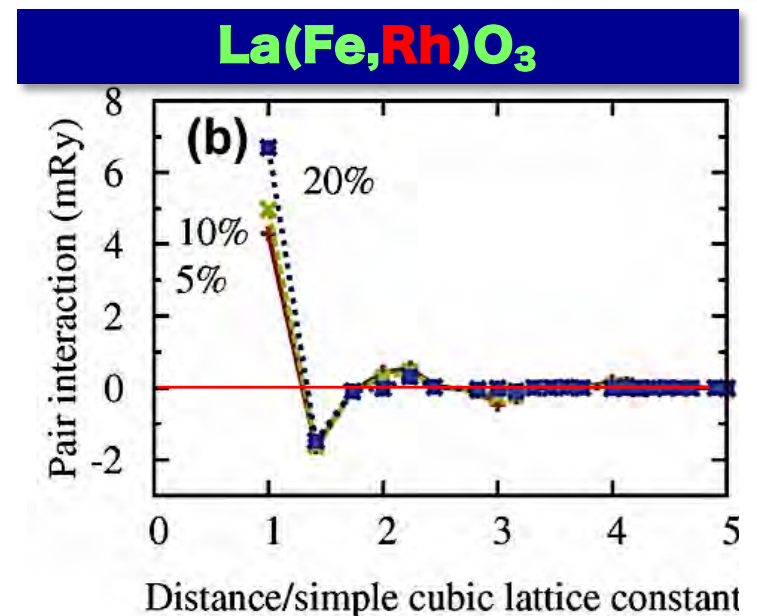
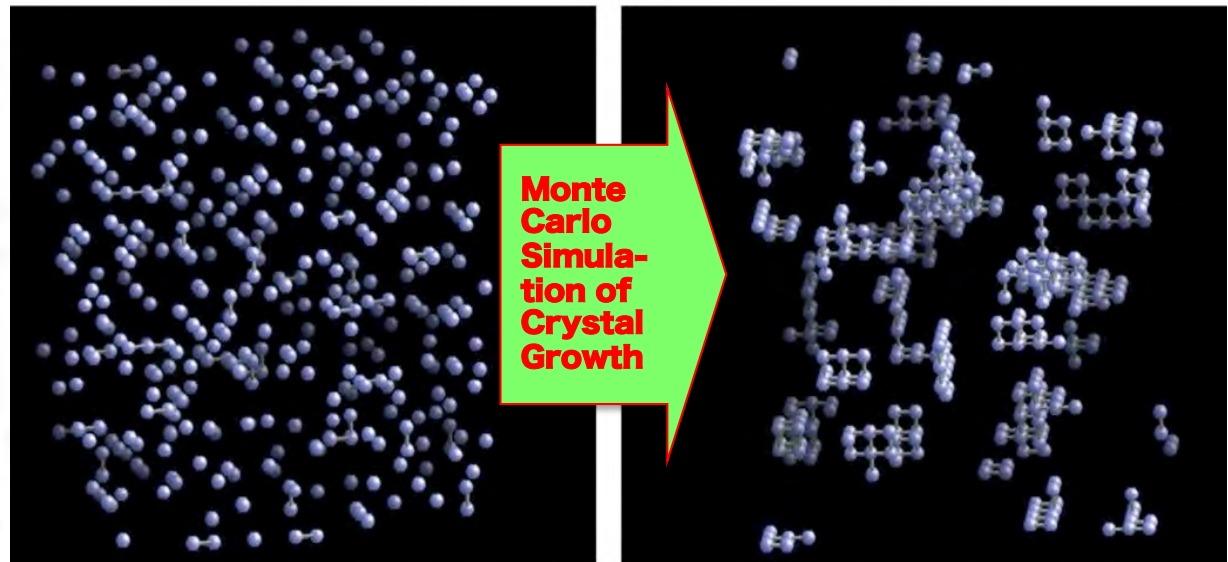
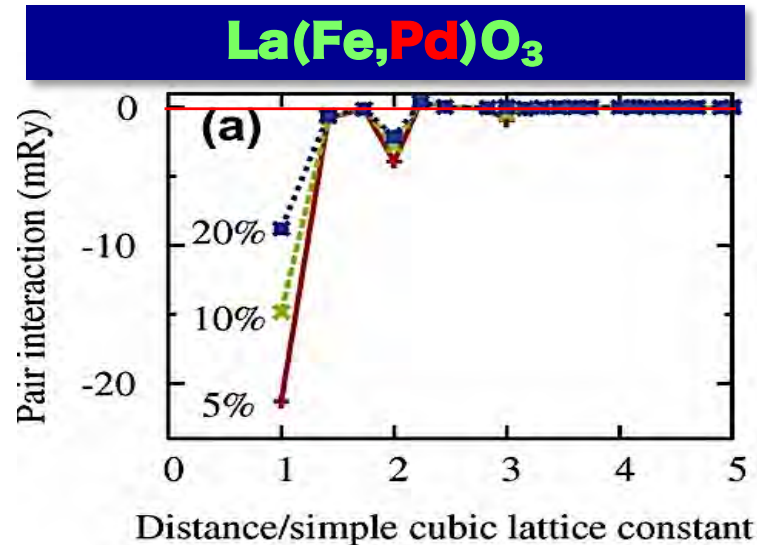
Free Energy of $\text{La}(\text{Fe}, \text{M})\text{O}_3$



Chemical Pair Interactions



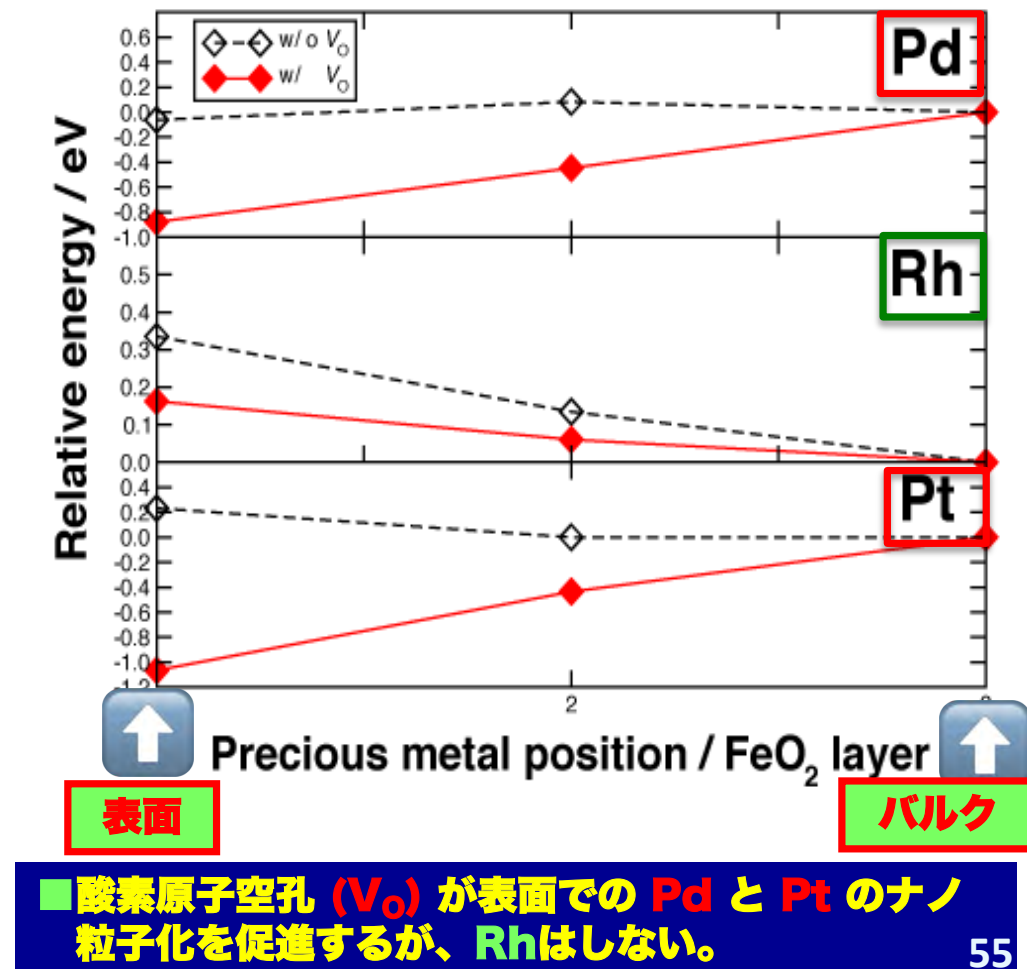
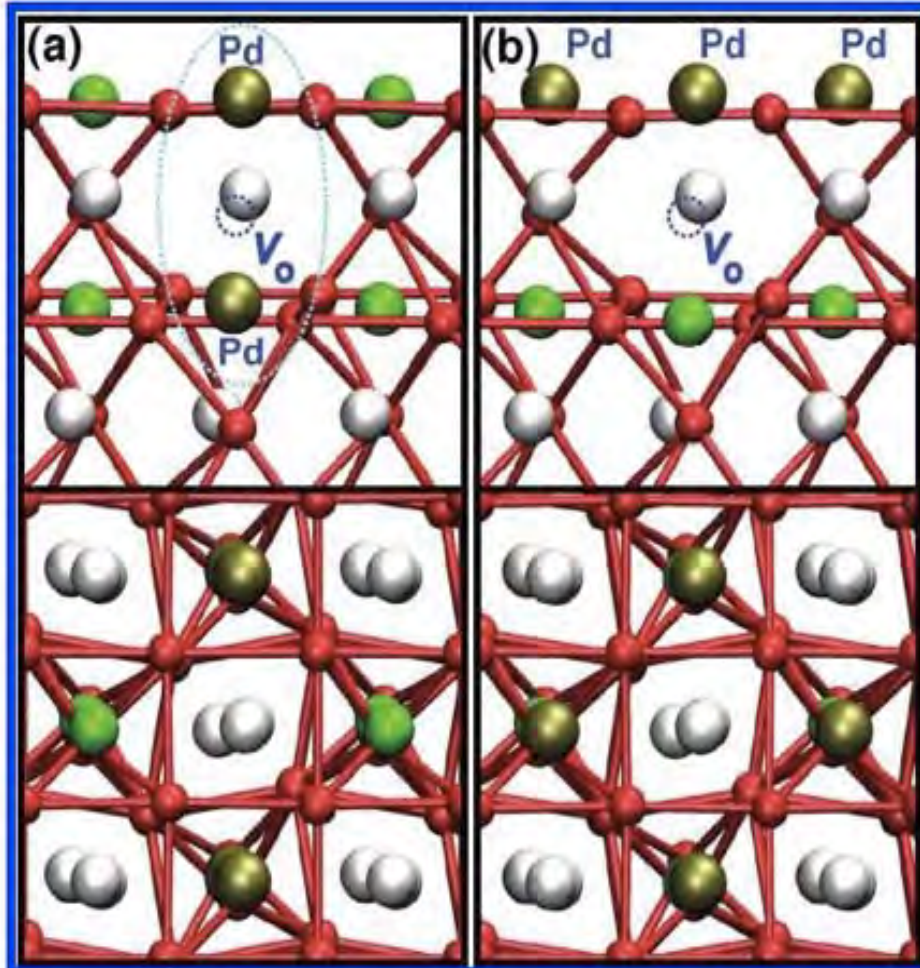
- H. Kizaki et al., Applied Physics Express, 1 (2008) 104001.
- H. Kizaki et al., Chemical Physics Letters, 579 (2013) 85.



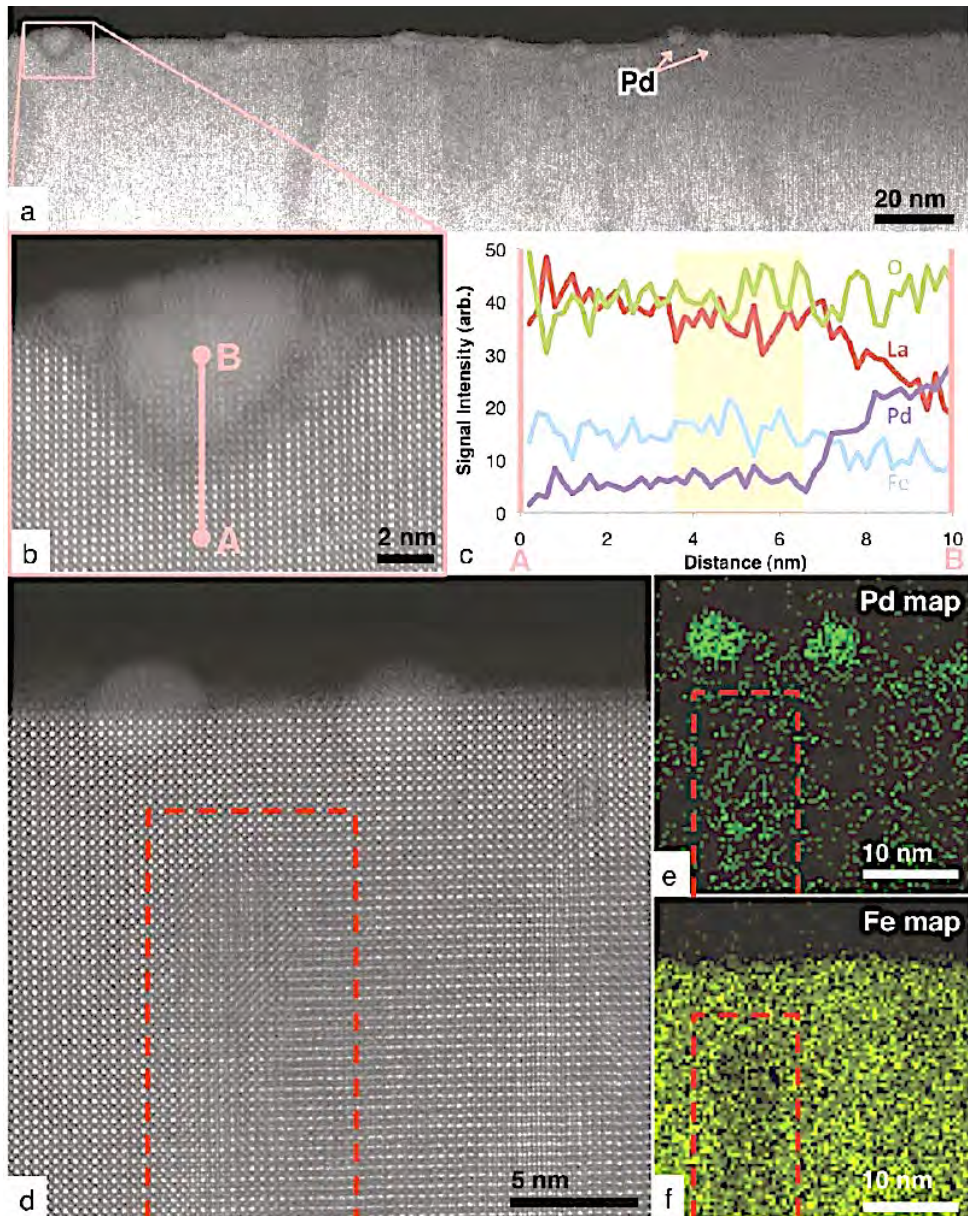
表面効果と酸素原子空孔 (V_O) の効果

A Density Functional Theory Study of Self-Regenerating Catalysts
 $\text{LaFe}_{1-x}\text{M}_x\text{O}_{3-y}$ ($\text{M} = \text{Pd}, \text{Rh}, \text{Pt}$)

Ikutaro Hamada,^{*†} Akifumi Uozumi,^{*} Yoshitada Morikawa,[§] Akira Yanase,[†] and Hiroshi Katayama-Yoshida^{||}



■高分解能 STEM/EDX 実験: 昆布相, 大理石相



J|A|C|S 133 (2011) 1809
JOURNAL OF THE AMERICAN CHEMICAL SOCIETY
pubs.acs.org

Self-Regeneration of Pd–LaFeO₃ Catalysts: New Insight from Atomic-Resolution Electron Microscopy

Michael B. Katz,[†] George W. Graham,[†] Yingwen Duan,[†] Hong Liu,[†] Carolina Adamo,[‡] Darrell G. Schlom,[‡] and Xiaoqing Pan^{*†}

[†]Department of Materials Science and Engineering, University of Michigan, Ann Arbor, Michigan 48109, United States

[‡]Department of Materials Science and Engineering, Cornell University, Ithaca, New York 14853, United States

■大理石相
(Pd-rich, Fe-poor)

■昆布相
(Pd-rich, Fe-poor)